

**BUPROPİON HİDROKLORÜR'ÜN  
ÇEŞİTLİ ANALİTİK YÖNTEMLERLE  
BİYOLOJİK SİVİLARDА ve  
FARMASÖTİK PREPARATLARDА  
TAYİNİ**

**Duygu Yeniceli**

**Doktora Tezi**



**BUPROPİON HİDROKLORÜR'ÜN ÇEŞİTLİ  
ANALİTİK YÖNTEMLERLE BİYOLOJİK  
SİVİLARDА ve FARMASÖTİK  
PREPARATLARDА TAYİNİ**

**Duygu Yeniceli**

Doktora Tezi

ANADOLU ÜNİVERSİTESİ

Sağlık Bilimleri Enstitüsü

Analitik Kimya Anabilim Dalı

Eskişehir, Ocak 2009

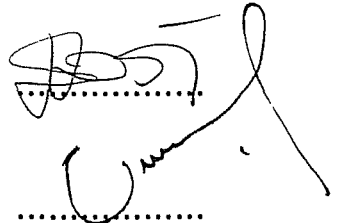
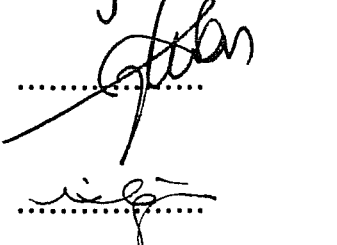
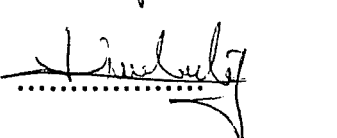
**Tez Danışmanı :** Prof. Dr. Dilek DOĞRUKOL-AK

Bu tez çalışması, Anadolu Üniversitesi Bilimsel Araştırma Projeleri Komisyonu tarafından desteklenmiştir (Proje No. 060324).



## Jüri ve Enstitü Onayı

Duygu YENİCELİ'nin "Bupropion Hidroklorür'ün Çeşitli Analitik Yöntemlerle Biyolojik Sivilarda ve Farmasötik Preparatlarda Tayini" başlıklı, Analitik Kimya Anabilim Dalı'ndaki Doktora tezi, 19.01.2009 tarihinde, aşağıdaki jüri tarafından Anadolu Üniversitesi Lisansüstü Eğitim-Öğretim ve Sınav Yönetmeliğinin ilgili maddeleri uyarınca değerlendirilerek kabul edilmiştir.

	Adı-Soyadı	İmza
Üye (Tez Danışmanı)	Prof. Dr. Dilek DOĞRUKOL-AK Anadolu Üniversitesi	
Üye	Prof. Dr. Muzaffer TUNÇEL Anadolu Üniversitesi	
Üye	Prof. Dr. Sibel A. ÖZKAN Ankara Üniversitesi	
Üye	Prof. Dr. Nilgün GÖĞER Gazi Üniversitesi	
Üye	Prof. Dr. Nursabah BAŞCI Hacettepe Üniversitesi	

Anadolu Üniversitesi Sağlık Bilimleri Enstitüsü Yönetim Kurulu'nun  
..... tarih ve ..... sayılı kararıyla onaylanmıştır.

Sağlık Bilimleri Enstitüsü Müdürü



## **ÖZGEÇMİŞ**

### **Bireysel Bilgiler**

Adı ve soyadı	: Duygu Yeniceli
Doğum tarihi ve yeri	: 1980, Kütahya
Uyruğu	: T.C.
Medeni durumu	: Bekâr
İletişim adresleri	: Anadolu Üniversitesi. Eczacılık Fakültesi. Analitik Kimya Anabilim Dalı. 26470 Tepebaşı/Eskişehir 0 222 3350580 # 3765 0 222 3350750 <a href="mailto:dyeniceli@anadolu.edu.tr">dyeniceli@anadolu.edu.tr</a>

### **Eğitim Durumu**

İlkokul	: Melahat Ünüğür İlkokulu Eskişehir, 1991
Ortaokul	: Kılıçoğlu Anadolu Lisesi Eskişehir, 1995
Lise	: Süleyman Çakır Lisesi Eskişehir, 1998
Lisans	: Hacettepe Üniversitesi Eczacılık Fakültesi Ankara, 2002
Yüksek Lisans	: Anadolu Üniversitesi Sağlık Bilimleri Enstitüsü Eskişehir, 2004
Yabancı dil	: İngilizce

### **Yayınlar**

#### **Uluslararası hakemli dergilerde yayımlanan makaleler**

- Yeniceli, D., Doğrukol-Ak, D., Tunçel, M., A Validated HPLC Method with Fluorescence Detection for the Determination of Droperidol in Pharmaceutical Tablet, Human Serum and Breast Milk, *Chromatographia*, 66, 37-43 (2007).
- Şener, E., Korkmaz, O.T., Yeniceli, D., Doğrukol-Ak, D., Tunçel, M., Tunçel, N., Determination of Carbamazepine and Its Main Metabolite Carbamazepine 10,11-Epoxide in Rat Brain Microdialysate and Blood Using ESI-LC-MS (Ion Trap), *Chromatographia*, 66, 31-36 (2007).

Tunçel, M., Dogrukol-Ak D., Yeniceli, D., Uslu, B., Doğan, B., CE Determination of Droperidol in Tablets and Human Serum, Chromatographia 63, 507-511 (2006).

Yeniceli, D., Dogrukol-Ak, D., Tunçel, M., Determination of Leflunomide in Tablets by High Performance Liquid Chromatography, J. Pharm. Biomed. Anal., 40, 197-201 (2006).

Yeniceli, D., Dogrukol-Ak, D., Tunçel, M., Determination of Leflunomide in Pharmaceutical Tablets by Flow-injection Analysis, J. Liq. Chromatogr. R. T., 28 (11), 1693-1701 (2005).

Yeniceli, D., Dogrukol-Ak, D., Tunçel, M., Determination of Lansoprazole in Pharmaceutical Capsules by Flow-injection Analysis Using UV-Detection, J. Pharm. Biomed. Anal., 36, 145-148 (2004).

#### **Uluslararası bilimsel toplantılarda sunulan ve bildiri kitaplarında basılan bildiriler**

Yeniceli, D., Dogrukol-Ak, D., Tunçel, M., A Validated Stability Indicating High-Performance Thin-Layer Chromatographic Method for the Determination of Bupropion Hydrochloride in Pharmaceutical Dosage Form, 19th International Symposium on Pharmaceutical and Biomedical Analysis, Sözlü Bildiri, Gdansk, Polonya, 2008.

Yeniceli, D., Dogrukol-Ak, D., Tunçel, M., A HPTLC Method for the Determination of Bupropion in Human Serum, 32<sup>nd</sup> International Symposium on Capillary Chromatography, Poster Bildiri, Riva Del Garda, İtalya, 2008.

Yeniceli, D., Dogrukol-Ak, D., Tunçel, M., A Validated HPLC Method with Fluorescence Detection for the Determination of Droperidol in Pharmaceuticals, Human Serum and Breast Milk, Dalian International Symposia and Exhibition on Chromatography Including 30th ISCC, 4th GCxGC, 16th NISEC, Poster Bildiri, Dalian, Çin, 2007.

Şener, E., Korkmaz, O.T., Yeniceli, D., Doğrukol-Ak, D., Tunçel, M., Tunçel, N., Determination of Carbamazepine and Its Main Metabolite Carbamazepine 10,11-Epoxide in Rat Brain Microdialysate and Blood Using ESI-LC-MS (Ion Trap), Pharmaceutical Science World Congress 3. PSWC, Poster Bildiri, Amsterdam, Hollanda, 2007.

Tunçel, M., Dogrukol-Ak D., Yeniceli, D., Uslu, B., Doğan, B., CE Determination of Droperidol in Tablets and Human Serum, 29<sup>th</sup> International Symposium on Capillary Chromatography, Poster Bildiri, Riva Del Garda, İtalya, 2006.

Yeniceli, D., Dogrukol-Ak, D., Tunçel, M., Determination of Leflunomide in Pharmaceutical Tablets by Flow-injection Analysis, ISOPS 8, Poster Bildiri, Ankara, Türkiye, 2006.

Yeniceli, D., Dogrukol-Ak, D., Tunçel, M., Determination of Lansoprazole in Pharmaceutical Capsules by Flow-injection Analysis Using UV-Detection, ISOPS 7, Poster Bildiri, Ankara, Türkiye, 2003.

## **Ulusal bilimsel toplantınlarda sunulan ve bildiri kitaplarında basılan bildiriler**

Yeniceli, D., Dogrukol-Ak, D., Tunçel, M., Bupropion'un UV-Spektrofotometri ve İkinci Türev Spektrofotometri Yöntemleri ile Tabletlerinde Miktar Tayini, XXI. Ulusal Kimya Kongresi, Poster Bildiri, Malatya, Türkiye, 2007.

Yardım, Y., Yeniceli, D., Tuncel, M., Şentürk, Z., Antihipertansif İlaçlardan Asebutol'ün Polarografik Yöntemle Miktar Tayini, II. Ulusal Analitik Kimya Kongresi, Poster Bildiri, Malatya, Türkiye, 2004.

## **Bilimsel Etkinlikler**

### **Burslar**

Tübitak Yurt İçi Doktora Bursu, 2005.

### **Ödüller**

En iyi poster bildiri ödülü, Dalian International Symposia and Exhibition on Chromatography Including 30th ISCC, 4th GCxGC, 16th NISEC, Dalian, Çin, 2007.

Mezuniyet Derecesi İkincilik Ödülü, Hacettepe Üniversitesi, 2002.

Mezuniyet Derecesi İkincilik Ödülü, Ankara Eczacılar Odası, 2002.

Mezuniyet Derecesi İkincilik Ödülü, Türk Eczacılar Birliği, 2002.

### **Sözlü konferans veya seminerler**

Yeniceli, D., Doğrukol-Ak, D., Tunçel, M., Determination of leflunomide in pharmaceutical tablets by flow-injection analysis, İTAB Kanser Araştırmaları Çalışayı, Eskişehir, Türkiye, 08/11/2005.

### **Organizasyonunda bulunulan toplantılar**

Yüksek Basınçlı Sıvı Kromatografisi ve Kapiller Elektroforez Uygulamaları, Eskişehir, Türkiye, 4-8 Aralık 2006.

### **Katılman kurslar ve eğitim programları**

Deneysel Araştırma Kursu, Erciyes Üniversitesi Tıp Fakültesi Hakan Çetinsaya Deneysel ve Klinik Araştırma Merkezi (DEKAM), Kayseri, Türkiye, 25-26 Kasım 2006.

Elektrokimyasal DNA biosensörleri çalışayı, Anadolu Üniversitesi Fen Fakültesi, Eskişehir, Türkiye, 31 Ocak-1 Şubat 2005.

## ÖNSÖZ

Bu çalışmada, Bupropion Hidroklorür'ün tabletlerinde ve plazmadaki tayini için çeşitli analitik yöntemler geliştirilmiştir.

Yapılmış olan tez çalışması, klasik analiz yöntemlerinin ve modern yöntemlerin bir arada kullanıldığı, geliştirilen yöntemler ve numune hazırlama basamakları yönünden önceki çalışmalarдан farklılık gösteren bir çalışmadır ve bu bakımdan uluslararası literatüre katkı sağlayacağı düşünülmektedir.

Öncelikle, almış olduğum doktora bursu nedeniyle, Türkiye Bilimsel ve Teknolojik Araştırma Kurumu'na (TÜBİTAK) teşekkürlerimi sunarım.

Bilgi ve deneyimlerinin yanı sıra, bana duyduğu güven, çalışmalarımın her aşamasında verdiği cesaret, hoşgörüsü, anlayışı ve güler yüzü ile akademik hayatımın her anından ayrı bir tat almamı sağlayan değerli danışman hocam Prof. Dr. Dilek DOĞRUKOL-AK'a üzerimdeki emekleri için teşekkürlerimi sunarım.

Her zaman yanımda olduğunu hissettiğim, öngörüsüyle tez çalışmamı zamanında bitirebilmeme olanak sağlayan ve bu süre içinde bilgi ve tecrübesiyle beni sürekli destekleyen değerli hocam Prof. Dr. Muzaffer TUNÇEL'e teşekkürlerimi sunarım.

Desteklerinden ötürü dekanımız sayın Prof. Dr. Neşe KIRIMER'e ve dekan yardımcılarımız sayın Doç. Dr. Bülent ERGUN ve sayın Doç. Dr. Göksel ARLI ALTIOOKKA'ya teşekkürlerimi sunarım.

Verdikleri bilgiler ile tezimin çerçevesini çizmemeye yardımcı olan ve sağlamış oldukları Zyban® tabletten ötürü Sağlık Bilimleri Enstitüsü Müdürü sayın Prof. Dr. Yasemin YAZAN'a teşekkürlerimi sunarım.

Tez çalışmam kapsamında, Anadolu Üniversitesi Fen Fakültesi Kimya Bölümü bünyesinde bulunan İTK cihazını kullanmama olanak sağlayan, Bölüm Başkan Yardımcıları Yard. Doç. Dr. Deniz HÜR ve Doç. Dr. Hakan DAL'a ve Anadolu Üniversitesi Bitki İlaç ve Bilimsel Araştırmalar Merkezi (AÜBİBAM) bünyesinde bulunan liyofilizasyon cihazını kullanmama olanak sağlayan AÜBİBAM Müdür Yardımcısı Doç. Dr. Lütfi GENÇ'e teşekkürlerimi sunarım.

Verdikleri destek ve güler yüzleri ile sorunlara göğüs germemi sağlayan sevgili arkadaşım Araş. Gör. Ruhan KARADAĞ ve Araş. Gör. Çiğdem ÇARDAK'a; fen fakültesinde yaptığım deneyler sırasında bana çok yardımcı olan, tezimin bana kazandırdığı arkadaşım Araş. Gör. Emel ERMİŞ ve Araş. Gör. Yasemin SÜZEN'e ve tezime önemli katkısı olan Öğretim Görevlisi Ahmet SARACOĞLU'na teşekkürlerimi sunarım.

Analitik Kimya Anabilim Dalı'ndaki değerli hocalarına ve cihazlarla ilgili her sorunumda imdadıma yetişen ve YPSK deneylerine önemli katkısı olan Araş. Gör. Dr. Erol ŞENER'e ve diğer çalışma arkadaşlarına teşekkürlerimi sunarım.

Şu anda yanında olmamasına karşın, varlığını her zaman hissettiğim sevgili babam Hasan YENİCELİ'ye, üzerimdeki emeklerini anlatmak için kelimelerin yetersiz olduğunu bildiğim sevgili annem Nesrin YENİCELİ'ye, dualarını benden eksik etmeyen anneannem Nedime KARACALAR'a, desteklerini her an hissettiren sevgili aileme ve bugünlere gelmemi sağlayan, ögrenim hayatım boyunca bana emeği geçen tüm hocalarıma sonsuz teşekkürlerimi sunarım.

## **BUPROPİON HİDROKLORÜR'ÜN ÇEŞİTLİ ANALİTİK YÖNTEMLERLE BİYOLOJİK SİVİLARDА VE FARMASÖTİK PREPARATLARDА TAYİNİ**

### **ÖZET**

Bu çalışmada Bupropion Hidroklorür'ün (BUP) farmasötik tabletlerindeki tayini için geliştirilmiş olan potansiyometri, kondüktometri, UV ve II. türev spektrofotometri yöntemleri ve farmasötik tabletlerindeki tayine ilaveten BUP'un plazmadaki analizi için geliştirilmiş olan İTK ve YPSK yöntemleri tanıtılmaktadır. Spektrofotometrik yöntemler, valide edilmiş ve UV-spektrofotometri yöntemi için saptama sınırı (LOD) ve tayin alt sınırı (LOQ) değerleri  $2.73 \times 10^{-6}$  M ve  $8.26 \times 10^{-6}$  M olarak bulunmuştur. II. türev spektrofotometri yöntemi için ise bu değerler sırasıyla  $8.20 \times 10^{-7}$  M ve  $2.48 \times 10^{-6}$  M olarak hesaplanmıştır. Daha sonra, etkin maddenin asit, baz, hidrojen peroksit, kuru ve nemli ısı, fotokimyasal ve UV ışık ortamında kararlılığının araştırıldığı İTK yöntemi geliştirilmiş ve tam olarak validasyonu sağlanmıştır. Etanol-kloroform-glasiyel asetik asit (30:10:1, h/h/h) den oluşan hareketli fazın kullanıldığı yöntemin, LOD ve LOQ değerleri sırasıyla  $10.41 \text{ ng.spot}^{-1}$  ve  $34.71 \text{ ng.spot}^{-1}$  olarak hesaplanmıştır.

Geliştirilmiş olan İTK yöntemi, BUP'un plazmadaki tayinine de uygulanmış ve ortalama olarak, % 87 dolayında, oldukça yüksek bir geri kazanım ve düşük bağıl standart sapma değerleri ile yüksek düzeyde kesinlik elde edilmiştir.

Daha sonra, BUP'un farmasötik tabletlerinde ve ana metaboliti olan HBUP'la birlikte plazmada tayini için bir YPSK yöntemi geliştirilmiştir. Yöntem, İTK yönteminde olduğu gibi tam olarak valide edilmiş ve BUP'un plazmadaki LOD ve LOQ değerleri sırasıyla,  $9.09 \times 10^{-8}$  M ve  $2.76 \times 10^{-7}$  M olarak hesaplanmıştır. HBUP'un LOD ve LOQ değerleri ise,  $4.68 \times 10^{-7}$  M ve  $1.42 \times 10^{-6}$  M olarak bulunmuştur.

Sonuç olarak, bu çalışmada BUP'un farmasötik tabletlerindeki tayini için potansiyometri, kondüktometri, UV ve II. türev spektrofotometri yöntemleri gibi basit, güvenilir, analiz maliyeti düşük, her laboratuvara kolaylıkla uygulanabilen klasik analiz yöntemleri ve farmasötik tabletlerindeki tayine ilaveten BUP'un plazmadaki tayini için kesinliği, güvenilirliği ve seçiciliğinin yanı sıra duyarlı İTK ve YPSK yöntemleri geliştirilmiştir. Yöntemler, validasyonu sağlandıktan sonra BUP'un farmasötik tabletlerine başarıyla uygulanmış ve tablet içerikleri farmakopeye uygun bulunmuştur.

İTK ve YPSK yöntemleri ile plazma analizlerinde de düşük bağıl standart sapma değerleri ile yüksek geri kazanım elde edilmiştir.

**Anahtar Kelimeler:** bupropion hidroklorür, spektrofotometri, İTK, YPSK, tablet analizi, plazma analizi

# THE DETERMINATION OF BUPROPION HYDROCHLORIDE IN PHARMACEUTICAL DOSAGE FORMS AND BIOLOGICAL FLUIDS BY ANALYTICAL METHODS

## ABSTRACT

Potentiometric, conductometric, UV-spectrophotometric and second derivative spectrophotometric methods which are developed for the determination of Bupropion Hydrochloride (BUP) in pharmaceutical tablets, TLC and HPLC methods which are developed for the determination of BUP in both pharmaceuticals and human plasma were described in this study. Two spectrophotometric methods were validated and the limit of detection (LOD) and quantitation (LOQ) of UV-spectrophotometry were  $2.73 \times 10^{-6}$  M and  $8.26 \times 10^{-6}$  M. Also, these parameters were determined as  $8.20 \times 10^{-7}$  M and  $2.48 \times 10^{-6}$  M for the second derivative spectrophotometry, respectively. Then, a stability indicating TLC method is developed for the determination of BUP in pharmaceutical tablets in which BUP was subjected to acidic and alkali hydrolysis, oxidation, photodegradation, dry heat and wet heat treatment and the method was fully validated. The mobile phase consisted of ethanol-chloroform-glacial acetic acid (30:10:1, v/v/v) was used and the LOD and LOQ values of the method were found as  $10.41 \text{ ng.spot}^{-1}$  and  $34.71 \text{ ng.spot}^{-1}$ , respectively.

Then, developed TLC method was applied to human plasma samples for the determination of BUP and high recovery almost about 87 % and high precision with low % RSD values were obtained.

After all, a HPLC method was developed for the determination of BUP in pharmaceuticals and in human plasma for the determination of BUP and HBUP, the major metabolite of BUP. The method was fully validated as shown in TLC method and the LOD and LOQ values of HPLC method were  $9.09 \times 10^{-8}$  M and  $2.76 \times 10^{-7}$  M for BUP and also, these parameters were determined as  $4.68 \times 10^{-7}$  M and  $1.42 \times 10^{-6}$  M respectively, for HBUP.

As a result, the developed potentiometric, conductometric and spectrophotometric methods were found to be simple, fast, reliable and cost efficient. These methods were classical methods which can be used in all laboratories. The TLC and HPLC methods were both selective and sensitive. Developed methods were fully validated and the applicability of the methods for the determination of BUP in pharmaceuticals was demonstrated and the drug content was found to be in the limits of USP 29 suggestions. Also the applicability of the TLC and HPLC methods in human plasma were demonstrated and high recoveries were obtained with the low % RSD values.

**Key Words:** bupropion hydrochloride, spectrophotometry, TLC, HPLC, tablet analysis, plasma analysis

## **İÇİNDEKİLER**

	SAYFA
<b>ÖZGEÇMİŞ</b>	i
<b>ÖNSÖZ</b>	iv
<b>ÖZET</b>	vi
<b>ABSTRACT</b>	vii
<b>İÇİNDEKİLER</b>	viii
<b>ÇİZELGELER DİZİNİ</b>	xiii
<b>ŞEKİLLER DİZİNİ</b>	xv
<b>SİMGİ ve KISALTMALAR DİZİNİ</b>	xix
<b>GİRİŞ ve AMAÇ</b>	1
<b>KAYNAK BİLGİSİ</b>	2
Bupropion Hidroklorür	2
<i>Fizikokimyasal Özellikleri</i>	2
<i>Farmakolojik Özellikleri</i>	3
<i>Antidepresan Etki</i>	3
<i>Sigara Biraktırma Etkisi</i>	3
<i>Farmakokinetik Özellikleri</i>	4
BUP Analizi Çalışmaları	4
<i>Plazma Numunesi Hazırlamak için Kullanılan Yöntemler</i>	8
<i>Liyofilizasyon (Dondurarak Kurutma)</i>	8
<i>Plazma Proteinlerini Çöktürme İşlemi</i>	9
<i>Prensip</i>	9
<i>Çöktürücü Ajan Olarak Kullanılan Asitler</i>	9
<i>Çöktürücü Ajan Olarak Kullanılan Organik Çözüçüler</i>	9
<i>Çöktürücü Ajanların Kullanılan Miktarları</i>	10
<i>Diğer Protein Çöktürücü Ajanlar</i>	10
<i>Protein Çöktürme Yönteminin Yararları</i>	11
<i>Protein Çöktürme Yönteminin Sakıncaları</i>	11
GERECLER	12
<i>Kimyasal Maddeler</i>	12
<i>Cihazlar ve Diğer Gereçler</i>	13

<b>YÖNTEMLER</b>	14
<b>BUP'un Potansiyometrik ve Kondüktometrik Titrasyon Yöntemleri ile Farmasötik Tabletlerinde Miktar Tayini</b>	14
<b>Tablet Numune Çözeltilerinin Hazırlanması</b>	14
<b>Kondüktometrik Titrasyon ile İlgili Deneysel Koşullar</b>	14
<b>Potansiyometrik Titrasyon ile İlgili Deneysel Koşullar</b>	14
<b>BUP'un UV-Spektrofotometri ve İkinci Türev Spektrofotometri Yöntemleri ile Farmasötik Tabletlerinde Miktar Tayini</b>	15
<b>Deneysel Koşulların Hazırlanması</b>	15
<b>Spektrofotometrik Yöntemlerin Validasyonu</b>	15
<i>Kesinlik (Precision)</i>	15
<i>Doğrusallık (Linearity)</i>	15
<i>Saptama Sınırı ve Tayin Alt Sınırı (LOD and LOQ)</i>	15
<i>Doğruluk (Accuracy)</i>	15
<b>Tablet Numune Çözeltilerinin Hazırlanması</b>	16
<b>BUP'un İTK Yöntemi ile Farmasötik Tabletlerinde Miktar Tayini</b>	17
<b>İTK Yöntemi ile İlgili Deneysel Koşullar</b>	17
<b>İTK Yönteminin Validasyonu</b>	17
<i>Kesinlik (Precision)</i>	17
<i>Doğrusallık (Linearity)</i>	17
<i>Saptama Sınırı ve Tayin Alt Sınırı (LOD and LOQ)</i>	17
<i>Doğruluk (Accuracy)</i>	17
<i>Özgünlük (Specificity)</i>	18
<i>Sağlamlık (Robustness)</i>	18
<i>Tutarlılık (Ruggedness)</i>	18
<b>BUP için Hızlandırılmış Kararlılık Testi</b>	18
<i>Asit ve Baz Etkisi</i>	18
<i>Hidrojen Peroksit Etkisi</i>	18
<i>Kuru ve Nemli Isı Etkisi</i>	19
<i>Fotokimyasal ve UV Işık Etkisi</i>	19
<b>BUP Farmasötik Dozaj Şeklinin Kararlılığının Araştırılması</b>	19
<b>İlgili Safsızlıkların Saptanması</b>	19
<b>Tablet Numune Çözeltilerinin Hazırlanması</b>	19
<b>BUP'un İTK Yöntemi ile Plazmada Miktar Tayini</b>	20

<i>Deneysel Koşullar</i>	20
<i>Örnek Hazırlama</i>	20
<i>İTK Yönteminin Plazmadaki Validasyonu</i>	20
<i>Doğrusallık (Linearity)</i>	20
<i>Kesinlik ve Geri Kazanım Oranı (Precision and Recovery)</i>	20
<i>Saptama Sınırı ve Tayin Alt Sınırı (LOD and LOQ)</i>	21
<b>BUP'un YPSK Yöntemi ile Farmasötik Tabletlerinde Miktar Tayini</b>	21
<b><i>YPSK Yöntemi ile İlgili Deneysel Koşullar</i></b>	21
<b><i>YPSK Yönteminin Validasyonu</i></b>	21
<i>Kesinlik (Precision)</i>	21
<i>Doğrusallık (Linearity)</i>	21
<i>Saptama Sınırı ve Tayin Alt Sınırı (LOD and LOQ)</i>	22
<i>Doğruluk (Accuracy)</i>	22
<i>Özgünlük (Specificity)</i>	22
<i>Sağlamlık (Robustness)</i>	22
<i>Tutarlılık (Ruggedness)</i>	22
<b><i>Tablet Numune Çözeltilerinin Hazırlanması</i></b>	22
<b>BUP ve HBUP'un YPSK Yöntemi ile Plazmada Miktar Tayini</b>	22
<b><i>Deneysel Koşullar</i></b>	22
<b><i>Örnek Hazırlama</i></b>	23
<b><i>YPSK Yönteminin Plazmadaki Validasyonu</i></b>	23
<i>Doğrusallık (Linearity)</i>	23
<i>Kesinlik ve Geri Kazanım Oranı (Precision and Recovery)</i>	23
<i>Saptama Sınırı ve Tayin Alt Sınırı (LOD and LOQ)</i>	23
<b>BULGULAR ve TARTIŞMA</b>	25
<b>BUP'un Potansiyometrik ve Kondüktometrik Titrasyon Yöntemleri ile Farmasötik Tabletlerinde Miktar Tayini</b>	25
<b><i>Kondüktometrik Titrasyon Yönteminin Farmasötik Tabletlerdeki Uygulaması</i></b>	25
<b><i>Potansiyometrik Titrasyon Yönteminin Farmasötik Tabletlerdeki Uygulaması</i></b>	26
<b>BUP'un UV-Spektrofotometri ve İkinci Türev Spektrofotometri Yöntemleri ile Farmasötik Tabletlerinde Miktar Tayini</b>	27
<b><i>Spektroskopik Yöntemlerin Optimizasyonu</i></b>	27

<i>Spektroskopik Yöntemlerin Validasyonu</i>	29
<i>Kesinlik (Precision)</i>	29
<i>Doğrusallık (Linearity)</i>	29
<i>Saptama Sınırı ve Tayin Alt Sınırı (LOD and LOQ)</i>	30
<i>Doğruluk (Accuracy)</i>	30
<i>Spektroskopik Yöntemlerin Farmasötik Tabletlerdeki Uygulaması</i>	31
<b>BUP'un İTK Yöntemi ile Farmasötik Tabletlerinde Miktar Tayini</b>	32
<i>İTK Yönteminin Optimizasyonu</i>	32
<i>İTK Yönteminin Validasyonu</i>	34
<i>Kesinlik (Precision)</i>	34
<i>Doğrusallık (Linearity)</i>	35
<i>Saptama Sınırı ve Tayin Alt Sınırı (LOD and LOQ)</i>	36
<i>Doğruluk (Accuracy)</i>	36
<i>Özgünlük (Specificity)</i>	37
<i>Sağlamlık (Robustness)</i>	38
<i>Tutarlılık (Ruggedness)</i>	38
<i>BUP için Hızlandırılmış Kararlılık Testi</i>	38
<i>Asit ve Baz Etkisi</i>	38
<i>Hidrojen Peroksit Etkisi</i>	42
<i>Kuru ve Nemli Isı Etkisi</i>	43
<i>Fotokimyasal ve UV Işık Etkisi</i>	43
<i>BUP Farmasötik Dozaj Şeklinin Kararlılığının Araştırılması</i>	44
<i>İlgili Safsızlıkların Saptanması</i>	44
<i>BUP İçeren Tabletlerde Miktar Tayini</i>	45
<b>BUP'un İTK Yöntemi ile Plazmada Miktar Tayini</b>	45
<i>İTK Yönteminin Optimizasyonu</i>	45
<i>İTK Yönteminin Plazmadaki Validasyonu</i>	46
<i>Kesinlik ve Geri Kazanım Oranı (Precision and Recovery)</i>	46
<i>Doğrusallık (Linearity)</i>	47
<i>Saptama Sınırı ve Tayin Alt Sınırı (LOD and LOQ)</i>	48
<b>BUP'un YPSK Yöntemi ile Farmasötik Tabletlerinde Miktar Tayini</b>	48
<i>YPSK Yönteminin Optimizasyonu</i>	48

<b>YPSK Yönteminin Validasyonu</b>	53
<i>Kesinlik (Precision)</i>	53
<i>Doğrusallık (Linearity)</i>	54
<i>Saptama Sınırı ve Tayin Alt Sınırı (LOD and LOQ)</i>	54
<i>Doğruluk (Accuracy)</i>	54
<i>Özgünlük (Specificity)</i>	56
<i>Sağlamlık (Robustness)</i>	57
<i>Tutarlılık (Ruggedness)</i>	57
<b>BUP İçeren Tabletlerde Miktar Tayini</b>	57
BUP ve HBUP'un YPSK Yöntemi ile Plazmada Miktar Tayini	58
<b>YPSK Yönteminin Optimizasyonu</b>	58
<b>YPSK Yönteminin Validasyonu</b>	60
<i>Kesinlik ve Geri Kazanım Oranı (Precision and Recovery)</i>	60
<i>Doğrusallık (Linearity)</i>	62
<i>Saptama Sınırı ve Tayin Alt Sınırı (LOD and LOQ)</i>	64
<b>SONUÇ ve ÖNERİLER</b>	65
<b>KAYNAKLAR</b>	68

## **ÇİZELGELER DİZİNİ**

<b>ÇİZELGE NO ve ADI</b>	<b>SAYFA</b>
<b>Çizelge 1</b> Çöktürücü Ajanların, Çöktürülen Plazma Proteini Oranında % Bağlı Etkinlikleri	10
<b>Çizelge 2</b> Tablet Matriks Çözeltisini Hazırlamak için Kullanılan Yardımcı Maddeler ve Yüzdeleri	16
<b>Çizelge 3</b> Kondüktometrik Titrasyon ile Elde Edilen Dönüm Noktaları ve BUP'un Farmasötik Tabletlerindeki Miktar Tayini Sonuçları	25
<b>Çizelge 4</b> Potansiyometrik Titrasyon ile Elde Edilen Dönüm Noktaları ve BUP'un Farmasötik Tabletlerindeki Miktar Tayini Sonuçları	27
<b>Çizelge 5</b> $2.07 \times 10^{-5}$ - $7.25 \times 10^{-5}$ M Derişim Aralığındaki BUP'un İki Farklı Spektrofotometrik Yöntemle Doğrusallık Sonuçları	30
<b>Çizelge 6</b> UV-Spektrofotometri Yöntemi ile Standart BUP ve BUP Eklenmiş Matriks için Doğruluk Sonuçları	31
<b>Çizelge 7</b> II.Türev Spektrofotometri Yöntemi ile Standart BUP ve BUP Eklenmiş Matriks için Doğruluk Sonuçları	31
<b>Çizelge 8</b> İki Farklı Spektrofotometrik Yöntemle BUP'un Farmasötik Tabletlerindeki Miktar Tayini Sonuçları	32
<b>Çizelge 9</b> BUP'un Gün İçi ve Günler Arası Tekrar Edilebilirlik Sonuçları	35
<b>Çizelge 10</b> $200\text{-}1000 \text{ ng.spot}^{-1}$ Derişim Aralığındaki BUP'un 254 nm'deki Pik Alanı Sinyallerinin Doğrusallığı	36
<b>Çizelge 11</b> İTK Yönteminin Doğruluk Sonuçları ( $n=5$ )	37
<b>Çizelge 12</b> İTK Yönteminin Sağlamlık Sonuçları ( $n=3$ , $1000 \text{ ng.spot}^{-1}$ BUP)	38
<b>Çizelge 13</b> Hızlandırılmış Kararlılık Testi Sonuçları ( $n=5$ , $1000 \text{ ng.spot}^{-1}$ BUP)	44
<b>Çizelge 14</b> İlgili Safsızlıklar ( $n=5$ )	45

<b>ÇİZELGE NO ve ADI (DEVAM)</b>	<b>SAYFA</b>
<b>Çizelge 15</b> BUP'un Plazmada Kesinliği ve Geri Kazanım Oranı (gün=3, n=5)	47
<b>Çizelge 16</b> Plazma İçerisinde $120\text{-}600 \text{ ng.spot}^{-1}$ Derişim Aralığındaki BUP'un 254 nm'deki Pik Alanı Sinyallerinin Doğrusallığı	47
<b>Çizelge 17</b> BUP'un Sistem Uygunluk Parametreleri	52
<b>Çizelge 18</b> BUP'un Gün İçi ve Günler Arası Tekrar Edilebilirlik Sonuçları	53
<b>Çizelge 19</b> $4.48\times10^{-7}\text{-}1.78\times10^{-5} \text{ M}$ Derişim Aralığındaki BUP'un 254 nm'deki Doğrusallığı	54
<b>Çizelge 20</b> YPSK Yönteminin Doğruluk Sonuçları (n=7)	55
<b>Çizelge 21</b> YPSK Yönteminin Sağlamlık Sonuçları (n=3, $5.37\times10^{-6} \text{ M}$ BUP)	57
<b>Çizelge 22</b> YPSK Yönteminin Tutarlılık Sonuçları (n=7, $5.37\times10^{-6} \text{ M}$ BUP)	57
<b>Çizelge 23</b> YPSK Yöntemi ile Tablet Analizi Sonuçları (n=9, $5.37\times10^{-6} \text{ M}$ BUP)	58
<b>Çizelge 24</b> Plazmaya Eklenmiş olan BUP'un Gün İçi ve Günler Arası Tekrar Edilebilirlik Sonuçları	60
<b>Çizelge 25</b> Plazmaya Eklenmiş olan HBUP'un Gün İçi ve Günler Arası Tekrar Edilebilirlik Sonuçları	61
<b>Çizelge 26</b> BUP'un YPSK Yöntemiyle Plazmada Kesinliği ve Geri Kazanım Oranı (gün=3, n=6)	62
<b>Çizelge 27</b> HBUP'un YPSK Yöntemiyle Plazmada Kesinliği ve Geri Kazanım Oranı (gün=3, n=6)	62
<b>Çizelge 28</b> $4.48\times10^{-7}\text{-}1.79\times10^{-5} \text{ M}$ Derişim Aralığında Standart BUP'un 254 nm'deki Doğrusallığı	63
<b>Çizelge 29</b> $1.02\times10^{-6}\text{-}6.09\times10^{-5} \text{ M}$ Derişim Aralığında Standart HBUP'un 214 nm'deki Doğrusallığı	63
<b>Çizelge 30</b> $8.97\times10^{-7}\text{-}1.79\times10^{-5} \text{ M}$ Derişim Aralığında Plazmaya Eklenmiş Olan BUP'un 254 nm'deki Doğrusallığı	64
<b>Çizelge 31</b> $2.03\times10^{-6}\text{-}5.49\times10^{-5} \text{ M}$ Derişim Aralığında Plazmaya Eklenmiş Olan HBUP'un 214 nm'deki Doğrusallığı	64

## ŞEKİLLER DİZİNİ

ŞEKİL NO ve ADI	SAYFA
<b>Şekil 1</b> BUP'un Açık Kimyasal Formülü	2
<b>Şekil 2</b> BUP'un FT-IR Spektrumu	2
<b>Şekil 3</b> BUP Tablet Numunesinin (150 mg) 0.1000 N NaOH ile Kondüktometrik Titrasyon Grafiği	25
<b>Şekil 4</b> BUP Tablet Numunesinin (150 mg) 0.1000 N NaOH ile Potansiyometrik Titrasyon Eğrisi	26
<b>Şekil 5</b> BUP Tablet Numunesinin (150 mg) 0.1000 N NaOH ile Potansiyometrik Titrasyonunda I. Türev Eğrisi	26
<b>Şekil 6</b> BUP Tablet Numunesinin (150 mg) 0.1000 N NaOH ile Potansiyometrik Titrasyonunda II. Türev Eğrisi	27
<b>Şekil 7</b> % 2 Metanol İçerisindeki Standart BUP ( $5 \times 10^{-5}$ M) Çözeltisinin 200-350 nm Aralığındaki UV-Spektrumu	28
<b>Şekil 8</b> % 2 Metanol İçerisindeki Standart BUP ( $5 \times 10^{-5}$ M) Çözeltisinin 200-350 nm Aralığındaki I. Türev Spektrumu	28
<b>Şekil 9</b> % 2 Metanol İçerisindeki Standart BUP ( $5 \times 10^{-5}$ M) Çözeltisinin 200-400 nm Aralığındaki II. Türev Spektrumu	29
<b>Şekil 10</b> Optimum Koşullarda Standart BUP'un ( $500 \text{ ng.spot}^{-1}$ ) İTK Kromatogramı (pik 1: BUP)	33
<b>Şekil 11</b> USP 29'da Belirtilen Koşullarda ve Toluen, Siklohekzan ve Glasiyel Asetik Asit (47:47:6, h:h:h) İçeren Hareketli Faz Kullanılarak, 254 nm'de Standart BUP'un ( $500 \text{ ng.spot}^{-1}$ ) İTK Kromatogramı (Pik 1: BUP)	34
<b>Şekil 12</b> Standart BUP Çözeltisi ve Tablet Numunesinin Spektrum Karşılaştırması	37
<b>Şekil 13a</b> Asit (1N HCl, 70°C Sıcaklıkta 30 Dakika) ile Muamele Edilmiş Nötral BUP Numunesi ( $1000 \text{ ng.spot}^{-1}$ ) Kromatogramı (Pik 1: BUP)	39

ŞEKİL NO ve ADI (DEVAM)	SAYFA
<b>Şekil 13b</b> Asit (1N HCl, 70°C Sıcaklıkta 30 Dakika) ile Muamele Edilmiş Nötral Olmayan BUP Numunesi (1000 ng.spot <sup>-1</sup> ) Kromatogramı (Pik 1: Bozunma Ürünü, Pik 2: BUP)	39
<b>Şekil 13c</b> Asit Muamelesine Tabi Tutulmamış Standart BUP Çözeltisinin Spektrumu ile Nötral ve Nötral Olmayan Numunelerin Spektrumlarının Karşılaştırması (1000 ng.spot <sup>-1</sup> ) a: Standart BUP, b: Nötral Numune, c: Nötral Olmayan Numune	40
<b>Şekil 14a</b> Baz (1N NaOH, 70°C Sıcaklıkta 30 Dakika) ile Muamele Edilmiş Nötral BUP Numunesi (1000 ng.spot <sup>-1</sup> ) Kromatogramı (Pik 1: Bozunma Ürünü, Pik 2: BUP)	41
<b>Şekil 14b</b> Baz (1N NaOH, 70°C Sıcaklıkta 30 Dakika) ile Muamele Edilmiş Nötral Olmayan BUP Numunesi (1000 ng.spot <sup>-1</sup> ) Kromatogramı (Pik 1: Bozunma Ürünü, Pik 2: BUP)	41
<b>Şekil 14c</b> Baz Muamelesine Tabi Tutulmamış Standart BUP Çözeltisinin Spektrumu ile Nötral ve Nötral Olmayan Numunelerin Spektrumlarının Karşılaştırması (1000 ng.spot <sup>-1</sup> ) a: Standart BUP, b: Nötral Numune, c: Nötral Olmayan Numune	42
<b>Şekil 15</b> Hidrojen Peroksit (% 30 h/h; 80°C Sıcaklıkta 1 saat 15 Dakika) ile Muamele Edilmiş BUP Numunesi (1000 ng.spot <sup>-1</sup> ) Kromatogramı (Pik 1 ve 2: Bozunma Ürünü, Pik 3: BUP)	42
<b>Şekil 16</b> UV Işığı (UV Lamba Altında 8 Saat) ile Muamele Edilmiş BUP Numunesi (1000 ng.spot <sup>-1</sup> ) Kromatogramı (Pik 1: Bozunma Ürünü, Pik 2: BUP)	43
<b>Şekil 17</b> BUP ve Safsızlıkların Kromatogramı (Pik 1 ve 2: Safsızlık, Pik 3: BUP)	44
<b>Şekil 18a</b> BUP Eklenmemiş Plazma Örneğinin İTK Kromatogramı	46

ŞEKİL NO ve ADI (DEVAM)	SAYFA
<b>Şekil 18b</b> 240 ng.spot <sup>-1</sup> Derişimde BUP Eklenmiş Plazma Örneğinin İTK Kromatogramı (pik 1: BUP)	46
<b>Şekil 19</b> Alikonma Zamanı (RT) ve Teorik Tabaka Sayısının (N) pH'a Göre Değişim Grafiği (Koşullar: Metanol-Asetonitril-Fosfat Tamponu (20 mM) (40:10:50, h/h/h) ve 10 mM 1-HSA)	49
<b>Şekil 20</b> Alikonma Zamanı (RT) ve Teorik Tabaka Sayısının (N) Çözücü Yüzdesine Göre Değişim Grafiği (Koşullar: Fosfat Tamponu (20 mM, % 50, pH:3) ve 10 mM 1-HSA)	50
<b>Şekil 21</b> Alikonma Zamanı (RT) ve Teorik Tabaka Sayısının (N) 1-HSA Derişimine (mM) Göre Değişim Grafiği (Koşullar: Metanol-Asetonitril-Fosfat Tamponu (20 mM, pH:3) (40:10:50, h/h/h))	50
<b>Şekil 22</b> Alikonma Zamanı (RT) ve Teorik Tabaka Sayısının (N) Fosfat Derişimine (mM) Göre Değişim Grafiği (Koşullar: Metanol-Asetonitril-Fosfat Tamponu (pH:3) (40:10:50, h/h/h) ve 10 mM 1-HSA)	51
<b>Şekil 23</b> Alikonma Zamanı (RT) ve Teorik Tabaka Sayısının (N) Akış Hızına Göre Değişim Grafiği (Koşullar: Metanol-Asetonitril -Fosfat Tamponu (20 mM, pH:3) (40:10:50, h/h/h), 10 mM 1-HSA)	51
<b>Şekil 24</b> Optimum Koşullarda BUP ( $7.16 \times 10^{-6}$ M) ve CBZ (IS, $8.38 \times 10^{-6}$ M)'nin Kromatogramı	52
<b>Şekil 25</b> Optimum Koşullarda BUP ve CBZ (IS)'nin Tablet Analizlerindeki Kromatogramı (a) BUP Eklenmemiş Tablet Matriksi (b) $5.37 \times 10^{-6}$ M BUP Eklenmiş Tablet Matriksi (c) Ticari Tablet	55

ŞEKİL NO ve ADI (DEVAM)	SAYFA
<b>Şekil 26</b> Optimum Koşullarda BUP ve CBZ (IS)'nin Yöntem Özgünlük Sonuçları (a) % 3'lük $H_2O_2$ İçerisinde Hazırlanmış BUP (b) 0.1 N NaOH İçerisinde Hazırlanmış BUP (c) 0.1 N HCl İçerisinde Hazırlanmış BUP	56
<b>Şekil 27</b> Oda Sıcaklığında ve 60°C Sıcaklıkta, Bazla Muamele Karşısında Zamana Karşı % BUP Değişim Grafiği	56
<b>Şekil 28</b> 254 nm'de Kaydedilmiş (a) IS Eklenmiş Boş Plazma Kromatogramı (b) Standart BUP ( $1.79 \times 10^{-5}$ M) ve HBUP'un ( $6.10 \times 10^{-5}$ M) Kromatogramı (c) BUP ( $1.79 \times 10^{-5}$ M) ve HBUP ( $6.10 \times 10^{-5}$ M) Eklenmiş Plazma Kromatogramı	59
<b>Şekil 29</b> 214 nm'de Kaydedilmiş (a) IS Eklenmiş Boş Plazma Kromatogramı (b) Standart BUP ( $1.79 \times 10^{-5}$ M) ve HBUP'un ( $6.10 \times 10^{-5}$ M) Kromatogramı (c) BUP ( $1.79 \times 10^{-5}$ M) ve HBUP ( $6.10 \times 10^{-5}$ M) Eklenmiş Plazma Kromatogramı	59

## **SİMGE ve KISALTMALAR DİZİNİ**

a/h	: Ağırlık/hacim oranı
AUC	: Eğri altında kalan alan
BH	: Bağlı hata
BSS	: Bağlı standart sapma
BUP	: Bupropion hidroklorür
CBZ	: Karbamazepin
C <sub>maks</sub>	: Maksimum plazma konsantrasyonu
DA	: Dopamin
DN	: Donma noktası
EBUP	: Eritrohidrobupropion
HBUP	: Hidroksibupropion
HCl	: Hidroklorik asit
HClO <sub>4</sub>	: Perklorik asit
h/h	: Hacim/hacim oranı
H <sub>2</sub> O <sub>2</sub>	: Hidrojen peroksit
1-HSA	: 1-Heptan sülfonik asit
IS	: İç standart
İTK	: İnce tabaka kromatografisi
k	: İletkenlik hücre sabiti
LOD	: Saptama sınırı
LOQ	: Tayin alt sınırı
M	: Molar
N	: Teorik tabaka sayısı
NA	: Noradrenalin
NaOH	: Sodyum hidroksit
NH <sub>3</sub>	: Amonyak
nAkR	: Nikotinik tipteki asetilkolin reseptörleri
OAO	: Ortalama alan oranı
OPA	: Ortalama pik alanı
R <sub>f</sub>	: Alikonma faktörü
RT	: Alikonma zamanı
SE	: Serotonin

SH	: Standart hata
SK	: Sıvı kromatografisi
SK-KS	: Sıvı kromatografisi-kütle spektrometresi
S/N	: Sinyal/gürültü oranı
SR	: Sürekli salım
SS	: Standart sapma
TBUP	: Treohidrobupropion
TCA	: Trikloroasetik asit
$t_{1/2\beta}$	: Eliminasyon yarı ömrü
$t_{maks}$	: Maksimum plazma konsantrasyonuna ulaşmak için gereken zaman
USP	: The United States Pharmacopeia
UV	: Ultraviyole
YPSK	: Yüksek performanslı sıvı kromatografisi
$\Lambda$	: Düzeltilmiş iletkenlik değeri
$\Lambda_0$	: Kondüktometrede okunan iletkenlik değeri
$\Delta\lambda$	: Türev aralığı

## GİRİŞ ve AMAÇ

Bupropion hidroklorür (BUP), fenilaminoketon grubu atipik bir antidepressan ajandır. BUP'un sürekli salım formülasyonu (Zyban®), FDA tarafından 1997 yılında sigarayı bırakırmak için kullanılan ve nikotin içermeyen ilk farmakoterapötik olarak kabul edilmiştir (George ve O'Malley, 2004).

Literatürde, BUP'un insan ve çeşitli hayvanların plazmalarındaki tayinini içeren az sayıda çalışma bulunmaktadır ve bu çalışmalar yöntem çeşitliliği göstermediği gibi, kullanılan sabit ve hareketli fazlar, numune hazırlama basamakları yönünden birbirine benzer niteliktir (Cooper ve ark., 1984; Suckow ve ark., 1986; Suckow ve ark., 1997; Zhang ve ark., 2003; Borges ve ark., 2004; Lobo ve ark., 2005). Farmakokinetik çalışmalar yapmak üzere, plazma örneklerinde BUP ve metabolitlerinin analizi için değişik yüksek performanslı sıvı kromatografisi (YPSK) yöntemleri ve kütle spektroskopisi detektörlü sıvı kromatografisi (SK-KS) gibi özgün çalışma koşulları ve pahalı cihazlar gerektiren yöntemler geliştirilmiş olmasına karşılık, plazma analizleri için laboratuvarlarda yaygın olarak kullanılabilecek ve literatürdekilerden farklı analitik kolon ( $C_8$ ) ve hareketli faz içeren ayrıca numune hazırlama basamağı daha kısa ve kolay olan bir YPSK yöntemi ve aynı amaçla kullanılacak bir ince tabaka kromatografisi (İTK) yöntemi geliştirilmesi ile ilgili literatür bilgisine rastlanmamıştır. Ayrıca, literatürde BUP'un farmasötik formlarındaki miktar tayini konusunda çalışma bulunmamaktadır.

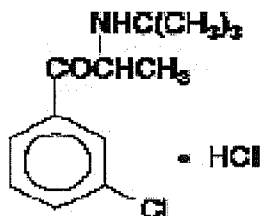
Bu çalışma ile, BUP'un plazmadaki tayinine olanak sağlayacak kolay uygulanabilen bir İTK yöntemi, BUP'un ve ana metaboliti olan Hidroksibupropion'un (HBUP) birlikte tayinini sağlayacak, duyarlılığı yüksek bir YPSK yöntemi geliştirilmesi ve ayrıca yukarıda bahsedilen yöntemlerin yanında BUP'un farmasötik tabletlerindeki tayininin spektrofotometri ve potansiyometrik ve kondüktometrik titrasyon gibi değişik yöntemlerle de gerçekleştirilmesi amaçlanmıştır. 254 nm'de maksimum absorbans gösteren BUP ve 214 nm'de maksimum absorbans gösteren HBUP'un plazmada birlikte tayinini sağlayabilmek için, YPSK cihazında aynı anda değişik dalga boylarının görüntülenmesine olanak sağlayan diyon dizisi detektörü kullanılmıştır. Ayrıca, literatürdeki uzun ve zahmetli numune hazırlama basamakları yerine, tek basamakta plazma proteinlerinin uzaklaştırılmasını sağlayan, kuvvetli bir asit olan trikloroasetik asit (TCA) ile çöktürme işlemi uygulanmış; böylece hem plazma proteinleri çöktürülmüş hem de BUP'un plazmadaki kararlılığı sağlanmıştır (Laizure ve Devane, 1985). Numuneyi derişirme amaçlı olarak da, çözüçünün uzaklaştırılması liyofilizasyon işlemi ile gerçekleştirilmiştir.

## KAYNAK BİLGİSİ

### Bupropion Hidroklorür

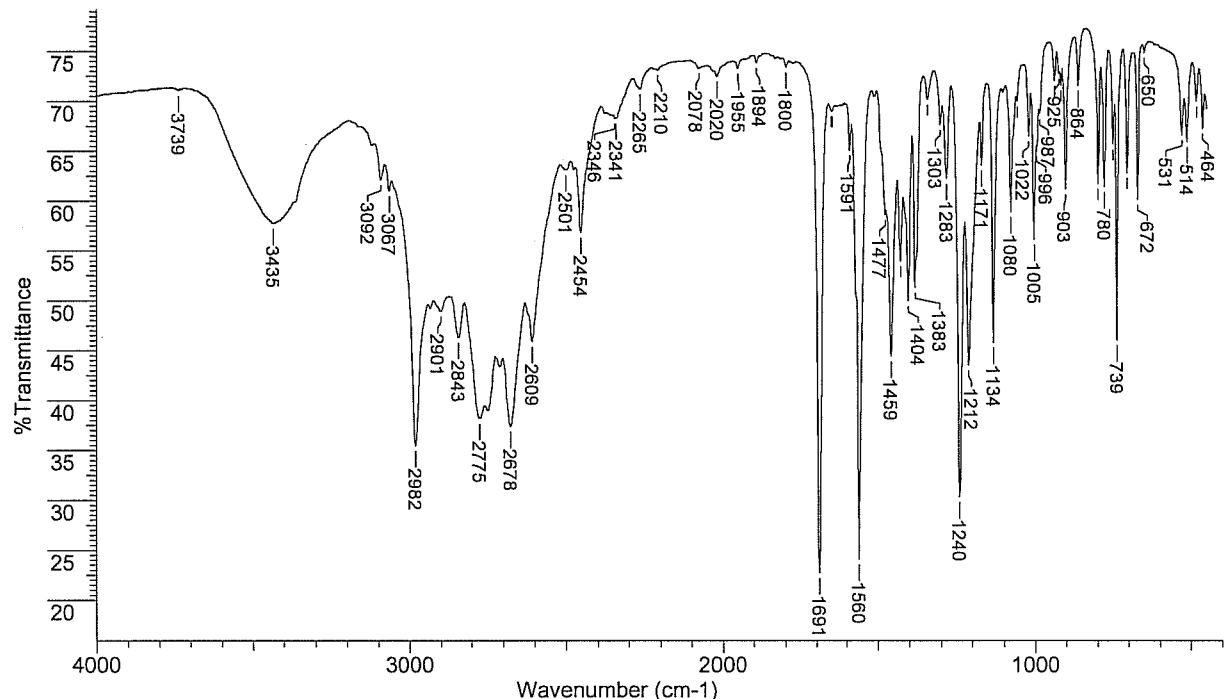
#### Fizikokimyasal Özellikleri

Kimyasal adı (DL-2-tert-bütilamino-3'-kloropropiofenon hidroklorür) olan BUP'un kapalı kimyasal formülü  $C_{13}H_{18}ClNO \cdot HCl$  ve molekül ağırlığı 276.2 dir. BUP'un açık kimyasal formülü, **Şekil 1**'de verilmiştir. BUP, beyaz kristalli bir tozdur ve suda çok çözünür. Tadıacidır ve oral mukozada lokal anestezi hissi uyandırır ([http-1](#)).



Şekil 1. BUP'un Açık Kimyasal Formülü

BUP'un KBr diskinde alınan FT-IR spektrumu **Şekil 2**'de verilmiştir.



Şekil 2. BUP'un FT-IR Spektrumu

Spektrum incelendiğinde 3435'deki yayvan bandın, N-H gerilme titreşimine; 2982-2678 aralığındaki piklerin amin tuzunun gerilme titreşimlerine ait olduğu düşünülmüştür. Ayrıca dalga sayısı 1691 olan kuvvetli bir karbonil grubu ( $C=O$ ) gerilme titreşimi görülmektedir. Sırasıyla 1560 ve  $1240\text{ cm}^{-1}$  deki piklerin, aromatik  $C=C$  titreşimlerine ve tersiyer bütünlüğü grubu titreşimlerine ait olabileceği düşünülmüştür.  $1000\text{ cm}^{-1}$  in altındaki parmak izi bölgesindeki en belirgin bant,

$739\text{ cm}^{-1}$  de görülmüş ve aromatik halkaya bağlı klor grubunun gerilme titreşimlerine ait olduğu düşünülmüştür.

### **Farmakolojik özellikler**

#### *Antidepresan etki*

Majör depresyon; yoğun üzüntü, umutsuzluk, karamsarlık, ilgisizlik, suçluluk duygusu, zihinsel yavaşlama, konsantrasyon kaybı gibi belirtiler ile, uykusuzluk/aşırı uyku, istahsızlık/aşırı istah, enerji ve libido azalmasının yanı sıra normal günlük aktivite ritmi, beden ısısı ve pek çok endokrin fonksiyon değişikliklerinin eşlik ettiği ciddi bir hastaliktır. Genel nüfus ortamında yaşam boyu morbidite riski %10'un üstündedir ve hastaların %10-15'i intihar davranışını gösterir (Bökesoy ve ark., 2000).

Yillardır yapılan yoğun araştırmalara karşın, depresyonun altında yatan neden/nedenler açıklık kazanamamıştır. En çok kabul gören monoamin hipotezi, depresyonun beyin monoaminlerinin işlevsel yetersizliğinden kaynaklandığını ön görür. Depresyonda eksikliği söz konusu olan monoaminler, serotonin (SE) ve noradrenalin (NA)'dır (Bökesoy ve ark., 2000; Kayaalp, 2000).

Dopamin (DA) eksikliğinin depresyona katkısının sınırlı olduğu düşünülse de DA-depresyon ilişkisini gösteren çalışmalar da mevcuttur (Willner, 1983). Antidepresan etkinlik için serotonerjik aktivite artışının gerekliliği, noradrenerjik aktivitenin antidepresan etkinin sürekliliğini sağladığı, DA'nın ise uyarıcı etkiden sorumlu olduğu benimsenmektedir (Bökesoy ve ark., 2000; Kayaalp, 2000).

BUP, zayıf fakat oldukça seçici bir DA geri alım (re-uptake) inhibitördür. Sinaptik aralığa salıverilen DA etkisinin, geri alım mekanizması (sinir ucu tarafından) ile sonlandırılmasını, böylece DA eliminasyonunu önler. BUP'un NA geri alım inhibisyonundaki rolü ise, DA için olanın yarısı kadardır ve etkin maddenin serotonerjik sisteme olan ilgisi çok düşüktür. BUP'un etki mekanizması tam olarak açıklanamamıştır, fakat noradrenerjik kaynaklı olduğu düşünülmektedir. BUP'un antidepresan etkisine DA katkısını gösteren bazı kanıtlar mevcutsa da bunlar çok açık değildir. BUP'un antidepresan etkisinin serotonerjik kaynaklı olmadığı bilinmektedir (Ascher ve ark., 1995).

#### *Sigara bırakılma etkisi*

Nikotin, ufak moleküllü ve lipofilik bir madde olması nedeniyle cilt ve mukozalardan kolayca ve hızlı absorbe edilir. Absorbe edilen nikotin, dolaşım yoluyla hızlı bir şekilde beyne girer (Kayaalp, 2000).

Nikotin hedef hücrelerdeki özgül etkilerini, nikotinik tipteki asetilkolin reseptörlerini (nAkR) aktive etmek suretiyle yapar. Nikotin, sinir uçlarını kendi reseptörlerini aktive ederek depolarize eder, bu uçlarda voltaja bağımlı kalsiyum kanallarını açar ve böylece nöromediatör (DA, SE, NA, opioid peptidler ve diğerleri gibi) salıverilmesini artırır.

Nikotinin psikomotor uyarıcı ve pozitif pekiştirici (keyif verici) etkisi, mezensefalonda *ventral tegmental* alanı uyararak, nikotinik reseptörler aracılığı ile mezolimbik dopaminerjik nöronları aktive etmesine ve böylece *nucleus*

*accumbens* ve diğer limbik yapılardaki dopaminerjik sinir uçlarından DA salıverilmesini artırmasına bağlıdır (Kayaalp, 2000).

BUP'un sigara bağımlılığı tedavisindeki rolü, DA ve NA geri alım blokajına bağlanmaktadır. Ayrıca bu durum, BUP'un yüksek afinité nikotinik asetilkolin (nAkR) reseptörlerine olan antagonist etkisi ile de ilişkili olabilir. Yukarıda açıklandığı gibi, nikotin'in keyif verici etkisinden dopaminerjik yolaklar sorumludur. Nikotin ve bağımlılık yapan diğer maddeler, beyin sapından *n. accumbens*'e kadar uzanan DA salgılayıcı nöronların aktivitesini artırmaktadır. BUP'un DA salgılayıcı nöronların aktivitesini azaltıcı etkisi gösterilmiş ve böylece bağımlılıkla ilişkili döngüyü deaktive edip, sigara arzusunu azalttığı açıklanmıştır. Buna ek olarak, BUP'un NA salgılayıcı nöronların aktivitesini azalttığı da bilinmektedir. Bu noradrenerjik etkiler, BUP'un sigara yoksunluk semptomlarını hafifletmesine katkıda bulunmaktadır (Johnston ve ark., 2002). Yukarıda verilen literatür bilgilerine göre, BUP'un sigarayı bırakma ve antidepresan etkilerinin birbirinden bağımsız olduğu söylenebilir.

### **Farmakokinetik özellikleri**

Sağlıklı bir gönüllüye BUP sürekli salım (SR) tablet uygulanmasından sonra 3 saat içinde BUP  $C_{\text{maks}}$  değerine ulaşılır. Her 12 saat için 150 mg lik doz sonrası, kararlı faz  $C_{\text{maks}}$  değeri yaklaşık olarak  $136 \mu\text{g} \cdot \text{L}^{-1}$  dir (Johnston ve ark., 2002). BUP karaciğerde üç aktif ana metabolitine dönüşür. Bunlar hidroksibupropion (HBUP), treohidrobupropion (TBUP) ve eritrohidrobupropion (EBUP) dur. Önceden morfolinol olarak bilinen ana metaboliti HBUP, sitokrom P450 izoenzimi CYP2B6 tarafından oluşturulur. Aktif metabolitlerinin hepsi plazmada ana bileşixe göre daha yüksek derişimde bulunur. Farelerde yapılan deneylerde HBUP'un etkisi BUP'a hemen hemen eşit düzeyde bulunmuştur, diğer metabolitlerin etki güçleri ana bileşixinin yarısı ile onda biri arasında değişir. SR farmasötik formlarının terminal yarı ömrü 21 saatdir. HBUP, TBUP ve EBUP'un yarı ömrü değerleri sırasıyla 20 saat, 33 saat ve 37 saatdır. BUP'un proteinlere bağlanma oranı ise yaklaşık olarak % 84'tür (Johnston ve ark., 2002).

### **BUP Analizi Çalışmaları**

Loboz ve ark., (2005) BUP ve metabolitlerinin (HBUP, TBUP ve EBUP) insan plazmasındaki tayini için seçici ve tekrar edilebilir bir YPSK yöntemi geliştirmiştirlerdir. Analiz, Aqua C<sub>18</sub> YPSK kolon üzerinde gerçekleştirilmiş, 45:55 hacim oranında metanol ve 0.05 M fosfat tamponun (pH: 5.5) dan oluşan bir hareketli faz kullanılmıştır. UV saptama için kullanılan dalga boyları, BUP metabolitleri için 214 nm, BUP ve iç standart (IS) timolol maleat için 254 nm'dır. Ekstraksiyon geri kazanımı her analit için tekrar edilebilir ve % 55'den fazla bulunmuştur; ayrıca gün içi ve günler arası değişkenlik % 15'den azdır. Tayin alt sınırı BUP için  $2.5 \text{ ng} \cdot \text{mL}^{-1}$ , TBUP için  $5 \text{ ng} \cdot \text{mL}^{-1}$ , HBUP ve EBUP için  $10 \text{ ng} \cdot \text{mL}^{-1}$  olarak bulunmuştur. Yöntem tek doz BUP'u takiben CYP2B6 aktivitesini saptamak için önerilmektedir.

Diğer bir çalışmada Borges ve ark., (2004) BUP ve metabolitlerinin insan, fare ve sincan plazmasında tayini için Chromolith RP 18 (50 mm x 4.6 mm) monolitik kolonun kullanıldığı SK/KS/KS методу geliştirilmiştir. İlave edilmiş kontrol plazma kalibrasyon standartları ve kalite kontrol numuneleri, etil asetat ile ekstrakte edilerek, 8 mM amonyum asetat ve asetonitril (55:45, h/h) den oluşan

hareketli faz  $5 \text{ mL.dk}^{-1}$  hızla izokratik olarak geçirilmiştir. Yöntem, BUP ve TBUP için  $0.25\text{-}200 \text{ ng.mL}^{-1}$ , HBUP için ise  $1.25\text{-}1000 \text{ ng.mL}^{-1}$  aralığında doğrusaldır.

Zhang ve ark., (2003) BUP'un köpek plazmasındaki tayini için duyarlı ve hızlı bir YPSK yöntemi geliştirmiştir. Ayrıca bu yöntemle, yeni geliştirilen SR formülatyonun farmakokinetiği ve biyoesdeğerliği araştırılmış ve normal tablet formu ile karşılaştırılmıştır. Çalışma sırasında, BUP ve IS'nin (hidroksietilfludiazepam) plazma numunelerinden ekstraksiyonu, sıvı-sıvı ekstraksiyon ile gerçekleştirilmiş ve ekstreler,  $50 \text{ mmol}$  fosfat tamponu ( $\text{pH}:5.5$ )-metanol ( $45:55$ , h/h)'ün hareketli faz olarak kullanıldığı ters faz YPSK yöntemi ile analiz edilmiştir. Yöntem BUP için seçici olup, kalibrasyon eğrileri  $1\text{-}750 \text{ ng.mL}^{-1}$  aralığında doğrusal bulunmuştur. En düşük tayin sınırı  $1 \text{ ng.mL}^{-1}$  dir. Yöntem iki formülatyondaki BUP'un biyoesdeğerlik çalışmasına başarıyla uygulanmıştır.

Suckow ve ark., (1997) BUP'un fenilmorfolinol (HBUP) metabolitinin enantiomerlerini ayırmak ve plazmadaki tayinleri için bir çift aşiral-şiral sabit faz sıvı kromatografi tekniği geliştirmiştir. Protein bağlı şiral sabit faz üzerinde, fenilmorfolinol (+) ve (-) stereoizomerleri, potasyum fosfat ( $\text{pH} = 6.25$ ) ve % 5'lik 2-propanol'den oluşan hareketli faz kullanılarak ayrılmıştır. Elüe olan tüm bileşikler, UV saptama kullanılarak  $214 \text{ nm}$ 'de görüntülenmiş ve plazma kaynaklı ya da diğer psikotropik ilaçlardan gelen herhangi bir bozucu etki gözlenmemiştir. Gün içi ve günler arası değişkenlikler, çalışılan derişim aralığında % 6'dan düşük olup, fenilmorfolinol tayin alt sınırı  $125 \text{ ng.mL}^{-1}$  dir. 17 hastadan alınan plazma örneklerinin kararlı fazdayken, toplam fenilmorfolinol'ün yaklaşık % 96'sı kadar olacak şekilde, (-) enantiomer içeriği bulunmuştur. Bu sonuçların klinik anlamı açık değildir, çünkü önceki farmakolojik çalışmaların tümü rasemik fenilmorfolinol ile yapılmıştır.

Diğer bir çalışmada Munro ve ark., (2001) BUP enantiomerlerinin ovomukoid bir sabit faz üzerinde ayrimını araştırmışlardır. Enantiomerlerin şiral ayrimı 10 dakikadan kısa bir sürede gerçekleştirilmiştir. İki enantiomer için de 0.999'lık bir korelasyon katsayı ile,  $0.27\text{-}53.0 \text{ } \mu\text{g.g}^{-1}$  (ppm) derişim aralığında kalibrasyon eğrileri doğrusaldır. Yöntemin saptama sınırı ve tayin alt sınırı, sırasıyla  $0.13 \text{ } \mu\text{g.g}^{-1}$  ve  $0.27 \text{ } \mu\text{g.g}^{-1}$  olup, sistem kesinliği % 0.2 dolayındadır.

Laizure ve DeVane'ın (1985) çalışmasının amacı, ilaçın plazma kararlılığını değerlendirmek, BUP ve ana metabolitlerinin farmakokinetik çalışmalarını yapabilmek için en iyi saklama koşullarını belirlemektir. Bu amaçla, insan plazmasına belirli derişimlerdeki BUP ve metabolitleri eklenmiş ve karışımalar, farklı sıcaklık, pH şartları altında inkübe edilmiştir. BUP, sıcaklık ve pH'ya bağımlı olan logaritmik doğrusal bir bozulma göstermiştir. BUP'un pH 7.4 plazmadaki yarı ömrü 22 ve  $37^\circ\text{C}$ 'erde sırasıyla, 54.2 ve 11.4 saatdir.  $37^\circ\text{C}$ 'deki inkübasyon, pH 2.5'dan 10'a kadar 48 saat için metabolit derişimleri üzerine minimum etki göstermiştir. Sonuçlar göstermiştir ki, protein bağlanma tayinlerini ve terapötik ilaç izleme sırasında ilaç derişim analizleri için plazma numunelerinin toplanması ve saklanması gerektiren çalışmalarda ilaç bozulması göz önünde tutulmalıdır.

Cooper ve ark., (1984) BUP ve üç ana metabolitinin plazmadaki tayini için bir yöntem geliştirmiştirlerdir. Alkali plazmadan n-heptan içindeki % 1.5 izoamil alkole (h/h) ekstraksiyonunu takiben, asitle geri yılanmış ekstrakt, trimetilsilil ters faz materyalle kaplı kolona enjekte edilmiştir. Elüsyon, iyon çifti ajani ve trietilamin içeren fosfat tamponu-asetonitril (80:20) hareketli fazı ile yapılmıştır. Bileşikler, UV detektör kullanılarak 214 ve 254 nm'lerde görüntülenmiştir. Yöntem, BUP için yaklaşık % 85'lik, metabolitleri için de % 98'lik bir geri kazanım sağlamaktadır. Tüm bileşenler için günler arası tekrar edilebilirlik % 4'ü geçmemektedir. Saptama sınırı, BUP için  $5 \text{ ng.mL}^{-1}$ , metabolitleri için ise  $100 \text{ ng.mL}^{-1}$  dir. Metabolit tayini için  $100 \text{ ng.mL}^{-1}$ 'lik sınır, kararlı durum çalışmaları için seçilen IS derişimi ile belirlenmiştir. Tek doz farmakokinetik çalışmalarında, IS'nin kararlı durum derişiminin % 10'u kullanılmış, bu da  $10 \text{ ng.mL}^{-1}$ 'lik daha düşük saptama sınırına imkan sağlamıştır. BUP ve metabolitleri için kararlı durum plazma seviyeleri, sekiz farklı hasta için gösterilmiştir.

Son çalışmalar, üç halkalı antidepresanlardan farklı yapıdaki BUP'un belli hayvan türlerinde farklı şekilde metabolize edildiğini göstermektedir. Bundan yola çıkarak, Suckow ve ark.'nın (1986) yaptığı diğer bir çalışmada, hayvan modeli olarak sıçan, fare ve kobay kullanılarak BUP metabolizması değerlendirilmiştir. BUP ve ana metabolitleri olan BW 306U ve BW A494U'nun farmakokinetik profilleri, sözü edilen hayvanlara karın içi yolla  $40 \text{ mg.kg}^{-1}$  BUP verilmesini takiben belirlenmiştir. BUP ve ana metabolitlerinin farmakokinetik profili, plazma ve beyin numunelerinden bir sıvı kromatografi prosedürü kullanılarak elde edilmiştir. İndirgenmiş BUP metaboliti BW A494U için araştırma, bu metaboliti hayvanlara karın içi yolla uygulayarak ve plazma, beyin numuneleri verilen dozdan 90 dakika sonra analiz edilerek yapılmıştır. Farmakokinetik verilerin analizi, BUP'un sıçanlarda çok hızlı metabolize edildiğini fakat herhangi bir metabolitin birikmediğini göstermiştir. BUP farelerde esas olarak BW 306U'ya metabolize edilirken, kobayda ise BW 306U'nun yanında BW A494U'ya da dönüşmektedir. Bu hayvanlarda BUP'un plazma/beyin oranları önemli bir değişiklik göstermemektedir. Fakat metabolitlerin, türler arasında plazma/beyin oranı açısından dramatik olarak değiştiği bildirilmektedir. Sıçanlarda indirgenmiş BUP (BW A494U) enjekte edildiği zaman, BW A494U plazma derişiminin yaklaşık % 3'ü BUP olarak tayin edilmiştir. Fare ve kobayda ise, daha düşük miktarlar çevrilmiştir. Bundan yola çıkarak, yapılan çalışmada BUP metabolizmasının değişik hayvan türleri arasında önemli farklılıklar gösterdiği gösterilmiştir. Kobay, sıçan ve fareyle karşılaşıldığında insan BUP metabolizmasını yansitan daha iyi bir model oluşturmaktadır.

Diğer bir grup çalışmada ise BUP ve üç metabolitinin farmakokinetiği incelenmiştir (Laizure ve ark., 1985; Hsyu ve ark., 1997; Stewart ve ark., 2001). Bu çalışmalarдан birinde, 6 sağlıklı erkek gönüllüye oral yoldan verilen 200 mg'lık tek doz BUP sonrası, 21 adet plazma numunesi 56 saat boyunca toplanmış, Cooper ve ark.'nın (1984) geliştirdiği YPSK yöntemi ile analiz edilmiştir. Farmakokinetik analizler sonucunda, BUP, TBUP, EBUP ve HBUP'un ortalama yarı ömrleri sırasıyla 9.8, 19.8, 26.8 ve 22.2 saat olarak bulunmuştur. TBUP ve HBUP için eğri altında kalan alanlar ise, BUP için olanın sırasıyla 2.4 ve 10.3 katıdır. Bu çalışma ile, metabolitlerin sistemik dolaşımda yüksek oranda bulunduğu ve bunun sonucunda metabolitlerin ilaçın klinik profilindeki olası

rollerini açıklayabilmek için ileri düzeyde çalışmaların gerekliliği ortaya konmuştur (Laizure ve ark., 1985).

Bir başka farmakokinetik çalışmada ise, sigara içme alışkanlığının genellikle erkenlik çağında başladığından yola çıkılarak, BUP'un yaşıları 13 ve 18 arasında olan 75 ergen gönüllüdeki tek doz farmakokinetiği incelenmiştir (Stewart ve ark., 2001). Gönüllüler, 37'si sigara içen (18 erkek, 19 bayan) ve 38'si sigara içmeyen (19 erkek, 19 bayan) olacak şekilde sigara içme durumlarına göre sınıflandırılmıştır. 150 mg'lık tek doz BUP tablet alımını takiben 0, ½, 1, 2, 3, 4, 6, 8, 24, 48 ve 72 saat sonrasında plazma numuneleri toplamıştır. Plazma numuneleri BUP ve üç metaboliti için katı faz ekstraksiyonunu takiben SK/KS/KS yöntemi ile analiz edilmiştir. Sigara içme alışkanlığının ve yaşın farmakokinetik parametreler üzerindeki etkisini değerlendirmek için faktoriyel varyans analizi kullanılmıştır. Yapılan analizler sonucunda BUP ve HBUP'un farmakokinetik parametrelerinin sigara içme alışkanlığına göre değişiklik göstermediği, fakat erkek ve bayan gönüllüler arasında önemli farklar olduğu bulunmuştur. BUP için zamana karşı plazma derişimi eğrisi altında kalan alan ( $AUC_{0-\infty}$ ) değeri, dağılım hacmi, maksimum plazma derişimi ( $C_{\text{maks}}$ ) ve eliminasyon yarı ömrü ( $t_{1/2\beta}$ ) değerleri bayanlarda erkeklerle göre önemli ölçüde ( $p<0.05$ ) yüksek bulunurken, vücut ağırlığına karşı normalize BUP atılımı ( $CL/f$ ) bayanlar ve erkekler arasında değişiklik göstermemiştir. Bayanlar ayrıca HBUP için, erkeklerle göre önemli ölçüde ( $p<0.05$ ) yüksek  $AUC_{0-\infty}$  ve  $C_{\text{maks}}$  değerleri göstermiştir. HBUP için AUC değerinin, BUP için olana oranı ergenlerde yaklaşık olarak 4-5 olarak bulunurken, bu değer önceki çalışmada yetişkinler için bulunan değerden düşüktür. Sonuç olarak, bu çalışma ile sigara içme durumunun ergenlerdeki tek doz BUP farmakokinetiğini etkilemediği fakat bayanların erkeklerle göre BUP ve ana metaboliti HBUP'un bazı önemli farmakokinetik parametreleri yönünden farklılık gösterdiği vurgulanmıştır.

Literatürde, 150 mg'lık oral tek doz sürekli salım BUP uygulanması sonrası, sigara içme durumu bakımından farklılık gösteren iki ayrı grup gönüllüde ilaç farmakokinetiğinin incelendiği başka bir çalışma daha bulunmaktadır (Hsyu ve ark., 1997). BUP ve üç metaboliti için farmakokinetik parametreler hesaplanmış ve BUP için zamana karşı plazma derişimi eğrisi altında kalan alan ( $AUC_{0-\infty}$ ) değeri, maksimum plazma derişimi ( $C_{\text{maks}}$ ),  $C_{\text{maks}}$  değerine ulaşabilmek için gereken zaman ( $t_{\text{maks}}$ ) ve eliminasyon yarı ömrü ( $t_{1/2}$ ) değerleri, sigara içen ve içmeyenlerde sırasıyla  $1164 \pm 220 \text{ ng.s.mL}^{-1}$  ve  $1161 \pm 292 \text{ ng.s.mL}^{-1}$ ;  $144 \pm 28 \text{ ng.mL}^{-1}$  ve  $143 \pm 39 \text{ ng.mL}^{-1}$ ;  $3.00 \pm 0.50$  saat ve  $2.88 \pm 0.49$  saat;  $19 \pm 5$  saat ve  $18 \pm 3$  saat olarak bulunmuştur. Bu çalışmada, sigara içen ve içmeyen veya erkek ve bayan gönüllüler arasında BUP ve metabolitlerinin farmakokinetiği açısından önemli klinik farklar bulunmadığı belirtilmiştir. Bu durumdan, hasta sigara içme durumu ve cinsiyetine göre BUP dozunu ayarlamak gerekmemiş sonucu çıkarılmıştır.

Önceden bahsedildiği gibi, USP 29'daki BUP monografında, BUP safsızlığı olan m-klorobenzoik asit tayini için geliştirilmiş bir İTK yöntemi bulunmaktadır. Bu çalışmada, dalga boyu olarak 235 nm kullanılmış ve toluen, sikloheksan ve glasiyel asetik asitten (47:47:6, h/h/h) oluşan hareketli faz ile İTK yöntemi uygulanmıştır (USP 29, 2006).

Ayrıca literatürde, BUP'un hücre dışı katekolamin düzeylerine olan etkisinin araştırıldığı mikrodiyaliz çalışmaları da bulunmaktadır (Gazzara ve Andersen, 1997; Xi-Ming Li ve ark., 2002; Kusaka ve ark., 2006). Bu çalışmalarında özellikle, depresyon ve antidepresan etki ile ilişkisi bilinen ve sigara bağımlılığı ile ilgili olduğu tahmin edilen beyindeki *hypothalamus*, *frontal cortex* ve *nucleus accumbens* gibi mezokortikolimbik alanlar seçilmiştir. Çalışmalar sonucunda, BUP'un bu alanlardaki hücre dışı DA ve NA düzeyini artırdığı, SE düzeyini değiştirmediği bulunmuştur. Bu özelliklerin, bir antidepresan ve sigara bırakıcı ajan olarak, BUP'un klinik etkinliğini oluşturduğu düşünülmektedir (Xi-Ming Li ve ark., 2002; Kusaka ve ark., 2006).

## **Plazma Numunesi Hazırlamak için Kullanılan Yöntemler**

### **Liyofilizasyon (Dondurarak kurutma)**

Liyofilizasyon materyali önce dondurma, sonra süblimasyon ile su buharını dışarı çekerek kurutma işlemi olarak tanımlanabilir. Uygulanan yöntemlere bağlı olarak dondurma işlemi önceden yapılabileceği gibi doğrudan vakum altında tutarak materyalin donması da sağlanabilir.

Bu yöntem özellikle mikrobiyoloji alanında, kültürlerin korunması amacı ile yaygın bir şekilde kullanılmaktadır. Mikroorganizmalar ve başta çeşitli aşilar olmak üzere, sperm, eritrosit, plazma, serum, organ naklinde kullanılacak çeşitli dokular, enzimler, proteinler gibi pek çok biyolojik materyal bu yöntemle korunabilmekte ve gıda sanayinde pek çok ürün bu yöntem ile elde edilmektedir. Bunların dışında, çeşitli biyolojik çalışmalarda özellikle hastalıklı dokuların saklanması gibi uygulamalarda dondurarak kurutma yönteminden yararlanılmaktadır ([http-2](#)).

Liyofilizasyon işlemi genellikle koruma yöntemi olarak bilinmesine karşın, doktora tezi kapsamında yapılan çalışmalarında, plazma bileşimindeki su ve plazma proteinlerini çöktürme sırasında eklenen çözücüyü uzaklaştırmak, yani numuneyi derişirmek amacı ile kullanılmıştır. Liyofilizasyon işlemi için öncelikle numunenin dondurulması gereğinden çözücüün cinsi büyük önem taşımaktadır. Örneğin plazma proteinlerini çöktürmek amacıyla yaygın olarak kullanılan organik çözüçülerden biri olan metanol, donma noktasının çok düşük olması (DN: -98°C) ve -80°C'de dondurulamaması nedeniyle bu çalışmada kullanılamamıştır ([http-3](#)). Aynı amaçla asetonitril kullanılabilir olmasına karşın (DN: -48°C), etkin maddenin plazmadaki kararlılığını sağlamak amacıyla organik çözüçülere göre daha az miktarı yeterli olan kuvvetli asitlerden TCA, (%10, a/h) tercih edilmiştir. Plazma proteinleri çöktürme işlemi ve bu amaçla kullanılan ajanlar, aşağıda geniş olarak açıklanmaktadır.

## ***Plazma proteinlerini çöktürme işlemi***

### ***Prensip***

Bioanalizlerde kullanılan numuneler; endojen makromoleküller, küçük moleküller, metabolik ürünler ve tuzların yanında büyük ölçüde protein içerirler. Seçici bir yöntem geliştirebilmek için sözü edilen bileşenlerin numuneden uzaklaştırılması gerekmektedir ve çoğunlukla seçiciliği sağlamak için kullanılan ekstraksiyon yöntemleri, optimum çözücü ve pH şartlarını gerektirmekte, dolayısıyla karmaşık ve zaman alıcı olmaktadır.

Proteinlerin biyolojik numuneden uzaklaştırılması önemlidir; çünkü bu proteinler kromatografik sisteme verildiğinde, hareketli faz içerisinde bulunan organik çözücüler ve tampon tuzları ile etkileşerek çökmemekte ve bu durum, geri basıncı artırarak analitik kolonun ömrünün azalmasına neden olmaktadır.

Proteinleri numuneden uzaklaştmak amacı ile yaygın olarak kullanılan yöntem, organik çözücüler, iyonik tuzlar ve inorganik asitler yardımıyla proteinlerin çöktürülmesi işlemidir. Çöktürülen kütle, santrifüje veya süzerek ayrılmakta ve süzüntü kullanılarak analiz gerçekleştirilmektedir (Wells, 2003).

### ***Çöktürücü ajan olarak kullanılan asitler***

Trikloroasetik asit (TCA; %10, a/h), perklorik asit (%6, a/h) ve metafosforik asit (%5, a/h) gibi bazı asitler, belirtilen derişimlerde proteinlerin bazik bölgelerinin protonlanması sağlanarak konformasyonlarını değiştirip, izoelektrik noktalarının altındaki bir pH'da çözünmeyen tuzlar meydana getirirler. Bilindiği gibi, izoelektrik nokta protein molekülünün yüksüz olduğu pH'dır. Bu noktanın üzerindeki pH'larda protein molekülü baz olarak hareket ederken, altındaki pH'larda asit olarak davranışır. Izoelektrik noktaya karşılık gelen pH değerinde bir protein minimum viskoziteye sahiptir ve daha kolay topaklaşabilir. Yukarıda sözü edilen asitler, çok etkili protein çöktürücü ajanlardır, fakat genellikle SK ve SK-KS sistemlerine doğrudan enjekte edilen dayanıksız moleküller için sert ve aşındırıcı oldukları düşünülmektedir. Buna karşın, çok küçük miktarlarda yüksek verim sağlamaları nedeniyle, özellikle TCA'nın kullanıldığı çok sayıda SK ve SK-KS çalışması bulunmaktadır (Wells, 2003).

### ***Çöktürücü ajan olarak kullanılan organik çözücüler***

Organik çözücüler, protein çözeltilerinin dielektrik sabitlerini azaltarak protein-protein etkileşimini artırırlar. Metanol, etanol, asetonitril ve aseton gibi çözücüler protein çöktürme derecesi bakımından asitlere göre daha az etkili olmalarına karşın, bozunmaya neden olmadıkları ve daha yumuşak ortam şartları sağladıkları için tercih edilirler. Bu organik çözücüler, SK hareketli fazlarıyla geçimlidirler ve kromatografik sisteme doğrudan enjekte edilebilirler.

Organik çözücüler arasında metanol ve asetonitril en sıkılıkla kullanılanlardır. Metanol, proteini uzaklaştırılacak matriks ile eşit oranda kullanıldığı zaman asetonitril kadar etkili olmamasına karşın; beyaz, floküle bir çökelti oluşturmaktır, bu da karıştırmayı kolaylaştırarak süzüntünün daha berrak olmasını sağlamaktadır (Wells, 2003).

### *Çöktürücü ajanların kullanılan miktarları*

Proteinlerin etkin şekilde uzaklaştırılması için, çöktürücü ajan miktarının numune matriksine (plazma gibi) oranı önemlidir. Asitler, 1 hacim plazmaya karşı 0.2 hacim TCA veya 0.4 hacim  $\text{HClO}_4$  gibi düşük oranlarda yüksek verim (>% 98) sağlamaktadırlar. Organik çözücüler ise, **Çizelge 1**'de açıklandığı gibi daha yüksek hacimler gerektirmektedir. Proteinlerin uzaklaştırılması için 1 hacim plazma ile 1 hacim asetonitril kullanıldığı zaman, % 97.2'lük bir verim elde edilirken, 1 hacim plazma ile 3 hacim asetonitril kullanıldığında % 99.8 değerinde maksimum verim oluşmaktadır. Metanol kullanıldığı zaman, 1:1 oranında % 73.4'lük düşük bir verim, 1:3 oranında ise % 98.9'luk bir verim elde edilmekte, ancak 1:4 oranı ile, % 99.2'lük verime ulaşılabilmektedir. Plazmadan proteinlerin çöktürülmesi için en iyi sonuçlar, 1 hacim plazmaya karşı 3 hacim asetonitril veya 4 hacim metanol kullanıldığında elde edilmektedir (Wells, 2003).

**Çizelge1. Çöktürücü Ajanların, Çöktürülen Plazma Proteini Oranında % Bağlı Etkinlikleri (Wells, 2003)**

Çöktürücü	Süzüntünün pH'sı	0.6 hacim	1 hacim	2 hacim	3 hacim	4 hacim
Asetonitril	8.5-9.5	45.8	97.2	99.7	99.8	99.8
Aseton	9.0-10	33.6	96.2	99.4	99.2	99.1
Metanol	8.5-9.5	32.2	73.4	98.7	98.9	99.2
Etanol	9.0-10	41.7	91.4	98.3	99.1	99.3
%10 TCA	1.4-2.0	99.6	99.5	99.8	99.8	99.8
%10 $\text{HClO}_4$	<1.5	98.9	99.1	99.1	99.1	99.0
%5 $\text{HPO}_4$	1.6-2.7	98.1	98.3	98.4	98.2	98.1

### *Diger protein çöktürücü ajanlar*

Doymuş sulu amonyum sülfat gibi hidrate tuz iyonları, protein-su etkileşimi için gerekli olan su moleküllerini azaltarak protein çözünürlüğünü düşürürler. Çinko ve bakır gibi kuvvetli metal katyon tuzları, (-) yüklü karboksil grupları ile etkileşerek proteinin net yükünü ve çözünürlüğünü değiştirirler. Bu metal tuzları, çok etkili çöktürücü ajanlar olmalarına karşın, biyoanalizler için fazla tercih edilmezler; çünkü uçucu olmayan bu tuzlar SK-KS teknikleriyle geçimli değildir. Protein çöktürmek amacıyla kullanılan en tipik metal tuzu, 0.5 N NaOH içerisinde hazırlanan çinko sülfat heptahidrat (%10, a/h) dir. Ayrıca, çinko tuzunun organik bir çözücü ile kombinasyonunun, organik çözücüün (örn. asetonitril) tek başına kullanıldığı duruma göre daha etkili olduğu görülmüştür.

Çinko ve bakır tuzları kromatografik sisteme doğrudan enjekte edilemeyeceği için, diğer teknikler için numune hazırlama ön basamağı olarak kullanılabilir.

Literatürde bazı yararlı çöktürücü ajan kombinasyonları verilmiştir. Bunlardan biri, 1 hacim numune için 1:5 oranında kullanılmış olan, % 0.1 formik asit içeren asetonitril ve etanol (9:1) karışımıdır. Başka bir çalışmada, aynı kombinasyona % 0.1 asetik asit eklenmiştir. Ayrıca, 1:1 oranında % 1 asetik asit içeren metanol veya asetonitril karışımı da kullanılmıştır. Diğer örnekler; 1:2 numune-çözücü oranında kullanılmış olan % 0.1 trifluoroasetik asit içeren asetonitril ve 250 µL plazma için 200 µL metanol ve 25 µL HClO<sub>4</sub> karışımıdır (Wells, 2003).

#### *Protein çöktürme yönteminin yararları*

Protein çöktürme yöntemi, basitliği ve geniş uygulama alanı nedeniyle, özellikle plazmadaki küçük ilaç molekülleri için tercih edilmektedir. Genellikle, diğer yöntemlerin aksine, pH ayarlaması gerektirmez; çünkü maddenin iyonize olması veya olmaması yöntemin başarısı için önemli değildir. Bu yöntem için hızlı olması önemli bir özellik olup, validasyon öncesi yöntem geliştirmek için çok az zaman harcanmasını sağlar.

Protein çöktürme yöntemi, pahalı çözücü ve ekipman gerektirmediği gibi her laboratuvara kolaylıkla uygulanabilir ve analiz maliyeti düşüktür. Yöntemin diğer bir özelliği, numuneye zarar vermemesidir.

Bu yöntem ile, yüksek oranda (% 99) proteinlere bağlanan analitler için % 95'in üzerinde yüksek geri kazanım elde edilmektedir. Ayrıca, numune izolasyon ve transfer basamakları gereklilikinden, proteinler çok küçük mikardaki numuneden (20-50 µL plazma) etkili bir şekilde uzaklaştırılmaktadır (Wells, 2003).

#### *Protein çöktürme yönteminin sakıncaları*

Protein çöktürme yönteminin en önemli sakıncası, numuneyi 3 veya daha fazla oranda seyreltmesidir. Bu nedenle, genellikle analit derişiminin yüksek olduğu ve saptama sınırının tayine izin verdiği durumlarda yararlidır. Ancak seyreltme etkisini önlemek için süzüntünün azot veya ısı uygulamasıyla uçurulması mümkündür. Isı uygulaması, kararlı olmayan moleküller için mümkün olamamaktadır.

Literatürde ayrıca, protein uzaklaştırılmasının tamamlanamadığı durumlarda (%95-99), diğer yöntemlere gerek duyulabileceği belirtilmiştir. Bu nedenle, çöktürücü ajan seçiminde dikkatli olma gerekliliği ortaya çıkmakta ve bu çalışmada kullanılmış olan TCA gibi çok etkili bir ajan gerekmektedir (Wells, 2003).

## **GEREÇLER**

### **Kimyasal Maddeler**

Asetonitril	: Merck, Almanya
BUP	: GlaxoSmithKline, Türkiye
CBZ	: Sigma, Amerika
Etanol	: Tekel, Türkiye
Etil Asetat	: Merck, Almanya
Glasiyel Asetik Asit	: Merck, Almanya
HBUP	: GlaxoSmithKline, Türkiye
HCl (% 37)	: Carlo Erba, İtalya
HClO <sub>4</sub> (% 60)	: Merck, Almanya
Hidroksi Metil Selüloz	: Sigma, Amerika
H <sub>2</sub> O <sub>2</sub> (% 30)	: Merck, Almanya
1-HSA	: Merck, Almanya
Kloroform	: Merck, Almanya
Laktoz Monohidrat	: Sigma, Amerika
Magnezyum Stearat	: Sigma, Amerika
Metanol	: Merck, Almanya
NaOH	: Riedel-de Haen, Almanya
NH <sub>3</sub>	: Merck, Almanya
Nişasta	: Sigma, Amerika
O-Fosforik Asit (% 85)	: Merck, Almanya
Petrol Eteri	: Merck, Almanya
Polietilen Glikol 4000	: Sigma, Amerika
Povidon	: Sigma, Amerika
Sodyum Dihidrojen Fosfat	: Merck, Almanya
Talk	: Sigma, Amerika
TCA	: Merck, Almanya
Titanyum dioksit	: Sigma, Amerika
Wellbutrin® Tablet	: GlaxoSmithKline, Amerika
Zyban® Tablet	: GlaxoSmithKline, Türkiye

## **Cihazlar ve Diğer Gereçler**

Buzdolabı	: Arçelik, No Frost&Electronic, Türkiye
FT-IR Spektrometresi	: Perkin Elmer, Spectrum 100, Almanya
Hassas Terazi	: Ohaus, E12140, İsviçre
YPSK	: Shimadzu, LC-10AT, Japonya Shimadzu CBM-10A sistem kontrol ünitesi Shimadzu SPD-M10A detektör
YPSK Kolonu	: Agilent Technologies, Zorbax Eclipse XDB-C <sub>8</sub> 4.6 x 150 mm, 3.5µm, Amerika
İTK	: Camag, Linomat V, İsviçre Camag İTK III tarayıcı Camag şırınga
Kondüktometre	: MultiLine, P4, Almanya
pH Metre	: Electro-mag, M822, Türkiye
Santrifüj	: Hettich, EBA 20, Almanya
Spektrofotometre	: Shimadzu, UV-2401 PC, Japonya
Su Banyosu	: Memmert, WB14, Almanya
İTK Plağı	: Merck, silika jel 60F-254, 20x10 cm, 250 µm, Almanya
Ultra Saf Su Cihazı	: Millipore, Synthesis A 10, Fransa
Ultrasonik Banyo	: Ultrasonic, LC30, Almanya
Vorteks Karıştırıcı	: Nüvemiks, NM110, Türkiye

## **YÖNTEMLER**

### **BUP'un Potansiyometrik ve Kondüktometrik Titrasyon Yöntemleri ile Farmasötik Tabletlerinde Miktar Tayini**

#### ***Tablet numune çözeltilerinin hazırlanması***

Tablet numunelerinin hazırlanması için, 150 mg BUP içeren 10 adet Wellbutrin® tablet ağırlığı tam olarak tartıldıktan sonra tabletler havanda toz edilmiş ve ağızı sıkı kapanan ve ışık geçirmeyen bir kaba konulmuştur. Bir tabletin ortalama ağırlığı hesaplanarak bu ağırlığa karşılık gelen miktar tam tartıldıktan sonra, üzerine 30 mL ultra saf su ilave edilerek iyice karışması sağlanmış ve normalitesi okzalik asit kullanılarak ayarlanmış olan, 0.1000 N NaOH ile titre edilmiştir.

#### ***Kondüktometrik titrasyon ile ilgili deneysel koşullar***

150 mg BUP içeriği bilinen farmasötik tabletlerde kondüktometrik titrasyon ile miktar tayini için, hazırlanan tablet numuneleri 0.1000 N NaOH ile titre edilmiş ve eklenen NaOH hacmine karşı, kondüktometrede okunan iletkenlik değerleri kaydedilmiştir. Daha sonra buradan hareketle, düzeltilmiş iletkenlik değerleri aşağıda verilen formül ile hesaplanmıştır.

$$\Lambda = \frac{V+v}{V} \cdot \Lambda_0$$

Burada,  $V$ : çözeltinin başlangıç hacmini (mL),  $v$ : eklenen titrant hacmini (mL),  $V+v/V$ : düzeltilmiş hacim değerini,  $\Lambda_0$ : kondüktometrede okunan iletkenlik değerini,  $\Lambda$  ise düzeltilmiş iletkenlik değerini ifade etmektedir.

Düzeltilmiş NaOH hacmine karşı, düzeltilmiş iletkenlik değerleri grafiğe geçirildiğinde birbirini kesen iki doğru elde edilmektedir. Bu iki doğru üzerinden seçilen 5'er noktanın doğrusal regresyon ile doğru denklemlerinin ( $y=ax+b$ ) bulunması ve bulunan iki doğru denkleminin eşitlenmesiyle elde edilen x değeri, dönüm noktasını vermektedir. Bulunan dönüm noktaları ve bu dönüm noktalarından yola çıkararak tablet içerikleri hesaplanmıştır. Aynı deneyler, tablet yardımcı maddelerinin kondüktometrik titrasyonu etkilemediğini göstermek için, bir kere de tablet matriksi ile yapılmıştır.

Ayrıca hücre sabiti ( $k$ ), derişimi ve öziletkenlik değeri bilinen standart KCl çözeltisi yardımıyla  $6.82 \times 10^{-4} \text{ cm}^{-1}$  olarak bulunmuştur.

#### ***Potansiyometrik titrasyon ile ilgili deneysel koşullar***

Öncelikle pH metre pH 4, pH 7 ve pH 10 standart tamponları ile kalibre edilmiştir. Hazırlanan tablet numuneleri 0.1000 N NaOH ile titre edilmiş ve eklenen NaOH hacmine karşı, okunan pH değerleri kaydedilmiştir. Bu işlem sırasında, NaOH'in dönüm noktası civarında daha sık aralıklarla ilave edilmesi ve eklenen NaOH sonrası pH metrenin sabit bir pH değerini göstermesi için beklenmesi gerekmektedir.

Eklenen NaOH hacmine karşılık gelen pH değerleri grafiğe geçirildiğinde sigmoidal bir eğri elde edilmektedir. Eğrinin I. ve II. türevi hesaplanarak, eklenen NaOH hacmine karşı grafiğe geçirilmiş ve dönüm noktaları bulunmuştur.

İletkenlik titrasyonlarında olduğu gibi, deneyler tablet matriksi ile tekrarlanmıştır.

## **BUP'un UV-Spektrofometri ve İkinci Türev Spektrofotometri Yöntemleri ile Farmasötik Tabletlerinde Miktar Tayini**

### ***Deneysel koşulların hazırlanması***

Çözeltilerin UV ve türev spektrumları, 1 cm'lik kuartz hücreler içinde, 200-350 nm dalga boyu aralığında, 1 nm yarık genişliği ve 2 nm türev aralığı ( $\Delta\lambda$ ) kullanılarak kaydedilmiştir.

### ***Spektrofotometrik yöntemlerin validasyonu***

Spektrofotometrik yöntemlerin validasyonu için kesinlik, doğrusallık, duyarlılık (saptama sınırı ve tayin alt sınırı) ve doğruluk çalışmaları yapılmıştır (ICH Q2(R1), 2005).

#### ***Kesinlik (Precision)***

Spektrofotometrik tayin için öncelikle  $3.8 \times 10^{-3}$  M derişimde % 100 metanol içeren bir stok çözelti hazırlanmıştır ve bu çözeltiden gerekli seyreltme yapılarak, BUP'un 200-350 nm aralığındaki UV ve II. türev spektrumunun kaydedilmesi için  $5 \times 10^{-5}$  M derişimdeki BUP çözeltisi kullanılmıştır. Tüm çözeltiler, hacimce % 2'lik metanol içerisinde hazırlanmış ve kör olarak hacimce % 2'lik metanol çözeltisi kullanılmıştır. Yöntem kesinliği,  $4.14 \times 10^{-5}$  M'lık derişimde BUP kullanılarak gün içi ve günler arası tekrar edilebilirliği belirlemek için incelenmiş ve istatistiksel olarak değerlendirilmiştir.

#### ***Doğrusallık (Linearity)***

UV-spektrofotometri yönteminin doğrusallığını incelemek amacıyla,  $2.07 \times 10^{-5}$ - $7.25 \times 10^{-5}$  M derişim aralığında BUP'un beş ayrı çözeltisi hazırlanmış ve birbirini takip eden üç gün için 252 nm'deki absorbans değerleri ölçülmüştür. II. türev spektrofotometrik analizler için ise, aynı kalibrasyon aralığındaki çözeltilerin 217.4 nm dalga boyundaki minimum absorbans değeri ile 221.8 nm dalga boyundaki maksimum absorbans değeri ölçülmüş ve bu absorbans değerlerinin farkı alınarak, birbirini takip eden üç gün için iki pik arasındaki uzaklıklar hesaplanmıştır.

#### ***Saptama sınırı ve tayin alt sınırı (LOD and LOQ)***

BUP'un iki farklı spektrofotometrik yöntemle saptama sınırı (Limit of Detection, LOD) ve tayin alt sınırı (Limit of Quantification, LOQ) değerlerinin belirlenmesi amacıyla, [kalibrasyon denkleminin kesim değerlerinin standart sapması/kalibrasyon denkleminin eğimi] oranı sırasıyla 3.3 ve 10 ile çarpılarak spektrofotometrik yöntemlerin saptama sınırı ve tayin alt sınırı değerleri hesaplanmıştır.

#### ***Doğruluk (Accuracy)***

Yöntemlerin doğruluğunu araştırmak için, tablet oluşturulan etkin madde dışındaki maddelerden oluşan bir matriks ortamı hazırlanması, etkin maddenin bu matrikse eklenmesi ve yapılan ölçüm sonunda matriks ortamındaki yüzde geri kazanımın belirlenmesi yolu izlenmiştir (Shabir, 2003). BUP'un farmasötik şekli olan Zyban® ve Wellbutrin® tablet için yapılan literatür araştırmasında, yardımcı madde olarak karnauba mumu, sistein hidroklorür, mikrokristalin selüloz, hypromellose, magnezyum stearat, polietilen glikol, polisorbat 80, titanyum

dioksit ve ayrıca FD&C boyadan oluşan aynı tablet içeriği verilmektedir (http-1). **Çizelge 2**'de verilen yardımcı maddeler; ortalama tablet ağırlığı ve BUP içeriği göz önüne alınarak belirtilen oranlarda karıştırılmış ve tablet matriks çözeltisi hazırlanmıştır.

**Çizelge 2. Tablet Matriks Çözeltisini Hazırlamak İçin Kullanılan Yardımcı Maddeler ve Yüzdeleri**

Kullanılan Yardımcı Maddeler	Yüzdeleri (%)
Hidroksi Propil Metil Selüloz	7
Laktoz Monohidrat	60
Magnezyum Stearat	1
Polietilen Glikol 4000	5
Nişasta	5
Povidon	5
Talk	1
Titanyum Dioksit	1

Matriks çözeltisinin hazırlanması sırasında, standart BUP çözeltisi ile aynı analitik koşulların sağlanmasına özen gösterilmiştir. Kalibrasyon eğrisinin verilen aralığında bulunan üç farklı derişimdeki standart BUP çözeltisi ( $2.07 \times 10^{-5}$ ,  $4.14 \times 10^{-5}$ ,  $6.21 \times 10^{-5}$  M) matriks çözeltisine eklenerek karıştırılmış ve önerilmiş olan spektrofotometrik yöntemler kullanılarak ölçümler yapılmıştır. BUP içeriğine karşılık gelen absorbans ve absorbans farkı değerleri kalibrasyon eşitliğinde çözülerek; yüzde geri kazanım, yüzde bağıl hata ve tekrar edilebilirlik hesaplanmıştır. Yüzde bağıl hata değerlerinin hesaplanması için,

$$\% \text{ BH} = [(\text{ölçülen derişim}-\text{eklenen derişim})/\text{eklenen derişim}] \times 100$$

esitliği kullanılmıştır.

#### **Tablet numune çözeltilerinin hazırlanması**

150 mg BUP içeriği bilinen farmasötik tabletlerde miktar tayini için hazırlanan tablet numuneleri optimum koşullarda analiz edilmiştir. Elde edilen sonuçlar, doğrusallık bölümünde, iki farklı yöntem için verilen kalibrasyon eşitliklerinde çözülerek BUP içeren tabletlerdeki miktarlar ve karşılık gelen yüzdeleri hesaplanmıştır. Wellbutrin® tablet için spektrofotometrik yöntemlerle elde edilen tablet analizi sonuçlarının, potansiyometrik ve kondüktometrik titrasyon sonuçları ile karşılaştırılması amacıyla, GraphPAD istatistiksel analiz yazılımı kullanılarak ANOVA testi yapılmıştır.

## BUP'un İTK Yöntemi ile Farmasötik Tabletlerinde Miktar Tayini

### *İTK yöntemi ile ilgili deneysel koşullar*

Numuneler alüminyum plaklar üzerine, 5 mm genişliğinde bantlar halinde,  $150 \text{ nL.s}^{-1}$  lik sabit bir uygulama hızı ile iki bant arası uzaklık 9.4 mm olacak şekilde ayarlanarak uygulanmıştır. Etanol-kloroform-glasiyel asetik asit (30:10:1, h/h/h) den oluşan hareketli faz, kromatografi için 20 mL'lik hacimlerde kullanılmıştır. Sürüklenme, hareketli faz ile doyurulmuş 20x10 cm'lik cam tanklarda gerçekleştirilmiştir. Tankın hareketli faz ile oda sıcaklığında doygunluk zamanı 30 dakika ve maddenin sürükleneceği uzunluğu 8 cm olarak belirlenmiştir. Sürüklenme sonrası, plaklar kurutucu yardımıyla kurutulmuş, densitometrik tarama 254 nm'de döteryum lamba kullanılarak, 20  $\text{mm.s}^{-1}$ 'lik sabit bir tarama hızı ile gerçekleştirilmiştir. Yarık boyutları 3.00x0.45 mm'dir.

### *İTK yönteminin validasyonu*

İTK yönteminin validasyonu için kesinlik, doğrusallık, duyarlılık (saptama sınırı ve tayin alt sınırı), doğruluk, özgünlük, sağlamlık ve tutarlılık çalışmaları yapılmıştır (ICH Q2(R1), 2005).

#### *Kesinlik (Precision)*

İTK deneyleri için öncelikle metanol içerisinde  $1 \text{ mg.mL}^{-1}$ 'lik BUP stok çözeltisi hazırlanmış ve bu çözelti metanol ile 1/10 oranında seyreltilerek,  $100 \mu\text{g.mL}^{-1}$ 'lik çözelti elde edilmiştir. Bu çözelti kullanılarak 6, 8 ve 10  $\mu\text{L}$  olmak üzere üç ayrı hacimde uygulama yapılmış, BUP'un 600, 800 ve 1000 ng.spot<sup>-1</sup>'lik derişimlerde gün içi ve günler arası tekrar edilebilirlikleri araştırılmıştır.

Verilen derişimlerde elde edilen pik alanı sinyalleri, yöntemin kesinliğinin gösterilmesi için istatistiksel olarak değerlendirilmiştir.

#### *Doğrusallık (Linearity)*

$100 \mu\text{g.mL}^{-1}$ 'lik BUP çözeltisinden 2-10  $\mu\text{L}$  arasında beş ayrı hacimde uygulama yapılarak, 200-1000 ng.spot<sup>-1</sup> derişim aralığındaki BUP çözeltilerinin birbirini takip eden 3 günde pik sinyalleri kaydedilmiş ve artan BUP derişimleri ile karşılık gelen pik alanı değerleri arasındaki ilişki istatistiksel olarak değerlendirilmiştir.

#### *Saptama sınırı ve tayin alt sınırı (LOD and LOQ)*

BUP'un İTK yöntemiyle LOD ve LOQ değerlerinin belirlenmesi amacıyla, kör madde olan metanol beş defa uygulanmış ve sinyal/gürültü oranı belirlenmiştir. Bu oran, sırasıyla 3 ve 10 ile çarpılarak, hesaplamalar yapılmıştır.

#### *Doğruluk (Accuracy)*

İTK yönteminin doğruluğunu araştırmak için, spektrofotometrik yöntemlerle aynı yol izlenmiş ve matriks çözeltisinin hazırlanması için, aynı yardımcı maddeler kullanılmıştır. Kalibrasyon eğrisinin verilen aralığında bulunan üç farklı derişimdeki standart BUP çözeltisi (600, 800 ve 1000 ng.spot<sup>-1</sup>) matriks çözeltisine eklenerek karıştırılmış ve İTK yöntemi kullanılarak her bir set için 5 uygulama yapılmak suretiyle optimum koşullarda ölçülmüştür. BUP içeriğine karşılık gelen pik alanı değerleri kalibrasyon eşitliğinde çözülerek; yüzde geri kazanım, doğruluk ve tekrar edilebilirlik hesaplanmıştır.

### *Özgünlük (Specificity)*

Yöntem özgünlüğü, standart BUP ve tablet numunesi analiz edilerek değerlendirilmiştir. Numunenin spektrumu ile standart maddenin spektrumu pik başlangıç noktası, tepe noktası ve bitiş noktası olmak üzere üç ayrı noktada karşılaştırılmış ve aralarındaki ilişki korelasyon değeri ile ifade edilmiştir.

### *Sağlamlık (Robustness)*

Yöntem sağlamlığı için; hareketli faz bileşimi, glasiyel asetik asit miktarı, hareketli faz hacmi ve tankın doygunluk süresinde küçük değişiklikler yapılarak, sonuçlar incelenmiştir. Değişik bileşimlerde etanol-kloroform-glasiyel asetik asitten oluşan hareketli fazlar (31:9:1 ve 29:11:1, h/h/h) denenmiş ve kromatogramlar elde edilmiştir. Ayrıca, hareketli faz içerisindeki glasiyel asetik asit miktarı, hareketli faz hacmi ve tankın doygunluk süresi sırasıyla  $1.0 \pm 0.5$  mL (0.5, 1 ve 1.5 mL),  $20 \pm 2$  mL (18, 20 ve 22 mL) ve  $30 \pm 10$  dakika (20, 30 ve 40 dakika) olarak değiştirilmiştir. Yöntem sağlamlığı için 1000 ng.spot<sup>-1</sup>lik derişimlerde her parametre için üç ayrı uygulama yapılmış ve pik alanlarının % BSS ve SH değerleri hesaplanmıştır.

### *Tutarlılık (Ruggedness)*

1000 ng.spot<sup>-1</sup>lik derişimde BUP çözeltisi hazırlanmış, 0. gün ve 6, 12, 24, 48 ve 72 saat sonra olmak üzere değişik zamanlarda analiz edilmiştir. Her zaman dilimi için üç uygulama yapılmış ve yöntem tutarlığını değerlendirmek amacıyla pik alanlarının % BSS değerleri hesaplanmıştır.

### **BUP için hızlandırılmış kararlılık testi**

BUP metanol içerisinde çözülerek, 1 mg.mL<sup>-1</sup>lik bir stok çözelti hazırlanmış ve bu çözelti hızlandırılmış kararlılık testleri için kullanılmıştır. Bu çözelti; asit, baz, hidrojen peroksit, kuru ve nemli ısı, fotokimyasal ve UV (254 nm) ışık ile muamele edilmiş, elde edilen sonuçlar bozunma ürünlerinin R<sub>f</sub> değerleri, BUP için yüzde geri kazanım ve % BSS değerleri yönünden değerlendirilmiştir.

### *Asit ve baz etkisi*

2.5 mL stok çözelti üzerine 2.5 mL 1N HCl ve 1N NaOH'den ayrı ayrı eklenmiş ve bu karışımalar 70°C sıcaklıkta 30 dakika bekletilmiştir. Diğer yandan asit ve baz etkisini kaldırmak ve numunenin polaritesini azaltmak için bu prosedüre bir nötralizasyon basamağı eklenmiştir. 2.5 mL stok çözelti üzerine 2.5 mL 1N HCl ve 1N NaOH'den eklenip, bu karışımalar 70°C sıcaklıkta 30 dakika bekletildikten sonra çözeltiler pH 7'ye 1N HCl ve 1N NaOH yardımıyla getirilmiştir. Asit ve bazla muamele, ışık etkisini ortadan kaldırabilmek için karanlık ortamda gerçekleştirilmiş ve İTK plakları üzerine bu nötral ve nötral olmayan çözeltilerden 2 µL uygulanarak (1000 ng.spot<sup>-1</sup>), hareketli faz yardımıyla yürütülmüş ve densitometrik tarama yapılarak, sonuçlar elde edilmiştir.

### *Hidrojen peroksit etkisi*

2.5 mL stok çözelti üzerine 2.5 mL % 30'luk hidrojen peroksit çözeltisi eklenmiş ve bu çözelti (500 µg.mL<sup>-1</sup> BUP) hidrojen peroksit fazmasını uzaklaştırmak için 10 dakika süreyle kaynar su banyosunda bekletilmiştir. Aynı çözelti daha sonra, 80°C sıcaklıkta 1 saat 15 dakika süreyle bekletilerek, İTK plakları üzerine 2 µL

hacimlerde ( $1000 \text{ ng.spot}^{-1}$ ) uygulanmıştır. Deneyler, asit ve bazla muamele deneylerinde olduğu gibi, ışık etkisini ortadan kaldırabilmek için karanlık ortamda gerçekleştirılmıştır.

#### *Kuru ve nemli ısı etkisi*

Toz madde  $100^\circ\text{C}$ 'lik etüvde 2 saat bekletilmiş ve kuru ısiya maruz bırakılmış BUP'un metanoldeki stok çözeltisi hazırlanmış ve  $\frac{1}{2}$  oranında seyreltilerek,  $500 \mu\text{g.mL}^{-1}$ 'lik çözelti elde edilmiştir. Bu çözeltilerden, İTK plakları üzerine  $2 \mu\text{L}$  hacimlerde uygulanarak ( $1000 \text{ ng.spot}^{-1}$ ) hareketli faz yardımıyla yürütülmüştür.

Nemli ısı etkisi için ise,  $500 \mu\text{g.mL}^{-1}$ 'lik BUP çözeltisi 1 saat süreyle kaynar su banyosunda bekletilmiş ve  $2 \mu\text{L}$  hacimlerde ( $1000 \text{ ng.spot}^{-1}$ ) İTK plakları üzerine uygulanmıştır.

#### *Fotokimyasal ve UV ışık etkisi*

İlacın fotokimyasal kararlılığını araştırmak için, stok çözeltiden hazırlanan  $500 \mu\text{g.mL}^{-1}$ 'lik BUP çözeltisi 3 gün süreyle ( $9:00$ 'dan  $17:00$ 'a kadar, toplam 24 saat) doğrudan güneş ışığına maruz bırakılmış, UV etkisini araştırmak için ise, BUP çözeltisi UV lamba altında ( $254 \text{ nm}$ ) 8 saat bekletilmiştir. Her iki çözelti de  $2 \mu\text{L}$  hacimlerde ( $1000 \text{ ng.spot}^{-1}$ ) İTK plakları üzerine uygulanmış ve ortalama pik alanları hesaplanmıştır.

Tüm kararlılık çalışmalarında, her uygulama sonrası ( $1000 \text{ ng.spot}^{-1}$ ) ortalama BUP pik alanı beş tekrar sonrası belirlenmiştir.

#### **BUP farmasötik dozaj şeklinin kararlılığının araştırılması**

BUP farmasötik dozaj şeklinin kararlılığının araştırılması amacıyla tablet analizleri bir de son kullanma tarihi geçmiş Wellbutrin SR® tabletlerle ( $150 \text{ mg BUP}$ , LOT: 1J1889, SKT: 05/2003) gerçekleştirilmiş ve sonuçlar BUP içeriği ve olası bozunma olaylarına karşı değerlendirilmiştir.

#### *İlgili safsızlıkların saptanması*

İlgili safsızlıkları saptayabilmek için, yüksek derişimde BUP uygulaması yapılmıştır.  $1 \text{ mg.mL}^{-1}$ 'lik BUP çözeltisi hazırlanarak, bu çözelti numune çözeltisi olarak adlandırılmış ve numune çözeltisi  $1/10$  oranında seyreltilerek standart çözelti oluşturulmuştur. Numune çözeltisinden  $5 \mu\text{L}$  ( $5000 \text{ ng.spot}^{-1}$ ), standart çözeltiden de  $1 \mu\text{L}$  ( $500 \text{ ng.spot}^{-1}$ ) hacimde olacak şekilde İTK plağına 5'er kez uygulanmış, elde edilen pik alanları istatistiksel olarak değerlendirilmiştir.

#### *Tablet numune çözeltilerinin hazırlanması*

Tablet numunelerinin hazırlanması için,  $150 \text{ mg BUP}$  içeren 10 adet Zyban® tablet ağırlığı tam olarak tartıldıktan sonra tabletler havanda toz edilmiş ve ağızı sıkı kapanan ve ışık geçirmeyen bir kaba konulmuştur. Bir tabletin ortalama ağırlığı hesaplanıp, bu ağırlığa karşılık gelen miktar üzerinden tartım alınarak metanol ile çözülmüş ve ağızı kapalı bir kapta 30 dakika sonike edildikten sonra 5000 devir/dakika da santrifüj edilerek  $1 \text{ mg.mL}^{-1}$ 'lik stok çözelti hazırlanmıştır. Daha sonra, standart çözeltilerde olduğu gibi metanol ile  $1/10$  oranında seyreltilerek,  $100 \mu\text{g.mL}^{-1}$ 'lik numuneler elde edilmiştir. Numuneler, plaklara  $10 \mu\text{L}$ 'lik hacimlerde uygulanmış, yürütme ve densitometrik tarama işlemlerinden sonra

elde edilen pik alanları, karşılık geldikleri derişimi belirlemek için kalibrasyon eşitliğinde çözüлerek tablet içerikleri hesaplanmıştır.

## BUP'un İTK Yöntemi ile Plazmada Miktar Tayini

### *Deneysel koşullar*

BUP'un farmasötik tabletlerindeki miktar tayini için kullanılan deneysel şartlar kullanılmıştır. Boş plazma örnekleri, Anadolu Üniversitesi Hastanesi Laboratuvarı'ndan temin edilmiş ve analiz edilene kadar -20°C'de muhafaza edilmiştir.

### *Örnek hazırlama*

Plazma ile çalışılırken, girişim yapan maddelerin uzaklaştırılması için öncelikle plazma proteinlerinin çöktürülmesi gerekmektedir. Bu amaçla, metanol gibi organik bir çöktürücü ile TCA (% 10) ve HClO<sub>4</sub> gibi asitler denenmiştir. BUP çözeltisi katılmış olan plazma örneklerine, çöktürücü ajanlardan uygun oranlarda katıldıktan sonra, karışım 1 dakika süreyle vorteks yardımıyla karıştırılmış ve 10 dakika süreyle 5000 devir/dakika'da santrifüj edilmiştir. Oluşan çökelti uzaklaştırıldıktan sonra, üstteki berrak kısımdan alınan çözelti vakum altında buharlaştırılmıştır. Bu işlemin çok uzun sürmesi ve BUP'un plazma içerisinde yalnız asidik pH'da kararlı olup, diğer pH'larda ısiya duyarlı olduğunun bilinmesi nedeniyle, çözücünün uçurulması amacıyla liyofilizasyon işlemi tercih edilmiştir (Laizure ve Devane, 1985). Liyofilizasyon işleminde, çözücünün donmuş olması gerektiğinden, proteinlerin çöktürülmesi amacıyla metanol kullanılamamış, en uygun sonuçlar, TCA (% 10, a/h) ile elde edilmiştir (Wells, 2003). Böylece BUP'un plazma içerisindeki kararlılığı da sağlanmıştır.

### *İTK yönteminin plazmadaki validasyonu*

İTK yönteminin plazmadaki validasyonu için doğrusallık, kesinlik, geri kazanım ve duyarlılık (saptama sınırı ve tayin alt sınırı) çalışmaları yapılmıştır (Shah ve ark., 2000).

### *Doğrusallık (Linearity)*

Öncelikle, BUP'un ultra saf su içerisinde 1 mg.mL<sup>-1</sup>'lik stok çözeltisi hazırlanmıştır. Daha sonra, 300 µL plazma örneğine bu stok çözeltiden 30 µL katılarak, plazma proteinleri 170 µL TCA (% 10, a/h) ile çöktürülmüştür. Alınan 250 µL'lik süzüntü liyofilizasyon işleminden sonra 250 µL metanol içerisinde çözüлerek, 60 µg.mL<sup>-1</sup>'lik BUP çözeltisi elde edilmiştir. İTK plaklarına bu çözeltiden 2-10 µL arasında değişik hacimlerde uygulanarak, 120-600 ng.spot<sup>-1</sup> derişim aralığındaki kalibrasyon seti belirlenmiş ve analizler gerçekleştirilmiştir.

### *Kesinlik ve geri kazanım oranı (Precision and Recovery)*

Plazmadan mutlak geri kazanım oranı, kalibrasyon doğrusunu kapsayan derişim aralığında 3 farklı derişimdeki (360, 480 ve 600 ng.spot<sup>-1</sup>) standart BUP katılmış plazma örneklerinin 3 farklı günde, her biri için beşer kez olacak şekilde analiz edilmesiyle belirlenmiştir. TCA (% 10, a/h) ile proteinlerin çöktürülmesi, liyofilizasyon ve kromatografi işlemlerinden sonra pik alanları, aynı şekilde hazırlanan aynı derişimdeki BUP'un sudaki çözeltileri için elde edilen pik alanları ile kıyaslanmıştır.

Yöntemin kesinliğinin incelenmesi amacıyla, aynı şekilde hazırlanmış olan 360, 480 ve 600 ng.spot<sup>1</sup>'lik derişimlerde BUP katılmış plazma örnekleri kullanılmıştır. Analizler gün içerisinde 5 kez tekrarlanmış ve günler arası tekrar edilebilirlik aynı plazma örnekleri ile 3 farklı günde çalışılarak belirlenmiştir.

#### *Saptama sınırı ve tayin alt sınırı (LOD and LOQ)*

BUP'un plazmada İTK yöntemiyle saptama sınırı ve tayin alt sınırı değerlerinin belirlenmesi amacıyla, [kalibrasyon denkleminin kesim değerlerinin standart sapması/kalibrasyon denkleminin eğimi] oranı hesaplanmış ve bu oran, sırasıyla 3.3 ve 10 ile çarpılarak, yöntemin LOD ve LOQ değerleri hesaplanmıştır.

### **BUP'un YPSK Yöntemi ile Farmasötik Tabletlereinde Miktar Tayini**

#### ***YPSK yöntemi ile ilgili deneysel koşullar***

BUP ve CBZ (IS)'nin kromatografik ayrimı, C<sub>8</sub> kolon üzerinde ve 10 mM 1-heptansülfonik asit (1-HSA) içeren metanol/asetonitril/fosfat tamponundan (20 mM, pH 3.0) (40:10:50, h/h/h) oluşan hareketli faz kullanılarak yapılmıştır. 1.0 mL.dk<sup>-1</sup>'lik akış hızında çalışılmış ve diyon dizisi detektörü kullanılarak 254 nm'de saptama yapılmıştır. CBZ, metanol içinde çözülerek hazırlanmış ve analizlerin tümünde 8.38x10<sup>-6</sup> M'lik derişimde kullanılmıştır.

Geliştirilmiş olan YPSK yönteminin sistem uygunluğu, LC10A veritabanı kullanılarak değerlendirilmiştir. Enjeksiyon tekrar edilebilirliği, aynı çözeltiyi (7.16x10<sup>-6</sup> M) sekiz defa enjekte ederek, % BSS'nın hesaplanması yoluyla belirlenmiştir. Sistem uygunluk testleri, BUP piki için kapasite faktörü, ayırım (resolution), kuyruklanma faktörü, teorik tabaka sayısı, alikonma zamanı ve enjeksiyon tekrar edilebilirliğinin % BSS'si gibi parametreleri içermektedir.

#### ***YPSK yönteminin validasyonu***

YPSK yönteminin validasyonu için kesinlik, doğrusallık, duyarlılık (saptama sınırı ve tayin alt sınırı), doğruluk, özgünlük, sağlamlık ve tutarlılık çalışmaları yapılmıştır (ICH Q2(R1), 2005).

#### ***Kesinlik (Precision)***

Ultra saf su içerisinde ve 3.58x10<sup>-5</sup> M ve 3.58x10<sup>-6</sup> M derişimlerde iki ayrı BUP stok çözeltisi hazırlanmıştır. Bu çözeltilerden gerekli seyreltmeler yapılarak BUP'un 1.79x10<sup>-6</sup>, 5.37x10<sup>-6</sup> ve 8.95x10<sup>-6</sup> M derişimlerde çözeltileri hazırlanmış ve gün içi ve günler arası tekrar edilebilirlikler araştırılmıştır. Verilen derişimlerde elde edilen alan oranları, yöntemin kesinliğinin gösterilmesi için istatistiksel olarak değerlendirilmiştir.

#### ***Doğrusallık (Linearity)***

Yöntem doğrusallığını incelemek amacıyla, 3.58x10<sup>-5</sup> M ve 3.58x10<sup>-6</sup> M derişimlerdeki BUP stok çözeltilerinden 50-300 µL arasında yedi ayrı hacimde alınarak, 4.48x10<sup>-7</sup>-1.78x10<sup>-5</sup> M derişim aralığındaki kalibrasyon doğrusu oluşturulmuştur. Birbirini takip eden 3 günde BUP çözeltilerinin pik sinyalleri kaydedilerek, artan BUP derişimleri ile karşılık gelen pik alan orANI (BUP pik alanı/ IS pik alanı) değerleri istatistiksel olarak değerlendirilmiştir.

### *Saptama sınırı ve tayin alt sınırı (LOD and LOQ)*

BUP'un YPSK yöntemiyle LOD ve LOQ değerlerinin belirlenmesi amacıyla, spektrofotometrik yöntemler ve İTK yöntemi ile aynı yol izlenmiştir.

### *Doğruluk (Accuracy)*

Yöntemin doğruluğunu araştırmak için, spektrofotometrik yöntemler ve İTK yöntemi ile benzer yol izlenmiştir. Kalibrasyon eğrisinin verilen aralığında bulunan üç farklı derişimdeki standart BUP çözeltisi ( $1.79 \times 10^{-6}$ ,  $5.37 \times 10^{-6}$  ve  $8.95 \times 10^{-6}$  M) matriks çözeltisine eklenecek kariştirılmış ve YPSK yöntemi kullanılarak her bir set için 7 uygulama yapılmak suretiyle optimum koşullarda ölçülmüştür. BUP içeriğine karşılık gelen alan oranı değerleri kalibrasyon eşitliğinde çözülerek, yüzde geri kazanım, doğruluk ve tekrar edilebilirlik değerleri hesaplanmıştır.

### *Özgünlük (Specificity)*

Yöntem özgünlüğünü incelemek amacıyla, standart BUP çözeltileri ( $3.58 \times 10^{-5}$  M) ayrı ayrı 0.1 N HCl, 0.1 N NaOH ve % 3'lük H<sub>2</sub>O<sub>2</sub> içerisinde hazırlanmış ve bu çözeltiler hem oda sıcaklığında hem de 60°C sıcaklıkta muamele edilmiştir. Daha sonra 15, 30, 45, 60, 90 ve 120 dakika gibi değişik zamanlarda numune alınarak, IS eklendi ve son derişimi  $8.95 \times 10^{-6}$  M olacak şekilde seyreltilmekten sonra, analiz edilmiştir.

### *Sağlamlık (Robustness)*

$5.37 \times 10^{-6}$  M derişimde ve üçlü uygulamalarla; pH (2.9 ve 3.1), akış hızı (0.9 ve 1.1 mL.d<sup>-1</sup>), fosfat derişimi (18 ve 22 mM), 1-HSA derişimi (8 ve 12 mM) ve dalga boyu (252 ve 256 nm) olmak üzere önemli parametrelerdeki küçük değişiklikler sonucunda pik alan oranlarının % BSS ve SH değerleri hesaplanmıştır.

### *Tutarlılık (Ruggedness)*

Yöntem tutarlığını, geliştirilen metodun  $5.37 \times 10^{-6}$  M'lık BUP derişiminde, aynı cihaz ile farklı analizciler tarafından farklı günlerde uygulanması ile gösterilmiştir.

### *Tablet numune çözeltilerinin hazırlanması*

Zyban® tablet numunelerinin hazırlanması için, İTK yönteminde belirtilen yol izlenmiştir. Daha sonra, standart çözeltilerde olduğu gibi ultra saf su ile seyreltilerek, kalibrasyon eğrisinin orta noktasına karşılık gelen derişimde ( $5.37 \times 10^{-6}$  M) numuneler elde edilmiştir. Tablet numuneleri söz edilen optimum koşullarda analiz edilmiş, sonuçlar istatistiksel olarak değerlendirilmiştir.

## **BUP ve HBUP'un YPSK Yöntemi ile Plazmada Miktar Tayini**

### *Deneysel koşullar*

BUP'un farmasötik tabletlerindeki miktar tayini sırasında kullanılmış olan YPSK cihazı ve analitik kolon ile deneysel gerçekleştirilmiştir. Deneysel şartlar, BUP ve HBUP'un ayrimına izin verecek şekilde değiştirilerek, metanol-asetonitril-fosfat tamponu (10 mM, pH=3) (40:10:50, h/h/h) ve 20 mM 1-HSA içeren hareketli faz ile 1 mL.d<sup>-1</sup> akış hızında, 254 ve 214 nm dalga boyları kullanılarak analizler

yapılmış ve bu koşullarda IS olarak tablet analizinde olduğu gibi CBZ ( $8.38 \times 10^{-6}$  M) kullanılmıştır.

### **Örnek hazırlama**

Plazma örnekleri hazırlanırken, İTK yönteminde belirtildiği gibi TCA (% 10, a/h) ile plazma proteinlerinin çöktürülmesi, bu proteinler uzaklaştırıldıktan sonra liyofilizasyon işlemi ile çözüçünün uçurulması yani numunenin deriştirilmesi işlemi uygulanmıştır. Literatürde en iyi sonucun, 1:0.6 oranında plazma ve TCA ile elde edildiği fakat protein çöktürme işlemi için 1:0.2 oranında TCA'nın yeterli olduğu belirtildiği için, 650  $\mu\text{L}$  plazma üzerine 300  $\mu\text{L}$  TCA ve toplam hacmi 50  $\mu\text{L}$  olacak şekilde BUP ve HBUP çözeltisi eklenerek, karışım 1 dakika süreyle vorteks yardımıyla karıştırılmış ve 10 dakika süreyle 5000 devir/dakika'da santrifüj edilmiştir (Wells, 2003). Oluşan çökelti uzaklaştırıldıktan sonra, liyofilizasyon işlemi uygulanmış ve içerik 60  $\mu\text{L}$  CBZ (IS) çözeltisi ve 240  $\mu\text{L}$  metanol içerisinde çözünlere sisteme enekte edilmiştir.

### **YPSK yönteminin plazmadaki validasyonu**

YPSK yönteminin plazmadaki validasyonu için doğrusallık, kesinlik, geri kazanım ve duyarlılık (saptama sınırı ve tayin alt sınırı) çalışmaları yapılmıştır (Shah ve ark., 2000).

#### *Doğrusallık (Linearity)*

Yöntem doğrusallığını incelemek amacıyla,  $5.38 \times 10^{-4}$  M ve  $5.38 \times 10^{-5}$  M derişimlerde iki ayrı BUP stok çözeltisi, aynı zamanda  $1.22 \times 10^{-3}$  M ve  $1.22 \times 10^{-4}$  M derişimlerde HBUP stok çözeltileri kullanılmıştır. Çözeltilerin hepsi ultra saf su içerisinde hazırlanmıştır. Bu çözeltilerden BUP ve HBUP'un toplam hacmi 50  $\mu\text{L}$  olmak üzere, çeşitli derişimlere karşılık gelecek şekilde farklı hacimlerde 650  $\mu\text{L}$  plazmaya eklenmiş ve 300  $\mu\text{L}$  TCA ile plazma proteinleri çöktürülmüştür. Süzüntüden 500  $\mu\text{L}$  alınarak, dondurulmuş, liyofilize edilmiş ve liyofilizasyondan sonra 60  $\mu\text{L}$ 'si IS çözeltisi olacak şekilde, 300  $\mu\text{L}$  metanolde çözünlere sisteme enekte edilmiştir. Böylece BUP için  $8.97 \times 10^{-7}$ - $1.79 \times 10^{-5}$  M derişim aralığında, HBUP için ise,  $2.03 \times 10^{-6}$ - $5.49 \times 10^{-5}$  M derişim aralığında kalibrasyon doğrusu oluşturulmuştur. Aynı işlem bir kez de plazma yerine ultra saf su kullanılarak tekrarlanmış ve standart BUP ve HBUP'un doğrusallıkları araştırılmıştır.

Birbirini takip eden 3 günde, plazmaya eklenmiş olan BUP ve HBUP çözeltilerinin pik sinyalleri kaydedilerek, artan derişimler ile karşılık gelen pik alan oranları değerleri istatistiksel olarak değerlendirilmiştir.

#### *Kesinlik ve geri kazanım oranı (Precision and Recovery)*

Yöntem kesinliğinin incelenmesi amacıyla, plazmaya aynı anda eklenen BUP'un  $1.43 \times 10^{-6}$ ,  $3.59 \times 10^{-6}$  ve  $1.79 \times 10^{-5}$  M derişimlerde, HBUP'un ise  $2.03 \times 10^{-6}$ ,  $4.88 \times 10^{-6}$  ve  $6.10 \times 10^{-5}$  M derişimlerde gün içi ve günler arası tekrar edilebilirlikleri araştırılmış ve elde edilen alan oranları, yöntemin kesinliğinin gösterilmesi için istatistiksel olarak değerlendirilmiştir.

#### *Saptama sınırı ve tayin alt sınırı (LOD and LOQ)*

Bu amaçla, BUP'un YPSK yöntemiyle farmasötik tabletlerindeki tayini için kullanılan yöntem kullanılmıştır.

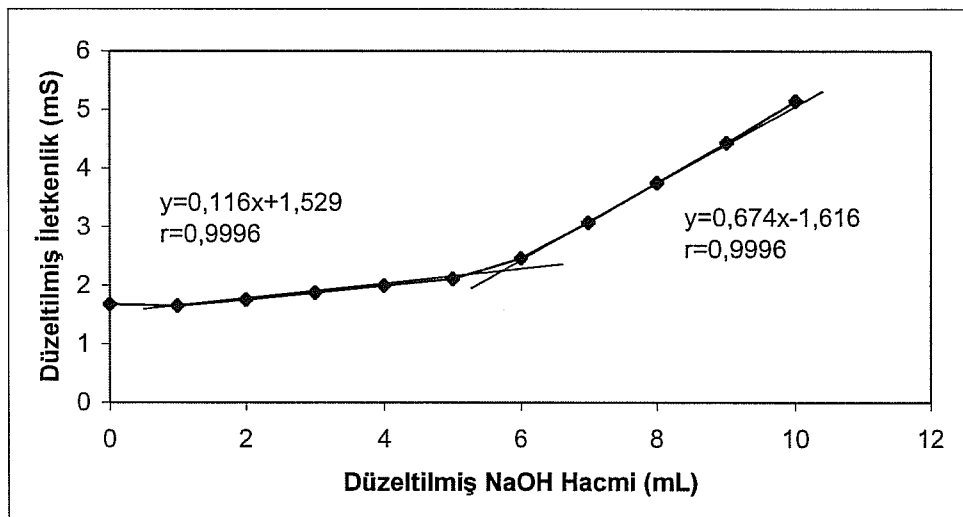


## BULGULAR ve TARTIŞMA

BUP'un Potansiyometrik ve Kondüktometrik Titrasyon Yöntemleri ile Farmasötik Tabletlerinde Miktar Tayini

### Kondüktometrik titrasyon yönteminin farmasötik tabletlerdeki uygulaması

Düzeltilmiş NaOH hacmine karşı, düzeltilmiş iletkenlik değerlerinin grafiğe geçirilmesiyle, oldukça yüksek korelasyon katsayısına sahip doğru denklemleri ve buradan elde edilen doğru denklemlerinin eşitlenmesiyle birbirine çok yakın düzüm noktaları elde edilmiştir ( $n=6$ ) (Şekil 3).



Şekil 3. BUP Tablet Numunesinin (150 mg) 0.1000 N NaOH ile Kondüktometrik Titrasyon Grafiği

Düzüm noktaları eşitlikte yerine konularak tablet içeriği hesaplanmış ve elde edilen düzüm noktaları ile birlikte Çizelge 3'de gösterilmiştir.

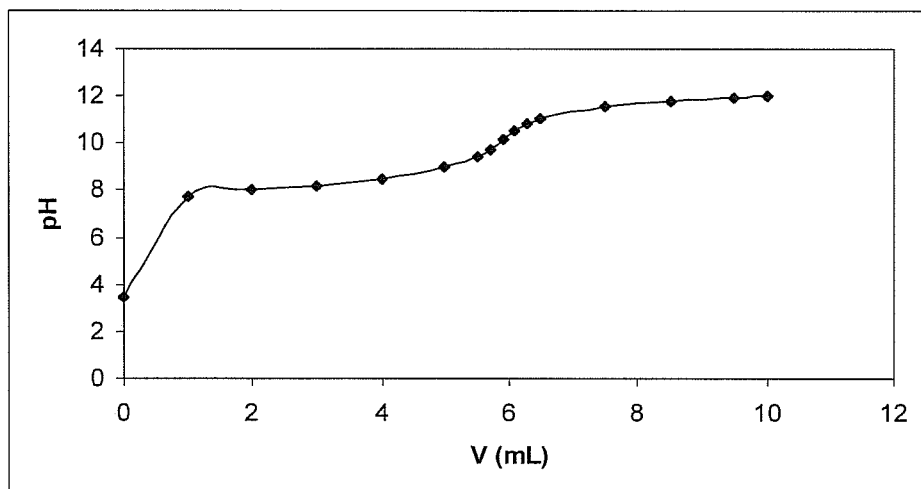
Çizelge 3. Kondüktometrik Titrasyon ile Elde Edilen Dönum Noktaları ve BUP'un Farmasötik Tabletlerindeki Miktar Tayini Sonuçları

Dönum Noktaları (mL)	Tablet İçeriği
Ortalama (n=6)	160.2
SS	2.70
% BSS	1.69

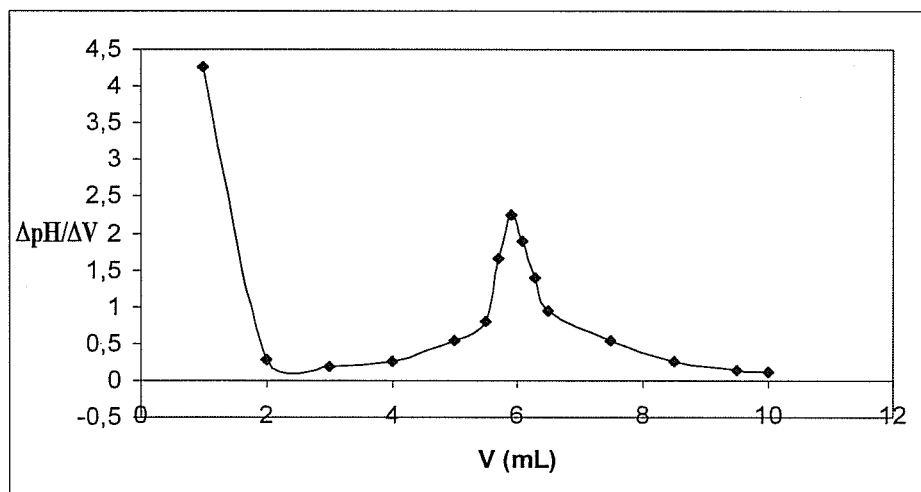
Deneyler, seçiciliği göstermek amacıyla tablet matriksi ile tekrarlanıp, düzeltilmiş iletkenlik değerleri düzeltilmiş NaOH hacmine karşı grafiğe geçirildiğinde, beklenildiği şekilde sadece eklenen NaOH'den kaynaklanan iletkenlik artışı ve tek bir doğru grafiği elde edilmiştir. Böylece, iletkenliğe tablet yardımcı maddelerinin katkısının olmadığına ve BUP'un seçici olarak titre edildiğine karar verilmiştir.

### **Potansiyometrik titrasyon yönteminin farmasötik tabletlerdeki uygulaması**

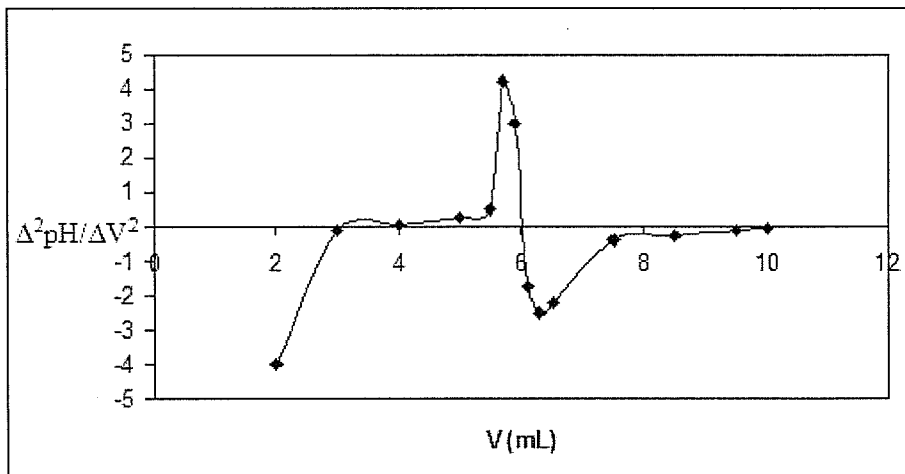
Eklenen NaOH hacmine karşı, pH değerleri grafiğe geçirildiğinde S eğrisi elde edilmektedir. Daha sonra pH değerlerinin I. ve II. türevleri hesaplanarak, eklenen NaOH hacmine karşı grafiğe geçirilmiş ve dönüm noktaları bulunmuştur. Grafikler, **Şekil 4-6'da** verilmiştir. Grafiklerdeki V (mL), düzeltilmiş hacim değerlerini göstermektedir.



**Şekil 4. BUP Tablet Numunesinin (150 mg) 0.1000 N NaOH ile Potansiyometrik Titrasyon Eğrisi**



**Şekil 5. BUP Tablet Numunesinin (150 mg) 0.1000 N NaOH ile Potansiyometrik Titrasyonunda I. Türev Eğrisi**



**Şekil 6. BUP Tablet Numunesinin (150 mg) 0.1000 N NaOH ile Potansiyometrik Titrasyonunda II. Türev Eğrisi**

Dönüm noktaları eşitlikte yerine konularak tablet içeriği hesaplanmış ve elde edilen dönüm noktaları ile birlikte **Çizelge 4**'de gösterilmiştir.

**Çizelge 4. Potansiyometrik Titrasyon ile Elde Edilen Dönüm Noktaları ve BUP'un Farmasötik Tabletlerindeki Miktar Tayini Sonuçları**

	Dönüm Noktaları (mL)	Tablet İceriği
Ortalama (n=5)	6.00	164.9
SS	0.07	1.39
% BSS	1.18	0.84

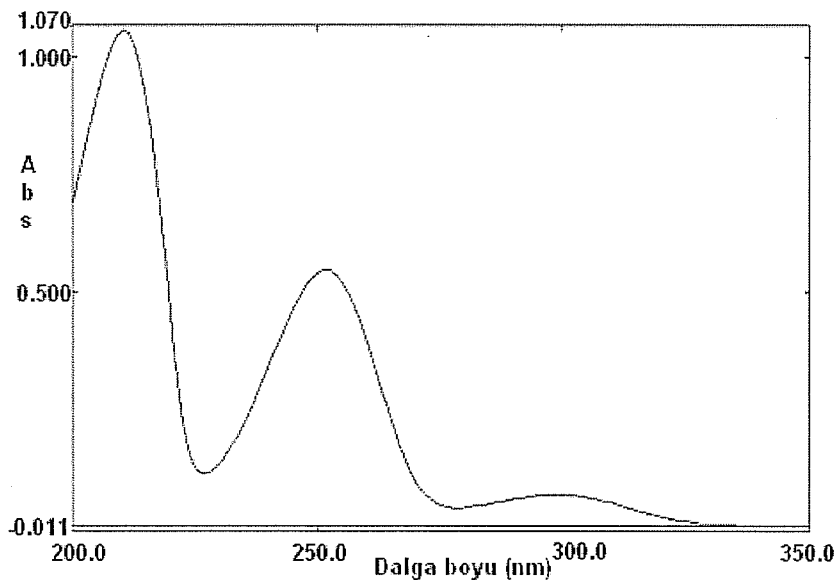
USP 29, (2006)'da birim etkin madde içeriği için sağlanması gereklili bulunan koşullar bildirilmektedir. Farmakopeye göre, 10 adet tablet ölçümü yapılmasının ardından etkin madde içeriğinin % 90-110 aralığında bulunması gereklidir. Potansiyometrik ve kondüktometrik yöntemlerle yapılan ölçümlerde, Wellbutrin® tablet içeriği farmakopenin gerektirdiği aralıkta bulunmuştur.

Tablet matriksi ile yapılan potansiyometrik titrasyon değerlendirildiğinde **Şekil 4**'deki gibi bir eğri elde edilememiştir; NaOH ilavelerine karşılık okunan pH değerleri önce hafif bir artış göstermiş, daha sonra sabit kalmıştır. Sonuç olarak, tablet yardımcı maddelerinin yapılan potansiyometrik titrasyonu etkilemediği söylenebilir.

#### **BUP'un UV-Spektrofotometri ve İkinci Türev Spektrofotometri Yöntemleri ile Farmasötik Tabletlerinde Miktar Tayini**

##### ***Spektroskopik yöntemlerin optimizasyonu***

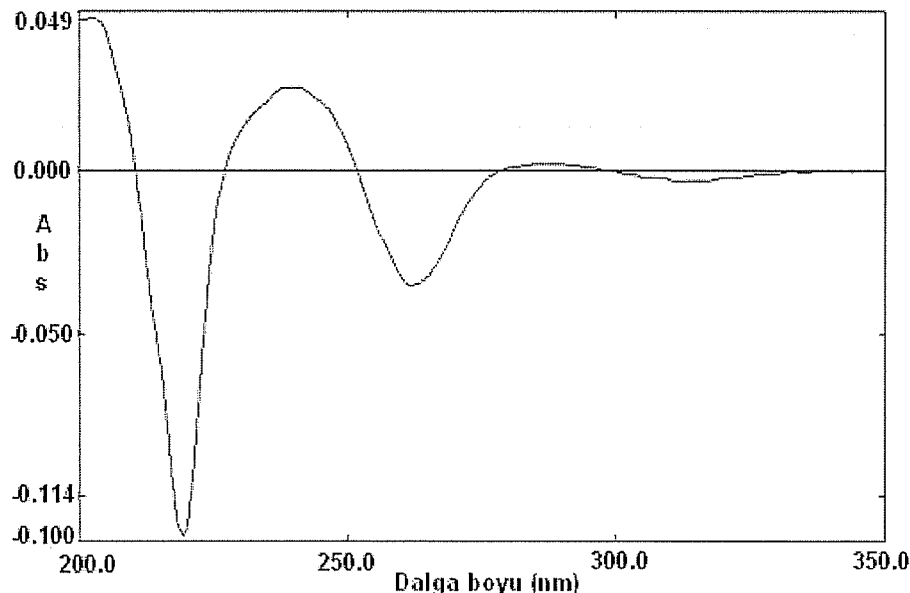
Öncelikle UV alandaki çalışma dalga boyunu belirlemek için,  $5 \times 10^{-5}$  M BUP çözeltisinin 200-350 nm dalga boyu aralığında UV spektrumu kaydedilmiştir. BUP'un 200-350 nm dalga boyu aralığında, % 2 metanol (h/h) içeren çözücü ortamındaki absorbans spektrumu **Şekil 7**'de verilmektedir.



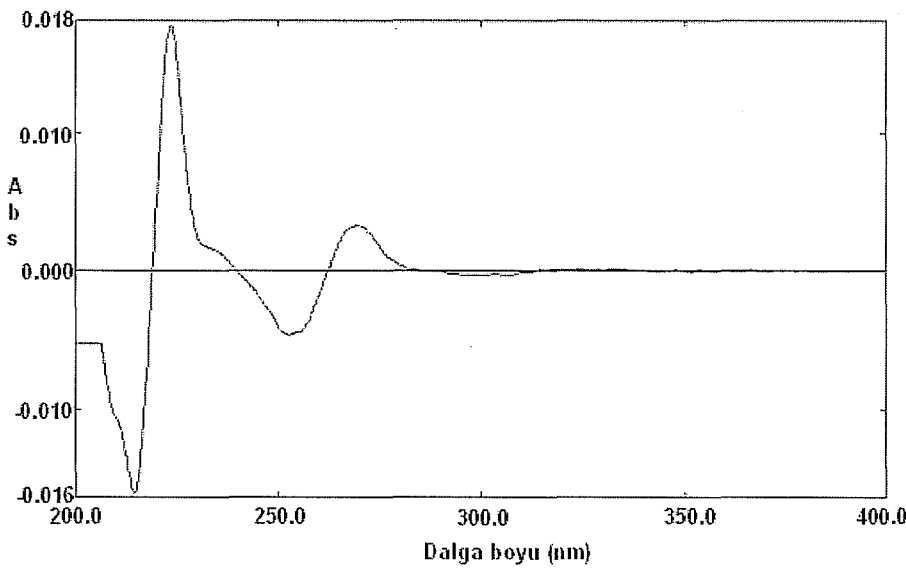
**Şekil 7.** % 2 Metanol İçerisindeki Standart BUP ( $5 \times 10^{-5}$  M) Çözeltisinin 200-350 nm Aralığındaki UV-Spektrumu

Şekil 7'de görüldüğü gibi, 200-350 nm dalga boyu aralığında BUP'un en yüksek absorbans verdiği dalga boyları, 210 ve 252 nm olarak gözlenmiş ve olası girişimlerden kaçınmak için UV alandaki dalga boyu değeri olarak 252 nm seçilmiştir.

Türev spektrofotometri yöntemi ise, alınan UV spektrumundan hareketle 1 nm yarık genişliği ve 2 nm türev aralığında ( $\Delta\lambda$ ) maddenin I. ve II. türev spektrumları kaydedilmiştir. BUP'un 200-350 nm dalga boyu aralığında, % 2 metanol (h/h) içeren çözücü ortamındaki I. ve II. türev spektrumları Şekil 8 ve 9'da verilmektedir.



**Şekil 8.** % 2 Metanol İçerisindeki Standart BUP ( $5 \times 10^{-5}$  M) Çözeltisinin 200-350 nm Aralığındaki I. Türev Spektrumu



**Şekil 9. % 2 Metanol İçerisindeki Standart BUP ( $5 \times 10^{-5}$  M) Çözeltilisinin 200-400 nm Aralığındaki II. Türev Spektrumu**

Şekil 8'de görüldüğü gibi, 200-350 nm dalga boyu aralığındaki I. türev spektrumunda 219.2, 239.8 ve 262.4 nm dalga boyalarında sırasıyla -0.112, 0.026, ve -0.035 absorbans değerleri kaydedilmiştir. Bu absorbans değerleri kullanılabilecek nitelikte olmasına karşın, II. türev spektrumunun daha keskin pikler vermesi nedeniyle ve literatürdeki bir çalışmadan yola çıkarak, "pikten pike" metodu için BUP'un II. türev spektrumu dikkate alınmıştır (Tatar ve Sağlık, 2002). BUP'un II. türev spektrumunda en düşük ve en yüksek absorbans verdiği dalga boyları 217.4 ve 221.8 nm'de gözlenmiş ve bu dalga boylarındaki iki pik arası uzaklık ölçülerek değerlendirilmeler yapılmıştır.

### *Spektroskopik yöntemlerin validasyonu*

#### *Kesinlik (Precision)*

UV-spektrofotometri yöntemi için,  $4.14 \times 10^{-5}$  M'lık derişimde gün içi ve günler arası kesinlik değerleri sırasıyla 0.80 ve 0.22 dir. II. türev spektrofotometri yöntemi ise yine aynı derişimde 1.91 ve 5.53 değerleri elde edilmiştir. II. türev spektrofotometri yönteminin günler arası kesinlik değeri yüksek olmakla birlikte diğer sonuçlar, geliştirilen spektrofotometrik yöntemlerle yüksek düzeyde tekrar edilebilirlik elde edildiğini göstermektedir.

#### *Doğrusallık (Linearity)*

BUP'un  $2.07 \times 10^{-5}$ - $7.25 \times 10^{-5}$  M derişim aralığındaki beş ayrı çözeltisinin iki ayrı spektrofotometrik yöntemle analiz sonuçları ve bu yöntemler için yapılan karşılaştırılmış istatistiksel değerlendirmeler, **Cizelge 5**'de verilmektedir.

**Çizelge 5.  $2.07 \times 10^{-5}$ - $7.25 \times 10^{-5}$  M Derişim Aralığındaki BUP'un İki Farklı Spektrofotometrik Yöntemle Doğrusallık Sonuçları**

Parametreler	UV-Spektrofotometri (gün=3, n=5)	II. Türev Spektrofotometri (gün=3, n=5)
Eğim, a	10980	838.2
Kesim, b	-0.045	-0.005
Korelasyon Katsayısı, r	0.9993	0.9993
Eğimin Standart Hatası	85.92	6.62
Kesimin Standart Hatası	0.004	0.0003
LOD (M)	$2.73 \times 10^{-6}$	$8.20 \times 10^{-7}$
LOQ (M)	$8.26 \times 10^{-6}$	$2.48 \times 10^{-6}$

Çizelge 5'de görüldüğü gibi yapılan istatistiksel hesaplamalarda, BUP'un tabletlerdeki miktar tayinine izin verecek ölçüde, oldukça yüksek korelasyon katsayısına sahip, kesim değeri sıfırın yakın doğrusal eşitlikler elde edilmiştir.

*Saptama sınırı ve tayin alt sınırı (LOD and LOQ)*

UV-spektrofotometri yöntemi için, saptama sınırı  $2.73 \times 10^{-6}$  M ve tayin alt sınırı  $8.26 \times 10^{-6}$  M olarak hesaplanmıştır. II. türev spektrofotometri yöntemi ise aynı şekilde hesaplama yapılarak saptama sınırı  $8.20 \times 10^{-7}$  M, tayin alt sınırı  $2.48 \times 10^{-6}$  M olarak bulunmuştur. Görüldüğü gibi, II. türev spektrofotometri yöntemi ile UV-spektrofotometri yöntemine göre daha düşük saptama sınırı ve tayin alt sınırına ulaşılabilmiştir.

*Doğruluk (Accuracy)*

Kalibrasyon eğrisinin verilen aralığında bulunan üç farklı derişimdeki standart BUP çözeltisi ( $2.07 \times 10^{-5}$ ,  $4.14 \times 10^{-5}$ ,  $6.21 \times 10^{-5}$  M) için yüzde geri kazanım ve yüzde bağıl hata değerleri, UV-spektrofotometri ve II. türev spektrofotometri yöntemleri için sırasıyla Çizelge 6 ve 7'de verilmiştir.

**Çizelge 6. UV-Spektrofotometri Yöntemi ile Standart BUP ve BUP Eklenmiş Matriks için Doğruluk Sonuçları**

Standart BUP (n=6)	Bulunan BUP(M) (ortalama ± SS)	Geri Kazanım (%)	BH (%)	BSS (%)
$2.07 \times 10^{-5}$	$2.06 \times 10^{-5} \pm 1.29 \times 10^{-7}$	99.43	-0.48	0.63
$4.14 \times 10^{-5}$	$4.08 \times 10^{-5} \pm 3.52 \times 10^{-7}$	98.52	-1.45	0.86
$6.21 \times 10^{-5}$	$6.13 \times 10^{-5} \pm 3.58 \times 10^{-7}$	98.65	-1.29	0.58
Matrikse Eklenen BUP (n=6)	Bulunan BUP(M) (ortalama ± SS)	Geri Kazanım (%)	BH (%)	BSS (%)
$2.07 \times 10^{-5}$	$2.10 \times 10^{-5} \pm 7.44 \times 10^{-8}$	101.34	1.34	0.35
$4.14 \times 10^{-5}$	$4.18 \times 10^{-5} \pm 1.06 \times 10^{-7}$	100.94	0.94	0.25
$6.21 \times 10^{-5}$	$6.21 \times 10^{-5} \pm 1.97 \times 10^{-7}$	99.95	-0.05	0.32

**Çizelge 7. II. Türev Spektrofotometri Yöntemi ile Standart BUP ve BUP Eklenmiş Matriks için Doğruluk Sonuçları**

Standart BUP (n=6)	Bulunan BUP(M) (ortalama ± SS)	Geri Kazanım (%)	BH (%)	BSS (%)
$2.07 \times 10^{-5}$	$2.06 \times 10^{-5} \pm 3.02 \times 10^{-7}$	99.40	-0.60	1.47
$4.14 \times 10^{-5}$	$4.09 \times 10^{-5} \pm 6.53 \times 10^{-7}$	98.84	-1.21	1.60
$6.21 \times 10^{-5}$	$6.08 \times 10^{-5} \pm 4.87 \times 10^{-7}$	97.91	-2.09	0.80
Matrikse Eklenen BUP (n=6)	Bulunan BUP(M) (ortalama ± SS)	Geri Kazanım (%)	BH (%)	BSS (%)
$2.07 \times 10^{-5}$	$2.05 \times 10^{-5} \pm 3.82 \times 10^{-7}$	98.81	-1.19	1.87
$4.14 \times 10^{-5}$	$4.09 \times 10^{-5} \pm 6.54 \times 10^{-7}$	98.84	-1.16	1.60
$6.21 \times 10^{-5}$	$6.30 \times 10^{-5} \pm 7.55 \times 10^{-7}$	101.44	1.44	1.20

Çizelge 6 ve 7'de görüldüğü gibi, her iki yöntem için doğruluğu gösteren % BH ve kesinliği gösteren % BSS değerleri % 2'nin altındadır ve validasyon kriterlerine uygun bulunmaktadır (ICH Q2(R1), 2005). Sonuç olarak, tablet içerisindeki yardımcı maddelerin BUP tayininin doğruluğuna etkisinin olmadığı söylenebilir.

#### *Spektroskopik yöntemlerin farmasötik tabletlerdeki uygulaması*

BUP tablet içeriği için yapılan karşılaştırmalı analiz sonuçları Çizelge 8'de verilmiştir. Yöntemlerin doğruluğunu karşılaştırmak için Student t-testi, kesinliğini karşılaştırmak için F-testi yapılarak, sonuçlar % 95 önem düzeyinde istatistiksel olarak değerlendirilmiştir.

**Çizelge 8. İki Farklı Spektrofotometrik Yöntemle BUP'un Farmasötik Tabletlerindeki Miktar Tayini Sonuçları**

	UV-Spektrofotometri (mg)	II.Türev Spektrofotometri (mg)
Ortalama (n=6)	162.4	161.1
SS	4.72	3.66
% BSS	2.90	2.27
t-Testi (p<0.05)	-	0.52
F Testi (p<0.05)	-	1.66

Bulunan t- değerinin, tablo  $t_{0.05}$  değerinden ( $0.52 < 2.23$ ) ve F- değerinin, tablo  $F_{0.05}$  değerinden ( $1.66 < 5.05$ ) küçük olduğu gösterilerek, yöntemler arasındaki farkın doğruluk ve kesinlik açısından % 95 önem düzeyinde istatistiksel olarak önemsiz olduğu bulunmuştur. Ayrıca, iki farklı spektrofotometrik yöntem ile elde edilen tablet içeriği sonuçları, Wilcoxon testiyle de istatistiksel olarak karşılaştırılmıştır. Hesaplamalar, GraphPAD istatistiksel analiz yazılımı kullanılarak yapılmış ve  $P_H$  değeri 0.6875 olarak bulunmuştur. Sonuç olarak, Wilcoxon testi de t- ve F- testi sonucunu desteklemektedir. Ayrıca geliştirilen spektrofotometrik yöntemlerle yapılan ölçümlerde, Wellbutrin® tablet içeriği farmakopenin gerektirdiği aralıktadır (USP 29, 2006).

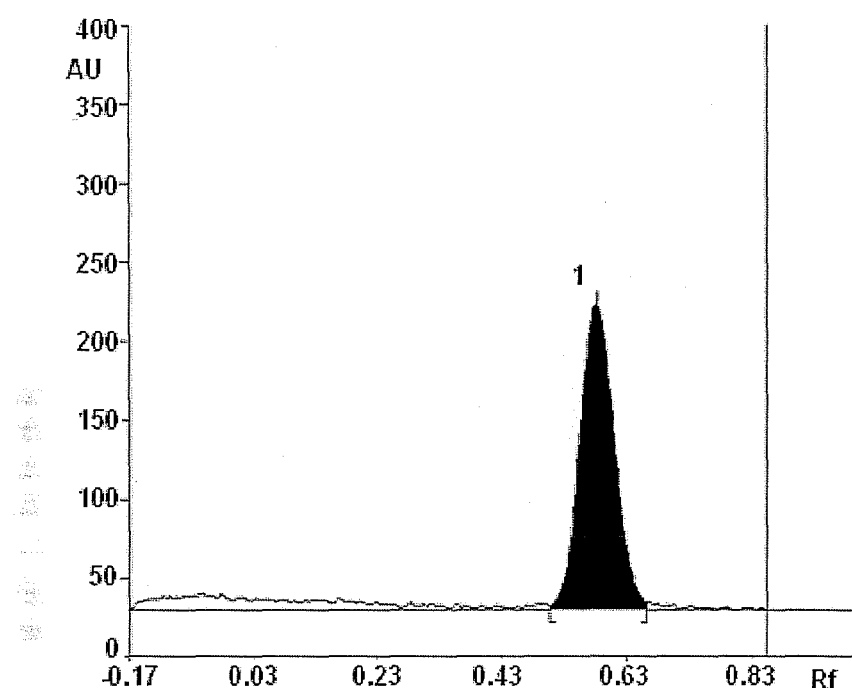
Wellbutrin® tablet için spektrofotometrik yöntemlerle elde edilen tablet analizi sonuçlarının potansiyometrik ve kondüktometrik titrasyon sonuçları ile karşılaştırılması amacıyla yapılan ANOVA testi sonucunda, yöntemler arasındaki farkın istatistiksel olarak önemli olmadığı bulunmuştur ( $F_{4,23} = 1.902$ ,  $p < 0.05$ ).

### **BUP'un İTK Yöntemi ile Farmasötik Tabletlerinde Miktar Tayini**

#### ***İTK yönteminin optimizasyonu***

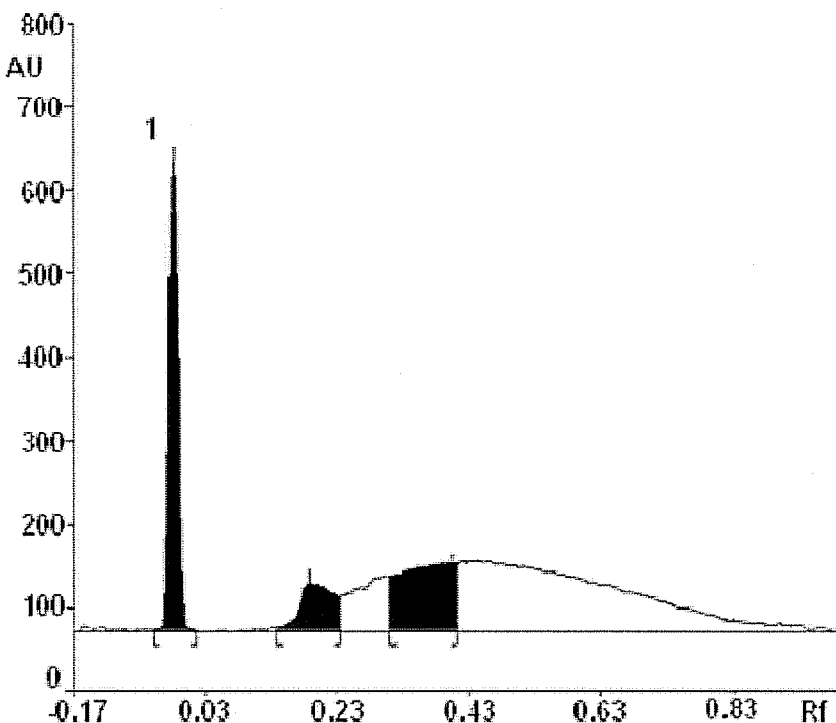
İTK yönteminin optimizasyonuna, değişik özellikteki çözücü sistemleri denenerek başlanmıştır. İlk olarak, 3:1 ve 1:1 (h/h) oranlarında petrol eteri ve etil asetat karışımı kullanılmış ve bu çözücü sistemleri, BUP'un polar yapısına uygun olmadığı için sürüklendirme gerçekleşmemiştir. Daha polar hareketli faz olarak, etil asetat-etanol karışımı 1:1 (h/h) oranında uygulandığında, UV lambada uygun  $R_f$  değerinde fakat kuyruklu, dağınık bir leke görülmüştür. Bu durumun maddenin HCl tuzu olmasından kaynaklandığı düşünülerek, karışma 500  $\mu$ L kadar NH<sub>3</sub> (% 25'lik) ilave edilmiş ve lekenin şeklinin düzeldiği görülmüştür fakat BUP, bu hareketli fazda sürüklendikten sonra, plakların İTK tarama cihazında taranması ile uygun pik şekli elde edilememiştir. Daha sonra etil asetat yerine benzer polarite indisine sahip olan kloroform kullanılarak, kloroform-etanol çözücü sistemi 1:1, 1:2 ve 2:1 (h/h) oranlarında denenmiştir. BUP'un bu hareketli fazlarda sürüklelenmesi ile simetrik bir pik elde edilmesine karşın, kloroformun yüksek

oranda (2:1, h/h) kullanıldığı sisteme, 0.85 dolayında çok yüksek bir  $R_f$  değeri elde edilmiş ve çözücü piki ile iyi bir ayırm sağlanamamıştır. Çözücü sisteminde etanolün artırılması ile  $R_f$  değerinin daha küçük değerlere kaydığını gözlenmiştir. Uygun  $R_f$  değerini elde edebilmek için, kloroform-ethanol karışımı 1:3 (h/h) oranında hazırlanmış ve maddenin asidik ortamındaki kararlılığı düşünülerek, bu sisteme glasiyel asetik asit ilave edilmiştir. Sonuç olarak, en uygun  $R_f$  değeri ( $0.56 \pm 0.01$ ), en düzgün pik şekli ve ayırm, etanol-kloroform-glasiyel asetik asit (30:10:1, h/h/h)'den oluşan hareketli faz kullanıldığında ve İTK tankı hareketli faz ile 30 dakika süreyle döeturulduğunda elde edilmiştir (**Şekil 10**).



**Şekil 10.** Optimum Koşullarda Standart BUP'un ( $500 \text{ ng.spot}^{-1}$ ) İTK Kromatogramı (Pik 1: BUP)

Yöntem optimizasyonunun devamında, USP 29, (2006)'daki BUP monografında m-klorobenzoik asit tayini için geliştirilmiş İTK yönteminin BUP tayini için uygun olup olmadığını denemek amacıyla, toluen, siklohekzan ve glasiyel asetik asit (47:47:6, h/h/h) içeren hareketli faz kullanılarak, 254 nm'de BUP tayini yapılmış ve **Şekil 11**'deki kromatogram elde edilmiştir.



**Şekil 11. USP 29'da Belirtilen Koşullarda ve Toluen, Siklohekzan ve Glasiyel Asetik Asit (47:47:6, h/h/h) İçeren Hareketli Faz Kullanılarak, 254 nm'de Standart BUP'un (500 ng.spot<sup>-1</sup>) İTK Kromatogramı (Pik 1: BUP)**

Şekil 11'de görüldüğü gibi, BUP pikinin  $R_f$  değeri (0.01) tayin için uygun olmayıp, ölü hacimden ayırım sağlanamamıştır, böylece BUP piki çevresel şartlardan etkilenebilmiştir. Ayrıca, bu yöntem ile düzgün bir zemin gürültüsü elde edilememiştir. Sonuç olarak, USP 29'da belirtilmiş olan İTK yönteminin, BUP tayini için uygun olmadığı ve bu amaçla kullanılmayacağı söylenebilir.

### *İTK yönteminin validasyonu*

#### *Kesinlik (Precision)*

Yöntemin kesinliğinin incelenmesi amacıyla,  $100 \mu\text{g.mL}^{-1}$ 'lik BUP çözeltisi kullanılarak 6, 8 ve  $10 \mu\text{L}$  olmak üzere üç ayrı hacimde uygulama yapılmış, BUP'un 600, 800 ve  $1000 \text{ ng.spot}^{-1}$ 'lik derişimlerde gün içi ve günler arası tekrar edilebilirlikleri araştırılmıştır.

Verilen derişimlerde elde edilen pik alanı sinyalleri, yöntemin kesinliğinin gösterilmesi için istatistiksel olarak değerlendirilmiştir. Sonuçlar, **Çizelge 9**'da verilmektedir.

Kesinlik sonuçlarına göre, % 2'den düşük BSS değerleri ile yüksek düzeyde tekrar edilebilirlik elde edilmiş, sadece  $600 \text{ ng.spot}^{-1}$ 'lik derişimde günler arası kesinlik % BSS değeri biraz yüksek bulunmuştur (ICH Q2(R1), 2005).

**Çizelge 9. BUP'un Gün İçi ve Günler Arası Tekrar Edilebilirlik Sonuçları**

600 ng.spot <sup>-1</sup>	Gün İçi Ortalama Kesinlik			Günler Arası Kesinlik
	I. Gün (n=5)	II. Gün (n=5)	III. Gün (n=5)	
OPA	3997	3424	3687	3806
SS	73.59	40.30	58.64	95.62
% BSS	1.84	1.18	1.59	2.51
SH	32.91	18.02	26.22	39.04

800 ng.spot <sup>-1</sup>	Gün İçi Ortalama Kesinlik			Günler Arası Kesinlik
	I. Gün (n=5)	II. Gün (n=5)	III. Gün (n=5)	
OPA	7079	6936	6500	7007
SS	62.11	81.35	68.34	101.8
% BSS	0.88	1.17	1.05	1.45
SH	27.78	36.38	30.56	32.20

1000 ng.spot <sup>-1</sup>	Gün İçi Ortalama Kesinlik			Günler Arası Kesinlik
	I. Gün (n=5)	II. Gün (n=5)	III. Gün (n=5)	
OPA	7666	7969	8211	8042
SS	107.2	99.12	82.14	145.9
% BSS	1.40	1.24	1.00	1.81
SH	47.94	44.33	36.74	46.14

*Doğrusallık (Linearity)*

100  $\mu\text{g.mL}^{-1}$ 'lik BUP çözeltisinden 2-10  $\mu\text{L}$  arasında beş ayrı hacimde uygulama yapılarak, 200-1000 ng.spot<sup>-1</sup> derişim aralığındaki BUP çözeltilerinin birbirini takip eden 3 günde pik sinyalleri kaydedilmiştir. Artan BUP derişimleri ile karşılık gelen pik alanı değerleri arasında yapılan istatistiksel değerlendirmeye göre elde edilen sonuçlar, **Çizelge 10**'da verilmektedir.

**Çizelge 10. 200-1000 ng.spot<sup>-1</sup> Derişim Aralığındaki BUP'un 254 nm'deki Pik Alanı Sinyallerinin Doğrusallığı**

	Gün İçi			Günler Arası
	1.Gün (n=5)	2.Gün (n=5)	3.Gün (n=5)	Tüm Günler (n=15)
Eğim, a	4.433	6.441	8.481	6.623
Kesim, b	182.8	263.8	-453.0	232.5
Korelasyon Katsayısı, r	0.9990	0.9993	0.9988	0.9950
Eğimin Standart Hatası	0.1125	0.1318	0.2328	0.2761
Kesimin Standart Hatası	77.61	67.22	162.0	134.9

Yapılan istatistiksel değerlendirmeler sonucunda, literatürdeki İTK çalışmalarına göre daha yüksek korelasyon katsayısına sahip doğrusal eşitlikler elde edilmiştir (Agrawal ve ark., 2003; Kaul ve ark., 2004; Motwani ve ark., 2006; Venkatachalam ve Chatterjee, 2007).

#### *Saptama sınırı ve tayin alt sınırı (LOD and LOQ)*

BUP'un İTK yöntemiyle LOD ve LOQ değerlerinin belirlenmesi amacıyla, kör madde olan metanol beş defa uygulanmış ve sinyal/gürültü oranı belirlenmiştir. Bu oran, sırasıyla 3 ve 10 ile çarpılarak, yöntemin LOD ve LOQ değerleri, sırasıyla 10.41 ng.spot<sup>-1</sup> ve 34.71 ng.spot<sup>-1</sup> olarak bulunmuştur.

#### *Doğruluk (Accuracy)*

Kalibrasyon eğrisinin verilen aralığında bulunan üç farklı derişimdeki standart BUP çözeltisi (600, 800 ve 1000 ng.spot<sup>-1</sup>) için yüzde geri kazanım ve yüzde bağıl hata değerleri, **Çizelge 11**'de verilmiştir.

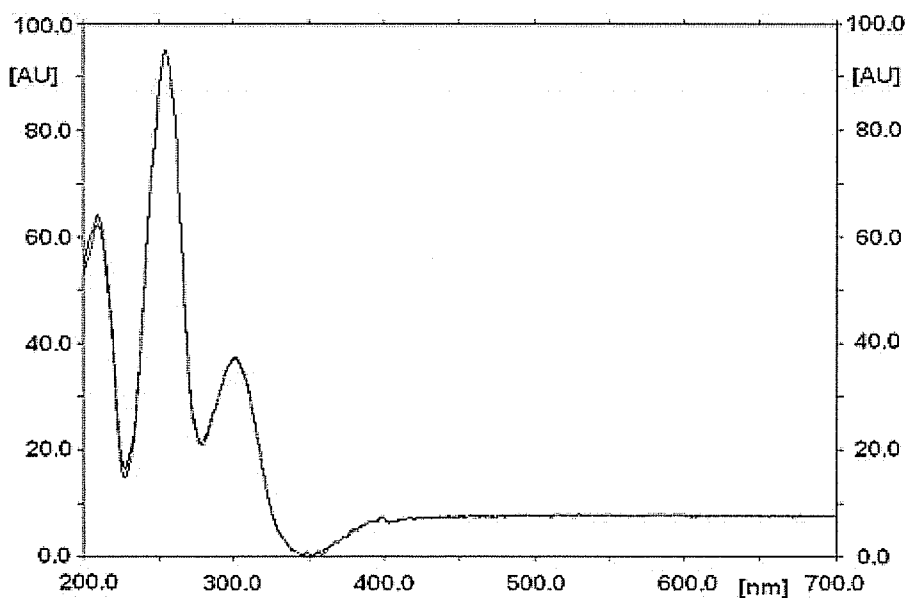
**Çizelge 11. İTK Yönteminin Doğruluk Sonuçları (n=5)**

Standart BUP (ng.spot <sup>-1</sup> )	Bulunan BUP (ng.spot <sup>-1</sup> ) (ortalama ± SS)	Geri Kazanım (%)	BH (%)	BSS (%)
600	611.32 ± 11.26	101.89	1.89	1.84
800	810.94 ± 7.12	101.37	1.37	0.88
1000	1015.85 ± 10.16	101.58	1.58	1.00
Matrikse Eklenen BUP (ng.spot <sup>-1</sup> )	Bulunan BUP (ng.spot <sup>-1</sup> ) (ortalama ± SS)	Geri Kazanım (%)	BH (%)	BSS (%)
600	598.83 ± 6.29	99.81	-0.19	1.05
800	787.63 ± 13.07	98.45	-1.55	1.66
1000	1014.98 ± 17.79	101.50	1.50	1.75

Çizelge 11'de görüldüğü gibi, doğruluk sonuçları kabul kriteri dahilinde bulunmuştur ve tablet içeriğinde bulunan etkin madde dışındaki yardımcı maddelerin BUP tayininin doğruluğuna etkisinin olmadığı söylenebilir (ICH Q2(R1), 2005).

#### *Özgünlük (Specificity)*

Yöntem özgünlüğünü, standart BUP ve tablet numunesi analiz edilerek bulunmuştur. Numunenin spektrumu ile standart maddenin spektrumu pik başlangıç noktası, tepe noktası ve bitiş noktası olmak üzere üç ayrı noktada değerlendirildiğinde,  $r=0.9999$  gibi oldukça iyi bir korelasyon değeri elde edilmiştir (Şekil 12).



**Şekil 12. Standart BUP Çözeltisi ve Tablet Numunesinin Spektrum Karşılaştırması**

### *Sağlamlık (Robustness)*

1000 ng.spot<sup>-1</sup>'lik derişimde, üçlü uygulamalarla hareketli faz bileşiminde, glasiyel asetik asit miktarında, hareketli faz hacminde ve tankın doygunluk süresindeki küçük değişiklikler sonucunda pik alanlarının % BSS ve SH değerleri hesaplanmıştır. **Çizelge 12**'de görüldüğü gibi, elde edilen düşük % BSS değerleri (<2) yöntemin sağlamlığını göstermektedir (Dejaegher ve Vander Heyden, 2007).

**Çizelge 12. İTK Yönteminin Sağlamlık Sonuçları (n=3, 1000 ng.spot<sup>-1</sup> BUP)**

Parametre	% BSS	SH
1) Hareketli Faz Bileşimi (etanol-kloroform-glasiyel asetik asit)		
• 29:11:1 (h/h/h)	1.29	40.20
• 30:10:1 (h/h/h)		
• 31: 9: 1 (h/h/h)		
2) Glasiyel Asetik Asit Miktarı (0.5, 1 ve 1.5 mL)	0.74	18.17
3) Hareketli Faz Hacmi (18, 20 ve 22 mL)	0.81	22.93
4) Doygunluk Süresi (20, 30 ve 40 dakika)	1.20	35.93

### *Tutarlılık (Ruggedness)*

1000 ng.spot<sup>-1</sup>'lik derişimdeki BUP çözeltisinin 0, 6, 12, 24, 48 ve 72 saat sonra, üçerli analizi ile pik alanları için 1.60 gibi düşük bir % BSS (<2) elde edilmiştir. Sonuçlar, yöntemin tutarlığını ve BUP'un analiz boyunca kararlı olduğunu kanıtlamaktadır (Dejaegher ve Vander Heyden, 2007).

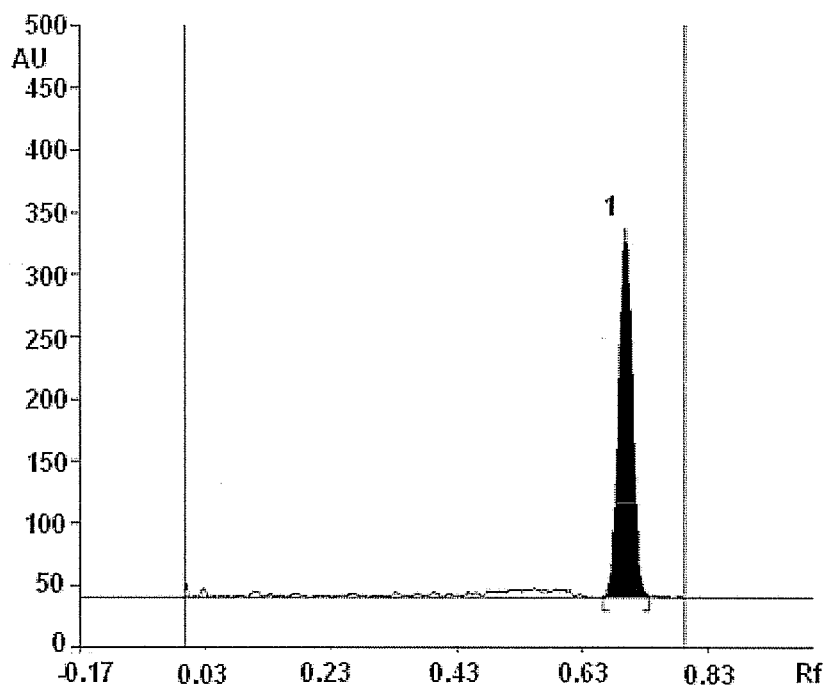
### **BUP için hızlandırılmış kararlılık testi**

Standart BUP çözeltisi asit, baz, hidrojen peroksit, kuru ve nemli ısı, fotokimyasal ve UV (254 nm) ışık ile muamele edilmiş ve **Şekil 13-16**'da görüldüğü gibi bozunma ürünü pikleri ile standart BUP piki iyi bir şekilde ayrılmıştır. Bozunma ürünlerinin R<sub>f</sub> değerleri, BUP için yüzde geri kazanım ve % BSS değerleri **Çizelge 13**'de verilmiştir.

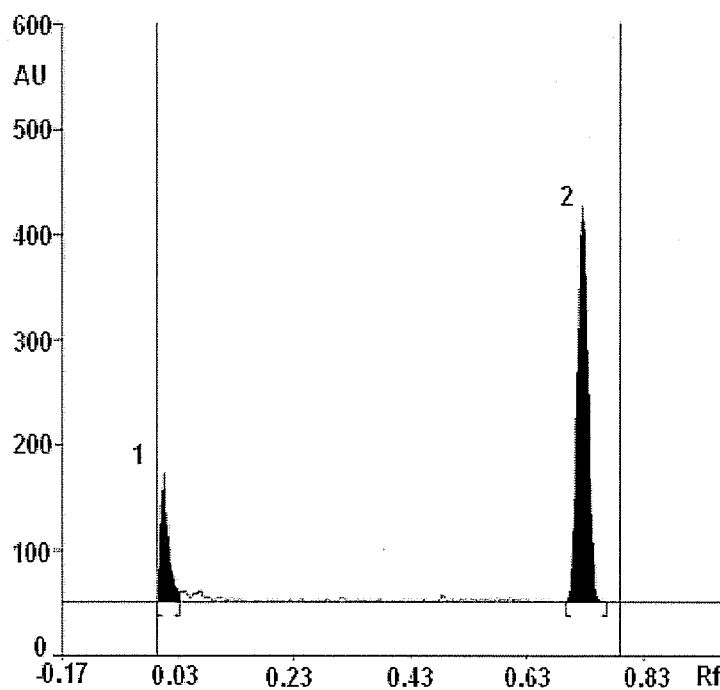
### *Asit ve baz etkisi*

**Şekil 13a** ve **13b**'de görüldüğü gibi, asitle muamele edilmiş numuneler, nötral olup olmamalarına göre farklı kromatogramlar göstermişlerdir. Nötral numune kromatogramında, BUP dışında başka bir pik gözlenmemesine karşın, nötral olmayan numunenin kromatogramında R<sub>f</sub> değeri 0.01 olan bir pik görülmektedir. Asit muamelesi sonucu, BUP pik morfolojisi düzgünleşmekle birlikte; nötral olmayan numunedeki BUP piki daha az polar hale gelerek, R<sub>f</sub> değeri 0.73'e kaymış ve %  $88.58 \pm 0.32$  (n=5)'lik bir geri kazanım elde edilmiştir. Asitle muamele edilen numune nötralize edildiğinde ise BUP polaritesindeki azalmadan dolayı, hem R<sub>f</sub> değeri (0.70), hem de geri kazanım değerinde (%  $79.56 \pm 1.68$ , n=5) değişme görülmüştür. Asitle muamele sonucunda R<sub>f</sub> değerinde meydana gelen değişiklikten dolayı, BUP pikinin doğrulanmasına gerek duyulmuş ve bu amaçla

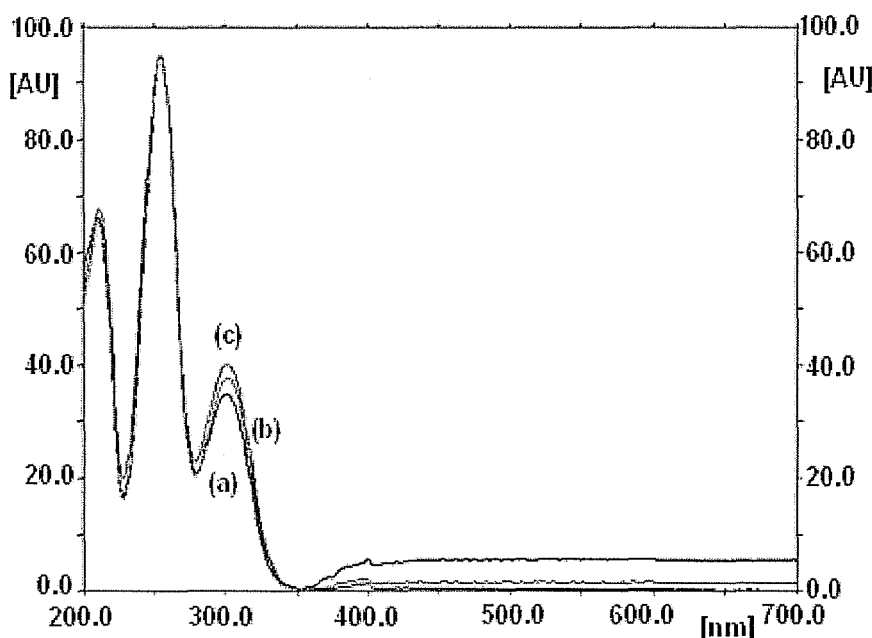
nötral ve nötral olmayan numunelerin spektrumları, asit ile muamele edilmemiş standart BUP çözeltisinin spektrumu ile karşılaştırılmıştır (Şekil 13c).



Şekil 13a. Asit (1N HCl, 70°C Sıcaklıkta 30 Dakika) ile Muamele Edilmiş Nötral BUP Numunesi ( $1000 \text{ ng.spot}^{-1}$ ) Kromatogramı (Pik 1: BUP)



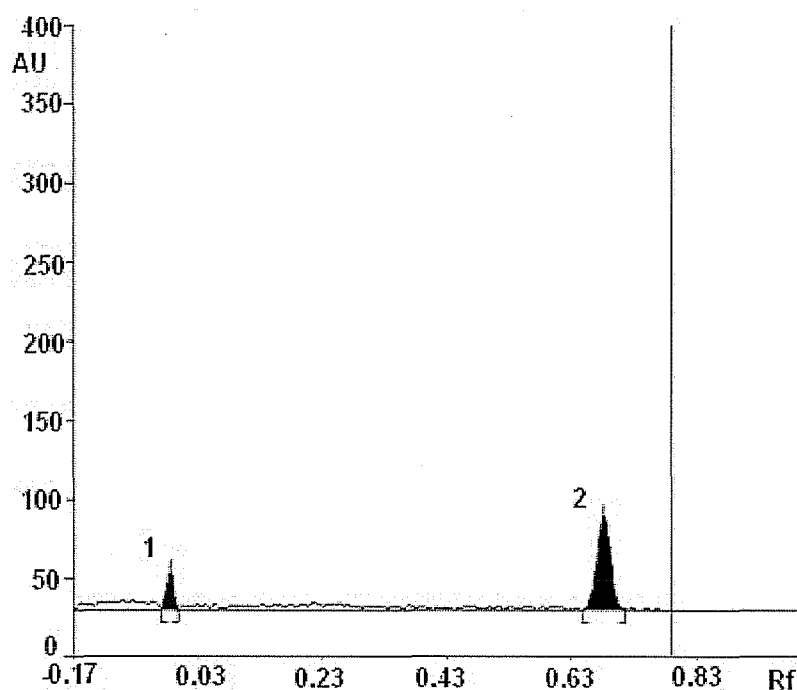
Şekil 13b. Asit (1N HCl, 70°C Sıcaklıkta 30 Dakika) ile Muamele Edilmiş Nötral Olmayan BUP Numunesi ( $1000 \text{ ng.spot}^{-1}$ ) Kromatogramı (Pik 1: Bozunma Ürünü, Pik 2: BUP)



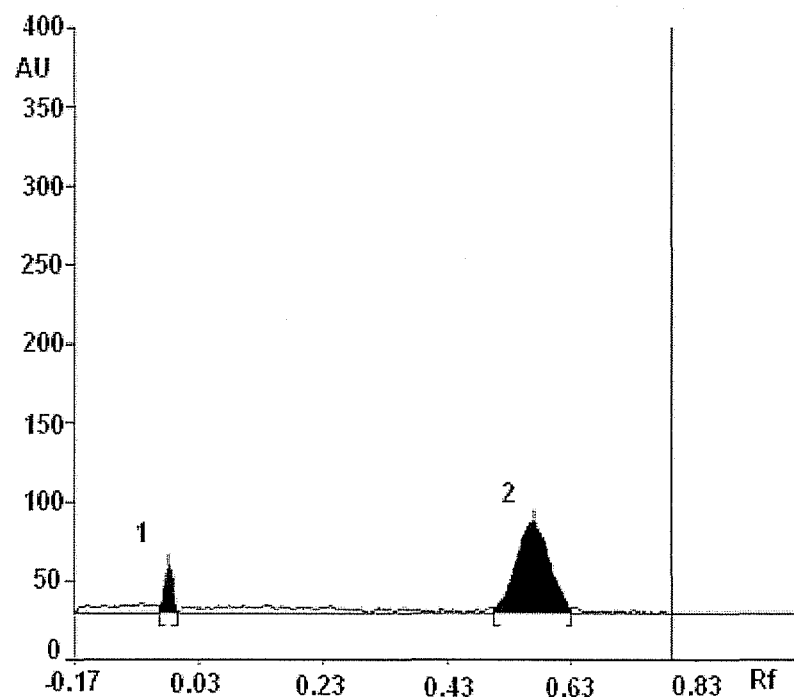
**Şekil 13c.** Asit Muamelesine Tabi Tutulmamış Standart BUP Çözeltisinin Spektrumu ile Nötral ve Nötral Olmayan Numunelerin Spektrumlarının Karşılaştırması ( $1000 \text{ ng.spot}^{-1}$ )  
a: Standart BUP, b: Nötral Numune, c: Nötral Olmayan Numune

Şekil 13c'de görüldüğü gibi, spektrumlar arasında herhangi bir fark bulunamamıştır.

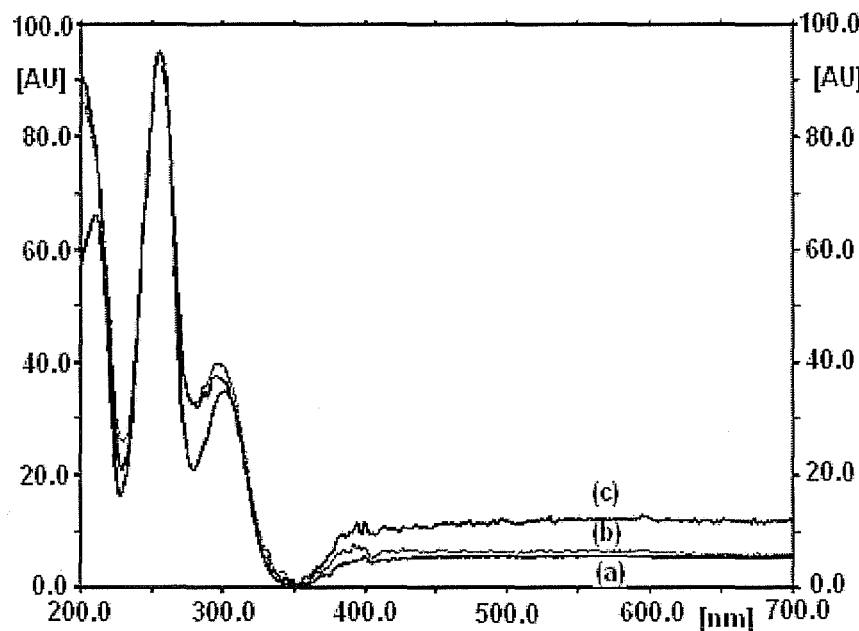
Bazla muamele edilen nötral ve nötral olmayan numuneler büyük ölçüde bozunmaya uğramış ve  $R_f$  değeri 0.01 olan bir bozunma ürünü oluşmuştur (Şekil 14a ve 14b). Numunenin nötralize edildiği durumda, bazik şartlardaki BUP pikinin  $R_f$  değeri (0.69), asidik şartlardaki BUP pikinin  $R_f$  değeriyle (0.70) neredeyse aynı iken, nötral olmayan numunenin  $R_f$  değeri ( $0.56 \pm 0.01$ ) standart BUP çözeltisine göre değişmemiştir. Asidik koşullarla benzer şekilde, numune nötralize edildiğinde BUP geri kazanımı azalmaktadır. Nötral ve nötral olmayan numunelerin spektrumları, baz muamelesine tabi tutulmamış standart BUP çözeltisinin spektrumu ile karşılaştırılmış ve spektrumlar arasında herhangi bir fark bulunamamıştır (Şekil 14c).



Şekil 14a. Baz (1N NaOH, 70°C Sıcaklıkta 30 Dakika) ile Muamele Edilmiş Nötral BUP Numunesi ( $1000 \text{ ng.spot}^{-1}$ ) Kromatogramı (Pik 1: Bozunma Ürünü, Pik 2: BUP)



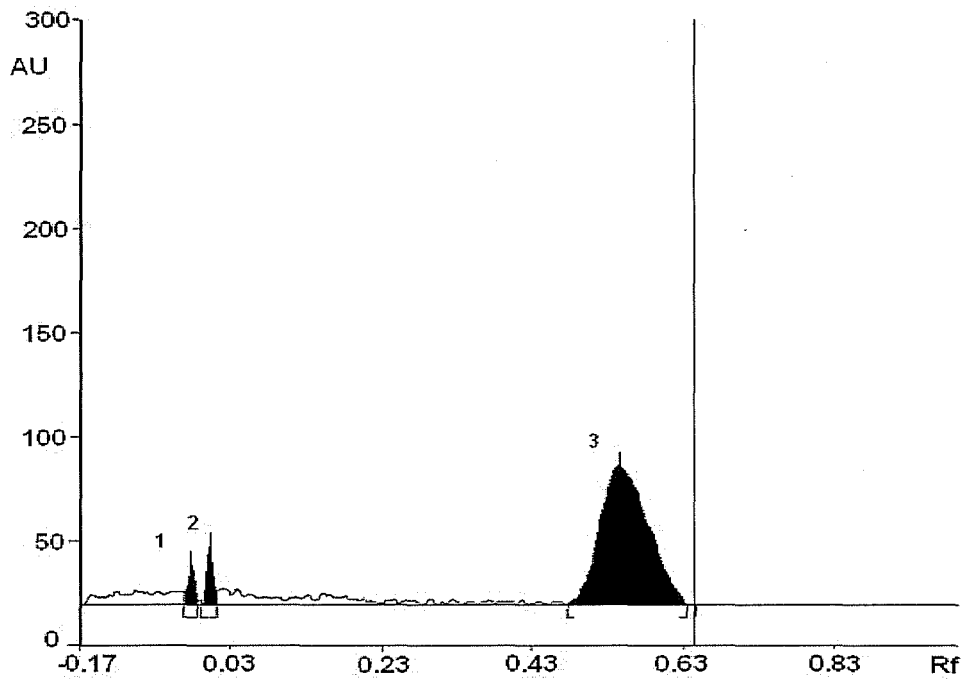
Şekil 14b. Baz (1N NaOH, 70°C Sıcaklıkta 30 Dakika) ile Muamele Edilmiş Nötral Olmayan BUP Numunesi ( $1000 \text{ ng.spot}^{-1}$ ) Kromatogramı (Pik 1: Bozunma Ürünü, Pik 2: BUP)



**Şekil 14c.** Baz Muamelesine Tabi Tutulmamış Standart BUP Çözeltisinin Spektrumu ile Nötral ve Nötral Olmayan Numunelerin Spektrumlarının Karşılaştırması ( $1000 \text{ ng.spot}^{-1}$ )  
a: Standart BUP, b: Nötral Numune, c: Nötral Olmayan Numune

#### Hidrojen peroksit etkisi

% 30'luk  $\text{H}_2\text{O}_2$  çözeltisi ile muamele edilmiş BUP kromatogramında ilave iki pik görülmektedir (Şekil 15). Muamele sonucu, BUP pik morfolojisi bozulmuş olmasına karşın, geri kazanım çok düşük değildir (%  $83.07 \pm 2.28$ , n=5).



**Şekil 15.** Hidrojen Peroksit (% 30, h/h;  $80^\circ\text{C}$  Sıcaklıkta 1 Saat 15 Dakika) ile Muamele Edilmiş BUP Numunesi ( $1000 \text{ ng.spot}^{-1}$ ) Kromatogramı (Pik 1 ve 2: Bozunma Ürünü, Pik 3: BUP)

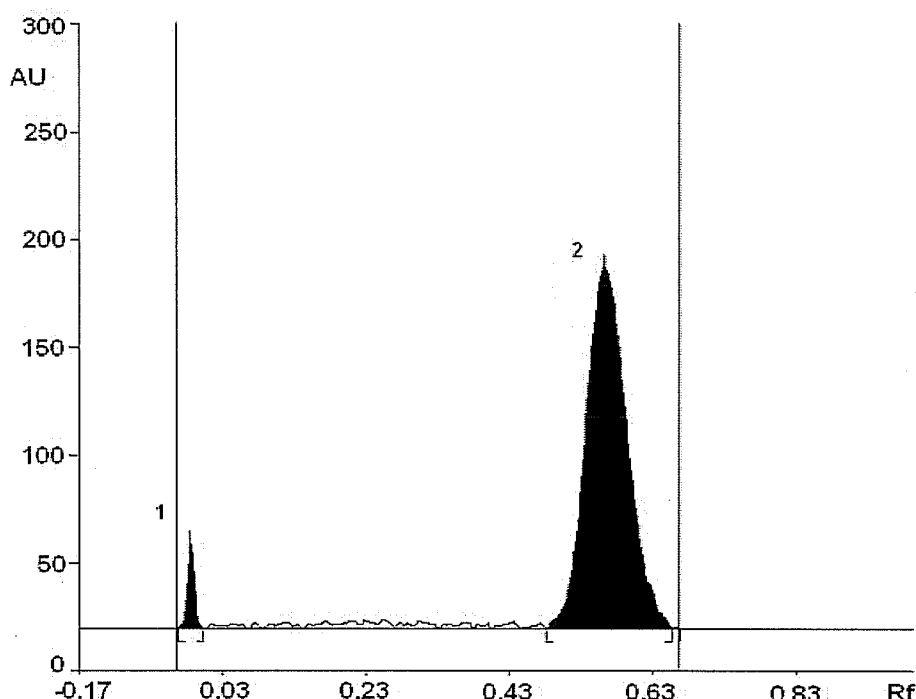
### *Kuru ve nemli ısı etkisi*

Kuru ısı ile muamele edilmiş BUP kromatogramında,  $R_f=0.55 \pm 0.01$  değerindeki BUP pikinden başka ilave bir pik görülmemiştir. Buna karşın geri kazanım,  $\% 82.17 \pm 0.91$  olarak bulunmuştur.

Bir saat süreyle kaynar su banyosunda bekletilen BUP numunesinin kromatogramında da aynı şekilde bozunma ürünü görülmemektedir.

### *Fotokimyasal ve UV ışık etkisi*

8 saat süreyle UV ışık ile muamele edilen BUP numunesinin kromatogramında  $0.01 R_f$  değerinde bir bozunma ürünü görülmektedir (**Şekil 16**). 24 saat güneş ışığında bekletilen BUP numunesi kromatogramında ise ilave bir pik görülmemiştir.



**Şekil 16.** UV Işığı (UV Lamba Altında 8 Saat) ile Muamele Edilmiş BUP Numunesi ( $1000 \text{ ng.spot}^{-1}$ ) Kromatogramı (Pik 1: Bozunma Ürünü, Pik 2: BUP)

Hızlandırılmış kararlılık çalışmalarında, her parametre için 5 ayrı uygulama yapılmış, yüzde geri kazanım ve % BSS değerleri hesaplanmıştır. Sonuç olarak, en yüksek geri kazanım değeri, gün ışığında bekletilen numune için elde edilmiş ve BUP'un normal çalışma koşullarında diğer ortamlara göre daha kararlı olduğu bulunmuştur (**Çizelge 13**).

**Çizelge 13. Hızlandırılmış Kararlılık Testi Sonuçları (n=5, 1000 ng.spot<sup>-1</sup> BUP)**

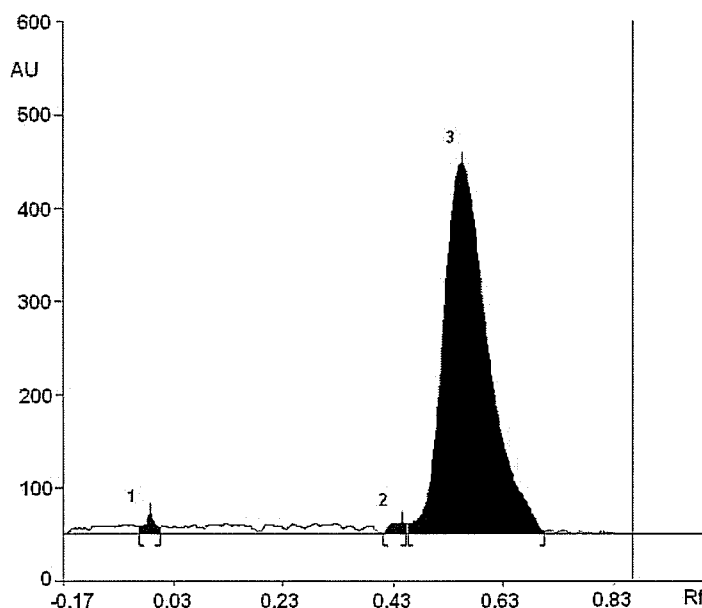
Koşullar	Bozunma Ürünlerinin R <sub>f</sub> Değeri	% Geri Kazanım	% BSS
1) 1N HCl	0.01	88.58	0.37
2) 1N HCl, nötral numune	-	79.56	2.11
3) 1N NaOH	0.01	35.14	2.39
4) 1N NaOH, nötral numune	0.01	16.02	1.81
5) % 30'luk H <sub>2</sub> O <sub>2</sub>	0.01, 0.02	83.07	2.74
6) Kuru ısı	-	82.17	1.11
7) Nemli ısı	-	91.55	0.71
8) Işık kararlılığı (gün ışığı)	-	94.72	1.14
9) UV (254 nm)	0.01	92.72	0.63

#### **BUP farmasötik dozaj şeklinin kararlılığının araştırılması**

Wellbutrin SR® tablet numunelerinin kromatogramında, Zyban® tablet numunelerinin kromatogramında olduğu gibi sadece R<sub>f</sub> değeri  $0.56 \pm 0.01$  olan BUP piki görülmektedir, herhangi bir bozunma piki oluşmamıştır. Tablet içeriği  $109.32 \pm 0.71$  (n=6, BSS=% 0.65) olup, farmakopenin gerektirdiği aralıkta bulunmuştur (USP 29, 2006).

#### **İlgili safsızlıkların saptanması**

Numune çözeltisi ve standart çözeltinin analizi sonucunda, numune çözeltisi kromatogramında 0.01 ve 0.45'lik R<sub>f</sub> değerine sahip, ilave iki pik bulunmuştur (**Şekil 17**).



**Şekil 17. BUP ve Safsızlıkların Kromatogramı (Pik 1 ve 2: Safsızlık, Pik 3: BUP)**

**Çizelge 14**'de görüldüğü gibi, safsızlık pikinin alanı standart çözeltideki BUP pikinden oldukça düşüktür.

**Çizelge 14. İlgili Safsızlıklar (n=5)**

Derişim (ng.spot <sup>-1</sup> )	R <sub>f</sub> Değeri	Alan
500	0.56	5436.02
5000	0.56	22595.4
İlgili safsızlık		
5000	0.01 ve 0.45	280.1 ve 241.2

### **BUP içeren tabletlerde miktar tayini**

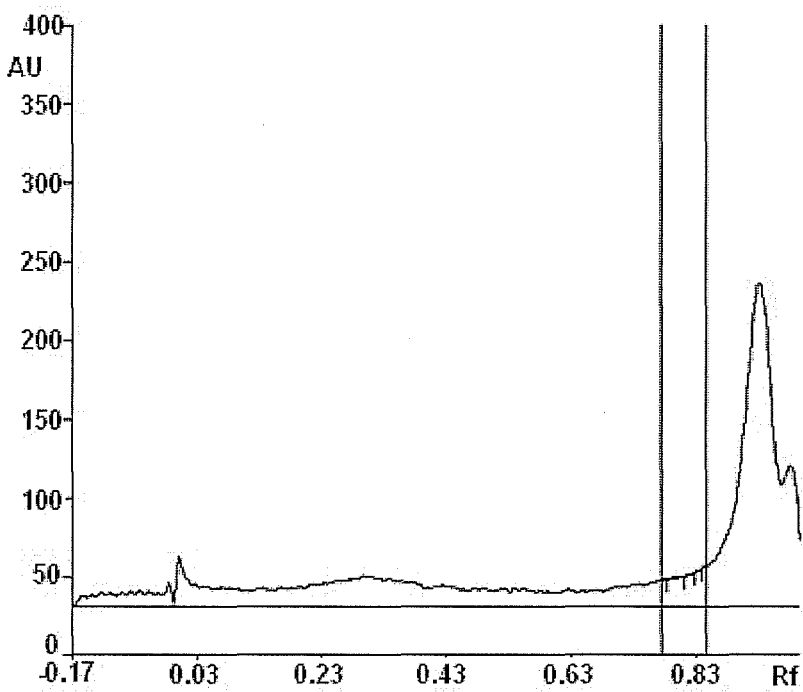
Validasyonu gösterilen İTK yönteminin uygulaması, 150 mg BUP içerdeği bilinen Zyban® tabletlerde yapılmış ve istatistiksel değerlendirmeler sonucu, tablet içeriği % 101.48 ± 0.86 (n=6, BSS=% 0.85) olarak farmakopenin gerektirdiği aralıkta bulunmuştur (USP 29, 2006).

### **BUP'un İTK Yöntemi ile Plazmada Miktar Tayini**

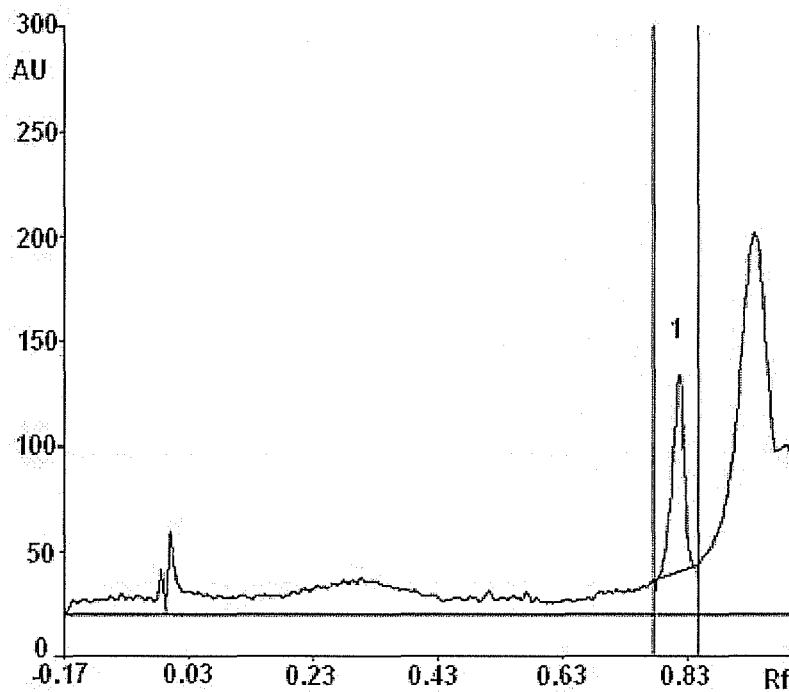
#### **İTK yönteminin optimizasyonu**

BUP'un plazmadaki analizi için önceden geliştirilmiş olan İTK prosedürü kullanılmıştır. Plazma içerisindeki BUP'un etanol-kloroform-glasiyel asetik asit (30:10:1, h/h/h) den oluşan hareketli fazda sürüklənməsi ile simetrik bir pik elde edilmiş fakat matriksin değişmiş olması ve numune hazırlama basamağındaki asit ilavesi (TCA) nedeniyle R<sub>f</sub> değeri ileriye kaymıştır ( $R_f = 0.80 \pm 0.02$ , n=5).

**Şekil 18a** ve **18b**'de görüldüğü gibi, çözücü piki (solvent front) tüm İTK çalışmalarında olduğu gibi kromatogramın sonundadır. BUP ve çözücü pikinin R<sub>f</sub> değerleri birbirine çok yakın olup, bu durum normal koşullar altında istenmez. Çünkü bu koşullarda madde pikinin çevre şartlarından etkilenme derecesi artmakta ve R<sub>f</sub> değerindeki herhangi bir değişme durumunda çözücü piki ile olan ayırım ortadan kalkmaktadır. Tüm çalışma boyunca, BUP pikinin R<sub>f</sub> değerinde analizi etkileyebilecek nitelikte bir kayma ve plazmadan kaynaklanan bir girişim gözlenmemiştir (**Şekil 18a** ve **18b**). Dolayısıyla, bu koşullarda yöntem validasyonuna geçilmiştir.



**Şekil 18a. BUP Eklenmemiş Plazma Örneğinin İTK Kromatogramı**



**Şekil 18b.  $240 \text{ ng.spot}^{-1}$  Derişimde BUP Eklenmiş Plazma Örneğinin İTK Kromatogramı (Pik 1: BUP)**

#### *İTK yönteminin plazmadaki validasyonu*

##### *Kesinlik ve geri kazanım oranı (Precision and Recovery)*

Yöntemin kesinliğinin incelenmesi amacıyla, plazmaya eklenmiş  $60 \mu\text{g.mL}^{-1}$ 'lik BUP çözeltisi kullanılarak 6, 8 ve  $10 \mu\text{L}$  olmak üzere üç ayrı hacimde uygulama yapılmış, BUP'un  $360$ ,  $480$  ve  $600 \text{ ng.spot}^{-1}$ 'lik derişimlerde gün içi ve günler

arası tekrar edilebilirlikleri araştırılmıştır. Elde edilen sonuçlar aynı şekilde hazırlanan, plazma katılmamış standart BUP çözeltisi sonuçları ile karşılaştırılarak, geri kazanım oranları belirlenmiştir. Sonuçlar, **Çizelge 15**'de verilmektedir.

Ortalama olarak % 87 dolayında, oldukça yüksek bir geri kazanım elde edilmiştir. BSS değerleri ise, % 1-2 dolayındadır. Sadece 600 ng.spot<sup>-1</sup>lik derişimde günler arası % BSS değeri daha yüksek bulunmuştur.

**Çizelge 15. BUP'un Plazmada Kesinliği ve Geri Kazanım Oranı (gün=3, n=5)**

	Derişim (ng.spot <sup>-1</sup> )		Geri kazanım (%)	BSS (%)
	Eklenen	Bulunan (ortalama ± SS)		
Gün içi	360	318.10 ± 2.70	88.36	0.85
	480	421.45 ± 4.90	87.80	1.16
	600	516.86 ± 7.84	86.14	1.52
Günler arası	360	316.49 ± 8.86	87.91	2.80
	480	418.23 ± 9.58	87.13	2.29
	600	513.68 ± 16.23	85.61	3.16

#### *Doğrusallık (Linearity)*

Plazmaya katılmış 60 µg.mL<sup>-1</sup>lik BUP çözeltisinden 2-10 µL arasında altı ayrı hacimde uygulama yapılarak, 120-600 ng.spot<sup>-1</sup> derişim aralığındaki BUP çözeltilerinin birbirini takip eden 3 günde pik sinyalleri kaydedilmiştir. Artan BUP derişimleri ile karşılık gelen pik alanı değerleri arasında yapılan istatistiksel değerlendirmeye göre elde edilen sonuçlar **Çizelge 16**'da verilmektedir.

**Çizelge 16. Plazma İçerisinde 120-600 ng.spot<sup>-1</sup> Derişim Aralığındaki BUP'un 254 nm'deki Pik Alanı Sinyallerinin Doğrusallığı**

	Gün İçi			Günler Arası Tüm Günler (n=18)
	1.Gün (n=6)	2.Gün (n=6)	3.Gün (n=6)	
Eğim, a	4.997	5.046	5.387	5.155
Kesim, b	78.99	-33.55	-208	-61.40
Korelasyon Katsayısı, r	0.9989	0.9995	0.9990	0.997
Eğimin Standart Hatası	0.1169	0.0753	0.1190	0.1046
Kesimin Standart Hatası	54.61	30.24	47.79	44.42

**Çizelge 16**'da görüldüğü gibi plazmada yapılmış olmasına karşın, İTK yöntemiyle tablet analizinde bulunan sonuçlarla karşılaştırılabilir düzeyde, yüksek korelasyon katsayısına sahip doğrusal eşitlikler elde edilmiştir.

#### *Saptama sınırı ve tayin alt sınırı (LOD and LOQ)*

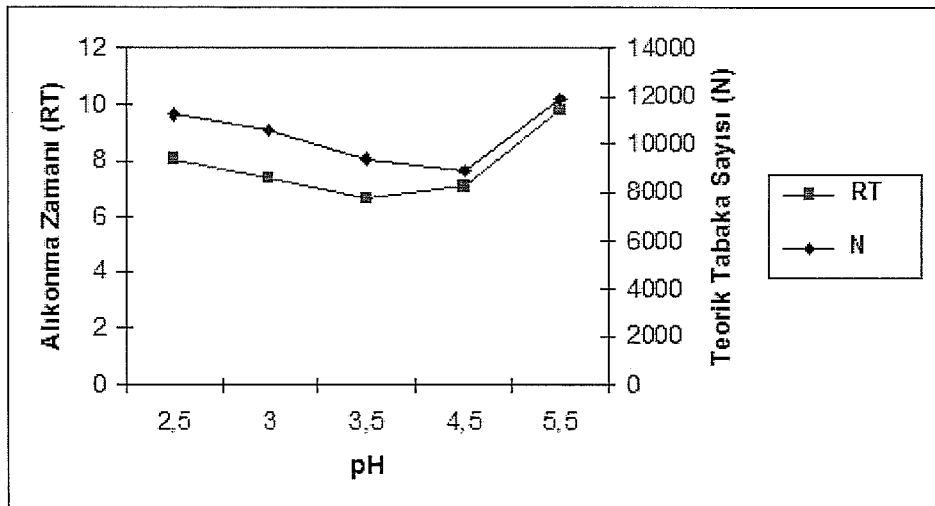
Yöntemin saptama sınırı  $12.04 \text{ ng.spot}^{-1}$  ve tayin alt sınırı  $36.47 \text{ ng.spot}^{-1}$  olarak hesaplanmıştır.

### **BUP'un YPSK Yöntemi ile Farmasötik Tabletlerinde Miktar Tayini**

#### *YPSK yönteminin optimizasyonu*

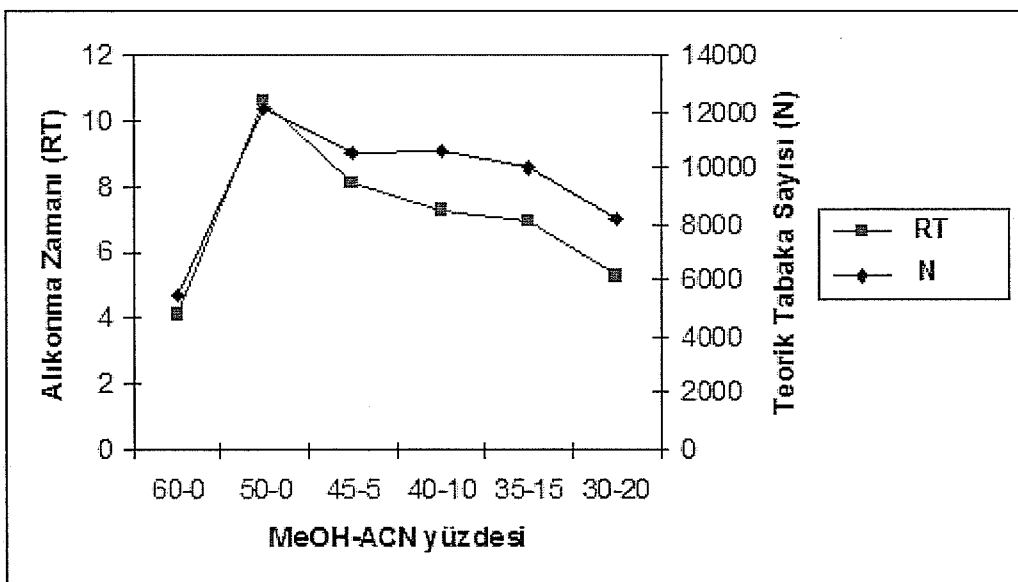
YPSK prosedürünün optimizasyonuna, % 70 oranında metanol içeren hareketli faz ile başlanmış fakat uygun pik şekli elde edilememiştir. Daha sonra, BUP'un molekül büyülüğu ve yapısı bakımından nikotine benzemesi ve  $pK_a$ 'sının ( $pK_a=7.9$ ) nikotin molekülündeki pirolidin halkasının  $pK_a$ 'sına ( $pK_a=8.02$ ) yakın olması nedeniyle, nikotin ile yapılan bir çalışmadan yola çıkılarak, pH'1 3 olan bir tampon sistemi kullanılmış ve 1-heptan sülfonik asit (1-HSA) ile iyon çifti oluşturulması düşünülmüştür (Ciolino ve ark., 1999). Ayrıca literatürde,  $pK_a$ 'sı 9 dan küçük olan, primer veya sekonder amin grubu içeren zayıf bazik bileşiklerin YPSK ile analizinde bozuk pik şeklini ve kuyruklanmayı düzeltmek için hareketli fazda organik çözücü olarak metanol ve asetonitril'in birlikte kullanılması önerilmektedir (Başçı ve ark., 1998). Böylece, metanol-asetonitril-fosfat tamponu ( $20 \text{ mM}$ ,  $\text{pH}=3$ ) ( $40:10:50$ , h/h/h) ve  $10 \text{ mM}$  1-HSA içeren hareketli fazla çalışmalara başlanmış ve ilk olarak sonuçlar, literatürde daha kolay iyon çifti oluşturduğu belirtilen asetat tamponu ile karşılaştırılmıştır (Yardımcı ve ark., 2007). Asetat tamponu ile uygun koşullar elde edilememesi ve teorik tabaka sayısı düşerken kuyruklanma faktörünün artması üzerine, çalışmalara fosfat tamponu ile devam edilmiştir.

İlk olarak,  $\text{pH}$  2.5-5.5 aralığında, her  $\text{pH}$  değeri için üçer enjeksiyon yapmak suretiyle  $\text{pH}$  taraması yapılmıştır.  $\text{pH}$  değerlerine karşı, alikonma zamanları grafiğe geçirildiğinde BUP'un  $\text{pH}$  2.5-3.5 aralığında iyon çifti varlığındaki tipik bazik madde davranışını gösterdiği, 3.5 dan sonra ise iyon çifti yokmuş gibi davranışının görülmektedir (Ciolino ve ark., 1999). Ayrıca artan  $\text{pH}$  değerlerine karşı BUP pikinin teorik tabaka sayısı ( $N$ ) değişim grafiği incelemişinde, teorik tabaka sayısı, alikonma zamanı ile benzer şekilde değişmektedir. Alikonma zamanı ve teorik tabaka sayısı göz önüne alınarak, optimum  $\text{pH}$  değeri olarak 3.0 seçilmiştir (**Şekil 19**). Ayrıca pik simetrisi incelemişinde,  $\text{pH}$  3.0 değerinde kuyruklanma faktörü en düşük değerini almış ( $\text{tailing factor}=1.28$ ) ve en simetrik pikler elde edilmiştir.



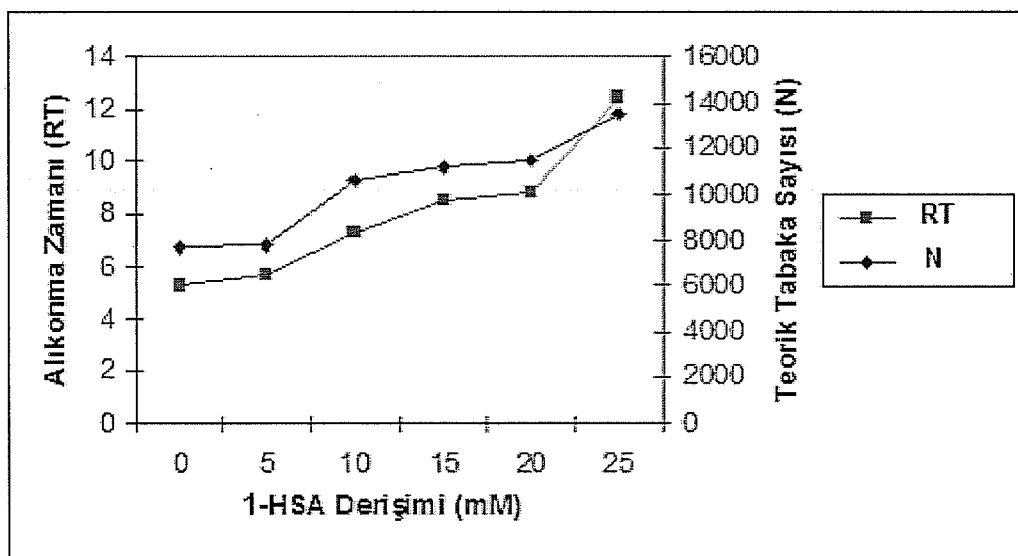
**Şekil 19. Alikonma Zamanı (RT) ve Teorik Tabaka Sayısının (N) pH'a Göre Değişim Grafiği**  
(Koşullar:Metanol-Asetonitril-Fosfat Tamponu (20 mM) (40:10:50, h/h/h) ve 10 mM 1-HSA)

Daha sonra, optimum organik çözücü yüzdesini bulabilmek için, değişik çözücü sistemleri denenmiş ve ilk olarak, asetonitril içermeyen ve 20 mM fosfat tamponu (pH=3), 10 mM 1-HSA ve % 50 oranında metanol'den oluşan bir hareketli faz hazırlanmıştır. Bu sisteme yapılan analiz sonucunda, toplam organik çözücü yüzdesi değişmemesine karşın, % 10'luk asetonitril'in yerine metanol'un kullanılmasının BUP'un alikonma zamanını büyük ölçüde etkilediği ve 7.3 dakikada gözlenen alikonma zamanının 10.8 dakikaya kaydığı görülmüştür. Bu durum, literatürde belirtilen asetonitril ve metanol'ün birer polarite ölçüsü olan çözünürlük parametresi ( $\delta$ ) ve polarite indis ( $P'$ ) yönünden farklılık gösterdiği ve metanol-su (50:50, h/h) karışımından oluşan bir hareketli faz ile asetonitril-su (38.5:61.5, h/h) karışımından oluşan bir hareketli fazın ancak izoeluatropik olduğu gerektiğini kanıtlamaktadır (Lindsay, 1992). Daha sonra, BUP alikonma zamanını öne çekmek ve dolayısıyla genişlemiş durumda görülen pik şeklini düzeltmek için 20 mM fosfat tamponu (pH=3), 10 mM 1-HSA ve % 60 oranında metanol içeren hareketli faz denenmiştir. Bu durumda da IS ve BUP'un alikonma zamanları aşırı şekilde azalmış, ayırım sağlanamamış ve dolayısıyla teorik tabaka sayısı azalmıştır. Bunun üzerine, toplam organik çözücü yüzdesi % 50, h/h değerinde tutulmak suretiyle asetonitril oranı % 5 ve % 20 arasında değiştirilerek her bir çözücü sistemi için kromatogramlar incelenmiş ve % 20 gibi yüksek oranda asetonitril içeren hareketli faz kullanıldığından BUP'un alikonma zamanı azalmış olmasına karşın, asetonitril'den kaynaklanan difüzyon nedeniyle BUP pik taban genişliğinin arttığı ve dolayısıyla teorik tabaka sayısının azaldığı bulunmuştur. % 45:5 ve % 40:10 oranlarında metanol-asetonitril içeren hareketli fazların her ikisi için de alikonma zamanları ve teorik tabaka sayıları birbirine yakın ve optimum düzeyde bulunmasına karşın, % 40:10 oranında metanol-asetonitril içeren hareketli faz, alikonma zamanının daha da düşük olması bakımından tercih edilmiştir (**Şekil 20**).



Şekil 20. Alikonma Zamanı (RT) ve Teorik Tabaka Sayısının (N) Çözücü Yüzdesine Göre Değişim Grafiği (Koşullar: Fosfat Tamponu (20 mM, % 50, pH:3) ve 10 mM 1-HSA)

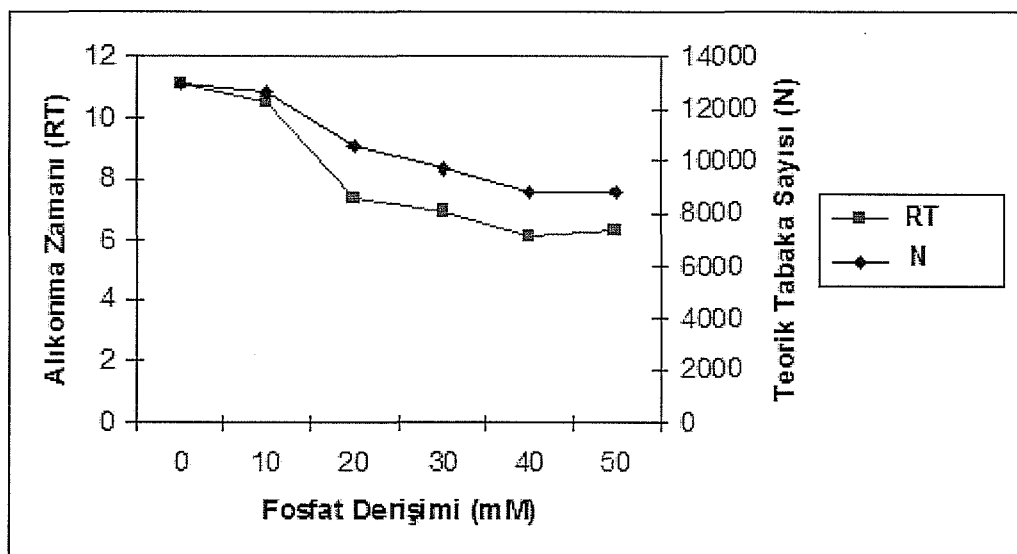
Daha sonra 1-HSA derişimi (0-25 mM) taraması yapılmış ve metanol-asetonitril-fosfat tamponun'dan (20 mM, pH:3) (40:10:50, h/h/h) oluşan hareketli faza 1-HSA eklenmediği zaman piklerin çok fazla öne geldiği, IS'nin safsızlıklarla birleştiği ve BUP pikinin 5.2 dakika olan alikonma zamanı ile teorik tabaka sayısının azaldığı görülmüştür. Ayrıca, 1-HSA miktarı arttıkça, kuyruklanma faktörü azalmakta, alikonma zamanı ve dolayısıyla teorik tabaka sayısı artmaktadır. Tüm değişkenler göz önüne alınarak, sonraki deneysel çalışmalarında 10 mM'lık derişimde 1-HSA kullanılmasına karar verilmiştir (Şekil 21).



Şekil 21. Alikonma Zamanı (RT) ve Teorik Tabaka Sayısının (N) 1-HSA Derişimine (mM) Göre Değişim Grafiği (Koşullar: Metanol-Asetonitril-Fosfat Tamponu (20 mM, pH:3) (40:10:50, h/h/h))

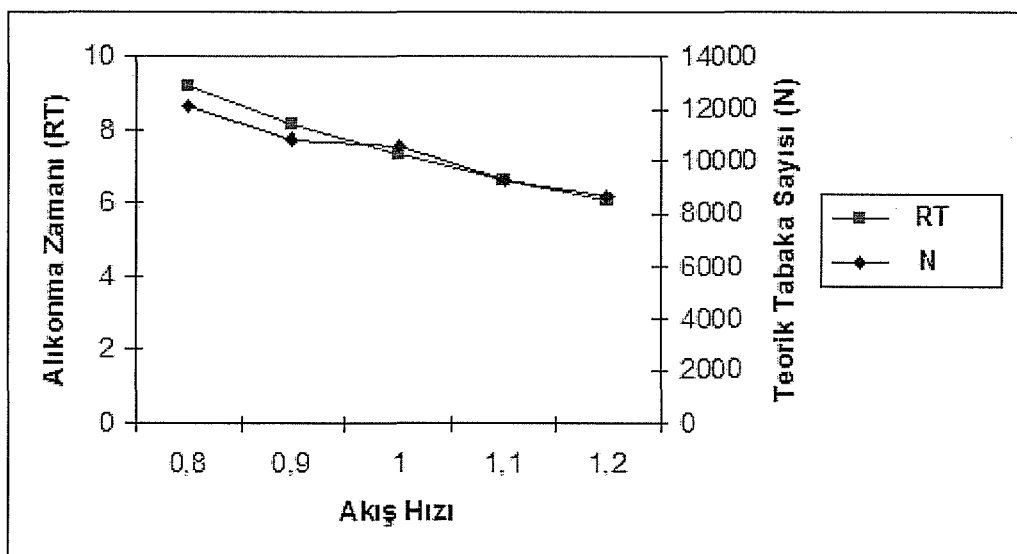
Optimizasyonun en önemli basamaklarından biri de fosfat tamponu derişiminin, pik yapısı ve alikonma zamanına etkisinin incelenmesidir ve bu işlem 0 ile 50 mM

aralığında yapılmıştır (**Şekil 22**). Fosfat tamponu eklenmediği zaman, alikonma zamanları oldukça artmaktadır, yüksek tampon derişimlerinde ise alikonma zamanları azalmasına karşın, kuyruklanma faktörü artışı ile birlikte oldukça düşük teorik tabaka sayısı elde edilmektedir. Ayrıca kolonun yüksek fosfat derişimleri ile yüklenmesinin önlenmesi durumu da düşünülerek, 20 mM fosfat derişimine karar verilmiştir.



**Şekil 22.** Alikonma Zamanı (RT) ve Teorik Tabaka Sayısının (N) Fosfat Derişimine (mM) Göre Değişim Grafiği (Koşullar: Metanol-Asetonitril-Fosfat Tamponu (pH:3) (40:10:50, h/h/h) ve 10 mM 1-HSA)

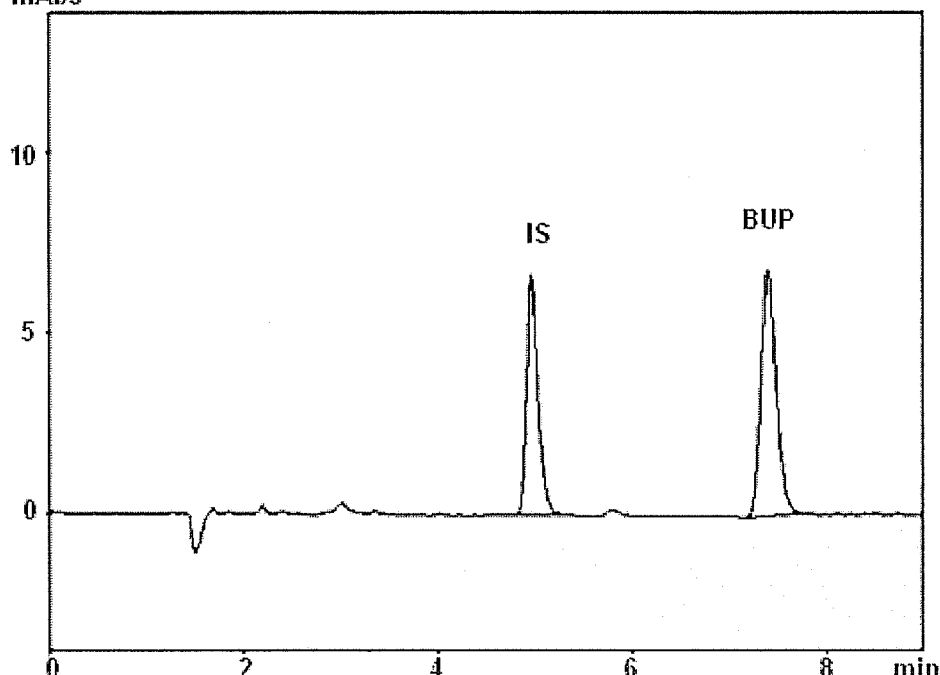
Yöntem optimizasyonunun son basamağı olarak, cihaz ile ilgili bir parametre olan akış hızı taramanmış ve  $0.8\text{-}1.2 \text{ mL}\cdot\text{dk}^{-1}$  aralığında yapılan tarama sonuçlarına göre, en uygun şartlar  $1 \text{ mL}\cdot\text{dk}^{-1}$  akış hızı ile sağlanmıştır (**Şekil 23**).



**Şekil 23.** Alikonma Zamanı (RT) ve Teorik Tabaka Sayısının (N) Akış Hızına Göre Değişim Grafiği (Koşullar: Metanol-Asetonitril-Fosfat Tamponu (20 mM, pH:3) (40:10:50, h/h/h), 10 mM 1-HSA)

Optimizasyon çalışmalarının sonucunda, metanol-asetonitril-fosfat tamponu (20 mM, pH=3) (40:10:50, h/h/h) ve 10 mM 1-HSA içeren hareketli faz ile  $1 \text{ mL}\cdot\text{dk}^{-1}$  akış hızında ve 254 nm dalga boyu kullanılarak, analizler yapılmış ve bu koşullarda IS olarak kullanılan CBZ ve BUP'un alikonma zamanları sırasıyla  $4.97 \pm 0.02$  dakika ( $n=8$ , BSS=% 0.46) ve  $7.42 \pm 0.04$  dakika ( $n=8$ , BSS=% 0.60) olarak bulunmuştur (Şekil 24).

mAbs



**Şekil 24.** Optimum Koşullarda BUP ( $7.16 \times 10^{-6}$  M) ve CBZ (IS,  $8.38 \times 10^{-6}$  M)'nin Kromatogramı

Şekil 24'de verilmiş olan kromatogramdan, değişik parametreler incelenmiş ve sistem uygunluk test sonuçları Çizelge 17'de verilmiştir. Sonuçlar FDA kriterlerine göre istenen değerlerle karşılaştırıldığında, bu değerlerle son derece uyumlu oldukları görülmüştür (Shabir, 2003).

**Çizelge 17.** BUP'un Sistem Uygunluk Parametreleri

Parametreler	Gözlenen Değer	İstenen Değer
Alikonma zamanı (dakika)	7.42	
Kapasite faktörü ( $k'$ )	3.40	>2
Kuyruklanma faktörü ( $T$ )	1.28	$\leq 2$
Ayırım ( $R_s$ )	9.15	>2
Teorik tabaka sayısı ( $N$ )	9849	>2000
% BSS ( $n=8$ )	0.60	$\leq 1$

## **YPSK yönteminin validasyonu**

### *Kesinlik (Precision)*

BUP'un  $1.79 \times 10^{-6}$ ,  $5.37 \times 10^{-6}$  ve  $8.95 \times 10^{-6}$  M derişimlerde elde edilen alan oranları, yöntemin kesinliğinin gösterilmesi için istatistiksel olarak değerlendirilmiştir. Sonuçlar, Çizelge 18'de verilmektedir.

Kesinlik sonuçlarına göre, % 1-2 dolayında BSS değerleri ile yüksek düzeyde tekrar edilebilirlik elde edilmiştir.

**Çizelge 18. BUP'un Gün İçi ve Günler Arası Tekrar Edilebilirlik Sonuçları**

$1.79 \times 10^{-6}$ M	Gün İçi Ortalama Kesinlik			Günler Arası Kesinlik
	I. Gün (n=7)	II. Gün (n=7)	III. Gün (n=7)	
OAO	0.358	0.353	0.337	0.354
SS	0.006	0.004	0.006	0.006
% BSS	1.54	1.07	1.88	1.75
SH	0.002	0.001	0.002	0.002

$5.37 \times 10^{-6}$ M	Gün İçi Ortalama Kesinlik			Günler Arası Kesinlik
	I. Gün (n=7)	II. Gün (n=7)	III. Gün (n=7)	
OAO	1.001	1.149	1.141	1.145
SS	0.006	0.010	0.006	0.008
% BSS	0.57	0.85	0.50	0.75
SH	0.002	0.004	0.002	0.002

$8.95 \times 10^{-6}$ M	Gün İçi Ortalama Kesinlik			Günler Arası Kesinlik
	I. Gün (n=7)	II. Gün (n=7)	III. Gün (n=7)	
OAO	1.900	1.783	1.840	1.852
SS	0.016	0.009	0.014	0.036
% BSS	0.84	0.51	0.76	1.97
SH	0.006	0.003	0.005	0.010

### *Doğrusallık (Linearity)*

$4.48 \times 10^{-7}$ - $1.78 \times 10^{-5}$  M derişim aralığındaki kalibrasyon çözeltileri analiz edildikten sonra istatistiksel değerlendirmeye göre elde edilen sonuçlar, **Çizelge 19**'da verilmektedir.

**Çizelge 19.  $4.48 \times 10^{-7}$ - $1.78 \times 10^{-5}$  M Derişim Aralığındaki BUP'un 254 nm'deki Doğrusallığı**

	Gün İçi			Günler Arası
	1. Gün (n=7)	2. Gün (n=7)	3. Gün (n=7)	Tüm Günler (n=21)
Eğim, a	209400	174000	180200	176800
Kesim, b	0.028	0.054	0.027	0.045
Korelasyon Katsayısı, r	0.9994	0.9993	0.9998	0.9994
Eğimin Standart Hatası	3190	2927	1289	1609
Kesimin Standart Hatası	0.019	0.025	0.011	0.012

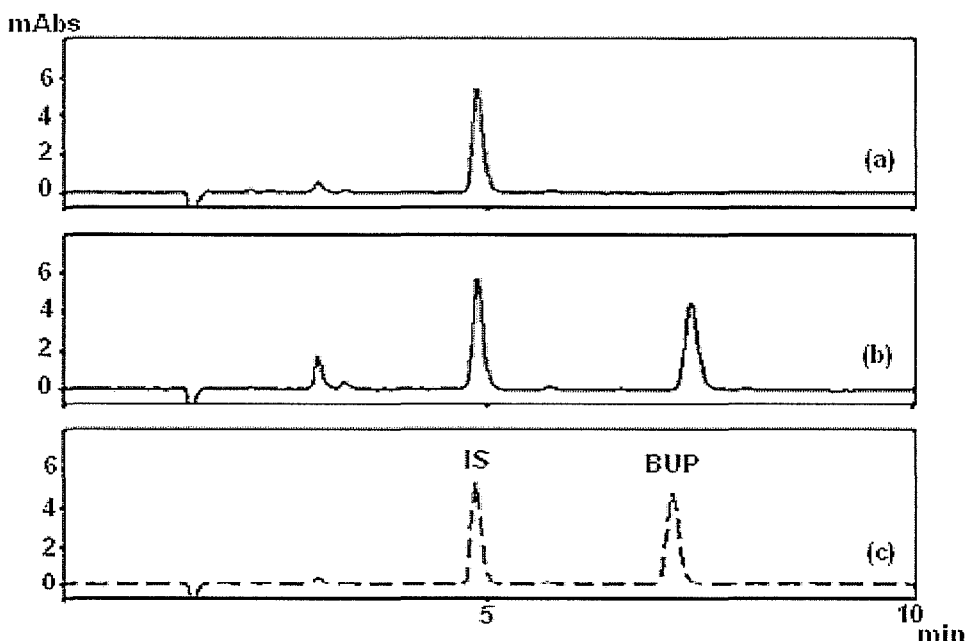
**Çizelge 19**'da görüldüğü gibi, geliştirilmiş olan spektroskopik yöntemler ve İTK yöntemine göre daha yüksek korelasyon katsayısına sahip doğrusal eşitlikler elde edilmiştir.

### *Saptama sınırı ve tayin alt sınırı (LOD and LOQ)*

BUP'un YPSK yöntemiyle LOD ve LOQ değerleri, sırasıyla  $1.34 \times 10^{-8}$  M ve  $4.06 \times 10^{-8}$  M olarak hesaplanmıştır.

### *Doğruluk (Accuracy)*

Yöntem doğruluğu, deneysel bölümde belirtildiği şekilde araştırılmış ve Zyban® tablet içindeki yardımcı maddelerin BUP tayininin doğruluğuna etkisinin olmadığı gösterilmiştir (**Şekil 25**).



**Şekil 25. Optimum Koşullarda BUP ve CBZ (IS)'nin Tablet Analizlerindeki Kromatogramı**  
 (a) BUP Eklenmemiş Tablet Matriksi (b)  $5.37 \times 10^{-6}$  M BUP Eklenmiş Tablet Matriksi (c) Ticari Tablet

$1.79 \times 10^{-6}$ ,  $5.37 \times 10^{-6}$  ve  $8.95 \times 10^{-6}$  M derişimlerdeki BUP çözeltilerinin matriks çözeltisine eklenerek karıştırılması, YPSK yöntemi kullanılarak analiz edilmesi ve BUP içeriğine karşılık gelen alan oranı değerlerinin kalibrasyon eşitliğinde çözülmüşle hesaplanan yüzde geri kazanım ve yüzde bağıl hata değerleri Çizelge 20'de verilmiştir.

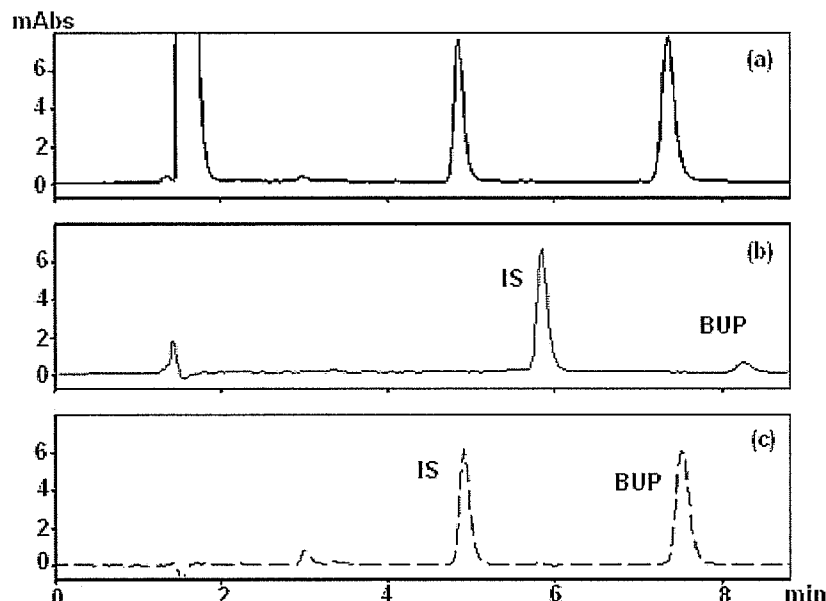
**Çizelge 20. YPSK Yönteminin Doğruluk Sonuçları (n=7)**

Standart BUP (M)	Bulunan BUP (M) (ortalama $\pm$ SS)	Geri Kazanım (%)	BH (%)	BSS (%)
$1.79 \times 10^{-6}$	$1.77 \times 10^{-6} \pm 2.72 \times 10^{-8}$	98.66	-1.34	1.54
$5.37 \times 10^{-6}$	$5.47 \times 10^{-6} \pm 3.10 \times 10^{-8}$	101.87	1.87	0.57
$8.95 \times 10^{-6}$	$9.01 \times 10^{-6} \pm 7.59 \times 10^{-8}$	100.71	0.71	0.84
Matrikse Eklendi BUP (M)	Bulunan BUP (M) (ortalama $\pm$ SS)	Geri Kazanım (%)	BH (%)	BSS (%)
$1.79 \times 10^{-6}$	$1.82 \times 10^{-6} \pm 1.6 \times 10^{-8}$	101.59	1.59	0.87
$5.37 \times 10^{-6}$	$5.47 \times 10^{-6} \pm 4.89 \times 10^{-8}$	101.86	1.86	0.89
$8.95 \times 10^{-6}$	$9.07 \times 10^{-6} \pm 6.27 \times 10^{-8}$	101.35	1.35	0.69

Çizelge 20'de YPSK yönteminin doğruluk sonuçlarının kabul edilebilirlik kriteri dahilinde olduğu ve Zyban® tablet içindeki yardımcı maddelerin BUP tayininin doğruluğuna etkisinin olmadığı görülmektedir (ICH Q2(R1), 2005).

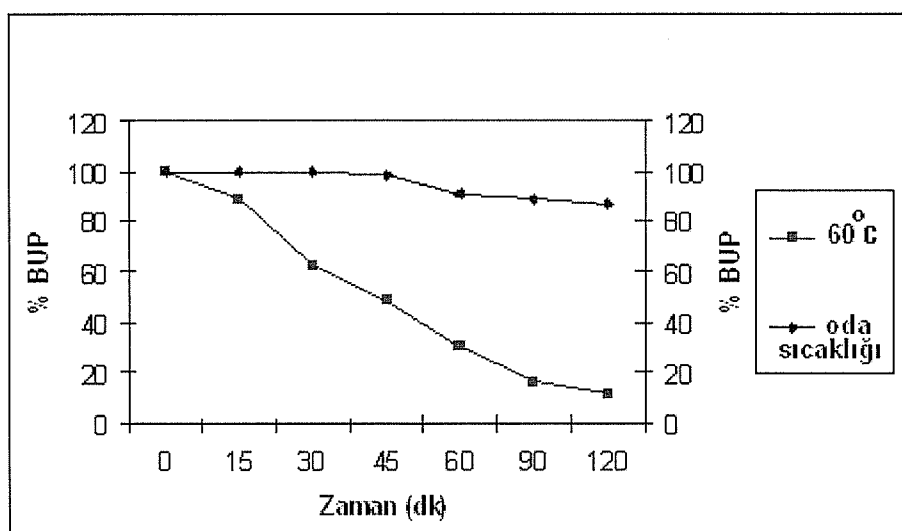
### Özgünlük (Specificity)

Özgünlük çalışması sonucu elde edilen veriler incelendiğinde, BUP'un hem oda sıcaklığında hem de  $60^{\circ}\text{C}$  sıcaklıkta asit çözeltisi içinde herhangi bir bozunmaya uğramadığı ve 120 dakika boyunca kararlı olduğu görülmektedir (**Şekil 26c**). Bu durum literatürde geçen, BUP'un asit kararlılığı verilerini doğrulamaktadır (Laizure ve DeVane, 1985).



**Şekil 26.** Optimum Koşullarda BUP ve CBZ (IS)'nin Yöntem Özgünlük Sonuçları (a) % 3'lük  $\text{H}_2\text{O}_2$  İçerisinde Hazırlanmış BUP (b) 0.1 N NaOH İçerisinde Hazırlanmış BUP (c) 0.1 N HCl İçerisinde Hazırlanmış BUP

Bazla muamele edilen numunelerin kromatogramları incelendiğinde, çözücü pikinin olduğu yerde gelen pik haricinde herhangi bir bozunma piki oluşmamasına karşın, (**Şekil 26b**) oda sıcaklığında daha yavaş olmak üzere;  $60^{\circ}\text{C}$  sıcaklığında hızlı bir şekilde bozunma olmuştur (**Şekil 27**).



**Şekil 27.** Oda Sıcaklığında ve  $60^{\circ}\text{C}$  Sıcaklıkta, Bazla Muamele Karşısında Zamana Karşı % BUP Değişim Grafiği

% 3'lük peroksit ile muamele edilen numuneler, oda sıcaklığında herhangi bir bozunmaya uğramamış, 60°C sıcaklıkta ise 90 dakikadan sonra % 6-7 oranında bir bozunma görülmüştür. % 3'lük peroksit ile muamele edilen numunelerin kromatogramlarının tümünde 1.5 dakikada gelen 3-4 milyon alana sahip bir pik bulunmaktadır ve bundan başka herhangi bir yabancı pik oluşmamıştır (**Şekil 26a**).

#### *Sağlamlık (Robustness)*

Deneysel parametrelerdeki küçük değişiklikler sonucunda pik alan oranlarının % BSS ve SH değerleri hesaplanmıştır ve **Çizelge 21**'de belirtilmiştir. Elde edilen düşük % BSS değerleri (<2) yöntemin sağlamlığını göstermektedir (Dejaegher ve Vander Heyden, 2007).

**Çizelge 21. YPSK Yönteminin Sağlamlık Sonuçları (n=3,  $5.37 \times 10^{-6}$  M BUP)**

Parametre	% BSS	SH
1) Hareketli faz pH'ı (2.9, 3 ve 3.1)	0.90	0.005
2) Akış hızı (0.9, 1 ve 1.1 mL.dk <sup>-1</sup> )	0.75	0.005
3) Fosfat derişimi (18, 20 ve 22 mM)	0.96	0.006
4) 1-HSA derişimi (8, 10 ve 12 mM)	0.91	0.006
5) Dalga boyu (252, 254 ve 256 nm)	1.27	0.008
6) Organik faz yüzdesi (% 48, % 50 ve % 52)	0.71	0.004

#### *Tutarlılık (Ruggedness)*

Geliştirilen metodun  $5.37 \times 10^{-6}$  M'lık BUP derişiminde, aynı cihaz ile farklı analizciler tarafından ve farklı günlerde uygulanması ile yapılan analizler ve istatistiksel hesaplamalara göre, sonuçlar oldukça tekrar edilebilir bulunmuş ve analizciler arasında önemli bir fark görülmemiştir (**Çizelge 22**). Ayrıca, pik alanları için elde edilen düşük % BSS (<2) değerleri, yöntemin tutarlığını kanıtlamaktadır (Dejaegher ve Vander Heyden, 2007).

**Çizelge 22. YPSK Yönteminin Tutarlılık Sonuçları (n=7,  $5.37 \times 10^{-6}$  M BUP)**

	I. Analizci	II. Analizci
Ortalama ± SS (n=7)	$5.39 \times 10^{-6} \pm 4.20 \times 10^{-8}$	$5.41 \times 10^{-6} \pm 4.94 \times 10^{-8}$
% BSS	0.78	0.91
t-Testi (p<0.05)	1.18	Tablo $t_{0.05}= 2.57$
F-Testi (p<0.05)	0.72	Tablo $F_{0.05}= 5.05$

#### *BUP içeren tabletlerde miktar tayini*

Validasyonu gösterilen YPSK yönteminin uygulaması, farmasötik tabletlerde yapılmış ve analiz sonuçları **Çizelge 23**'de sunulmuştur. Tablet bileşenlerinden

kaynaklanan ve ölçümleri etkileyeyecek hiç bir girişim gözlenmemiş ve Zyban® tablet içeriği farmakopenin gerektirdiği aralıkta bulunmuştur (USP 29, 2006).

**Çizelge 23. Tablet Analizi Sonuçları (n=9,  $5.37 \times 10^{-6}$  M BUP)**

	BUP (mg)	% BUP
Ortalama	152.76	101.84
SS	0.60	0.40
% BSS	0.39	0.39

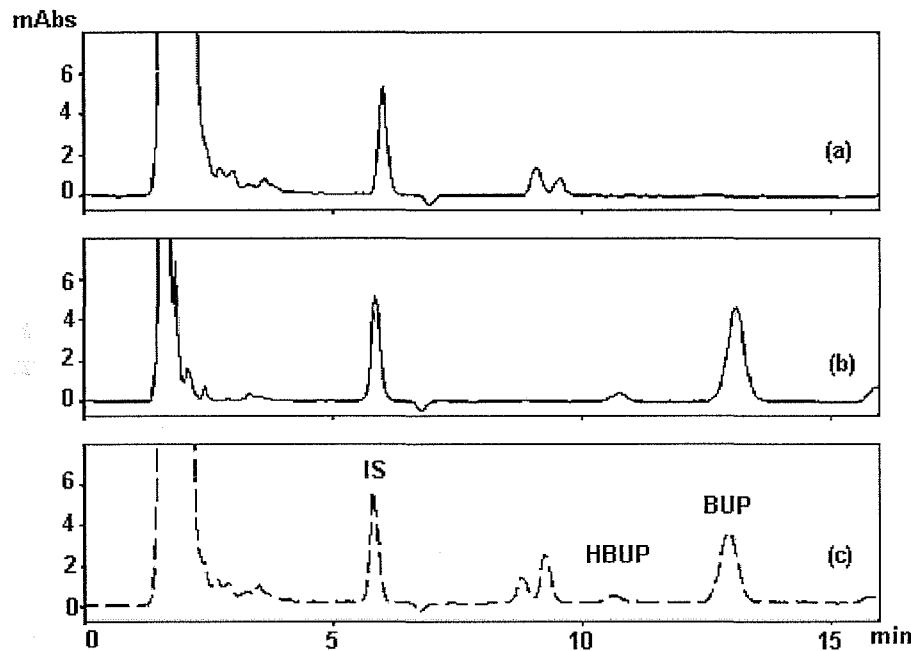
Ayrıca Zyban® tablet için YPSK ve İTK yöntemleri ile bulunan tablet içeriği sonuçları, Wilcoxon testi kullanılarak %95'lik önem düzeyinde istatistiksel olarak karşılaştırılmış ve iki yöntem arasında fark olmadığı bulunmuştur ( $P_H=0.5625$ ).

## BUP ve HBUP'un YPSK Yöntemi ile Plazmada Miktar Tayini

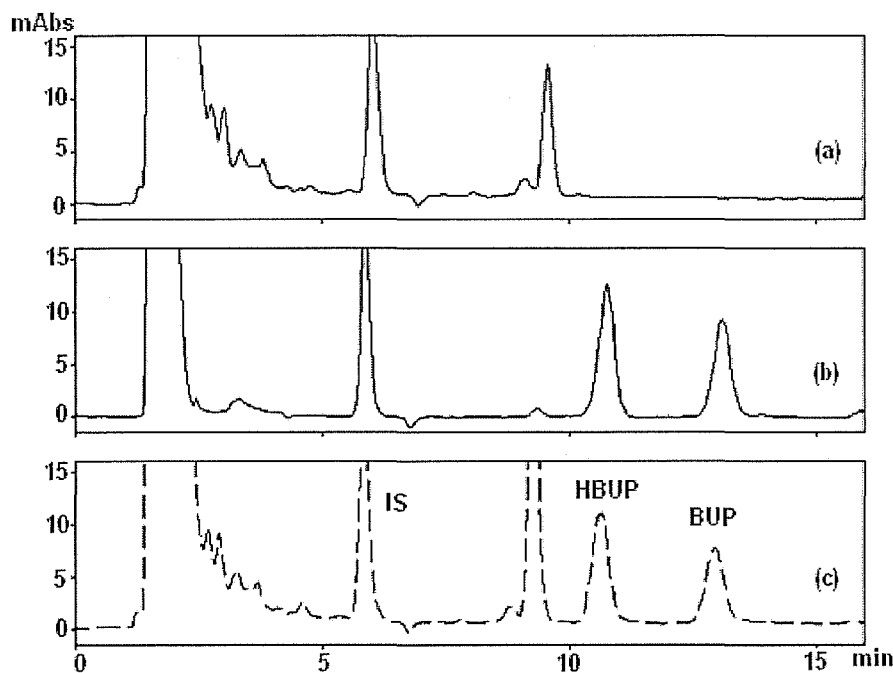
### *YPSK yönteminin optimizasyonu*

BUP'un farmasötik tabletlerindeki tayini için yapılan optimizasyon çalışmalarının sonucunda metanol-asetonitril-fosfat tamponu (20 mM, pH=3) (40:10:50, h/h/h) ve 10 mM 1-HSA içeren hareketli faz ile 1 mL.dk<sup>-1</sup> akış hızında ve 254 nm dalga boyu kullanılarak, analizler yapılmış ve bu koşullarda IS olarak kullanılan CBZ'nin ve BUP'un alikonma zamanları sırasıyla  $4.97 \pm 0.02$  (n=8, BSS=% 0.46) ve  $7.42 \pm 0.04$  (n=8, BSS=% 0.60) dakika olarak bulunmuştur. Daha sonra BUP ve HBUP'un plazmadaki tayini için HBUP bu sisteme verildiğinde, alikonma zamanı 6.7 dakika olarak gözlenmiştir. Ayrıca plazmada analiz yapıldığında, 2. dakikada plazmadan kaynaklanan çok büyük bir pik görülmektedir. HBUP'un 254 nm dalga boyunda absorbansının düşük olması, HBUP analizi için 214 nm dalga boyunun kullanılmasını zorunlu kılmaktadır. Bu dalga boyunda saptama yaparken, 2. dakikada gelen pik 5. dakika'ya kadar genişlemekte, bu şartlarda analizi zorlaştırmaktadır. Önceden yapılan optimizasyon çalışmalarında, fosfat tamponu derişiminin azaltılması ile alikonma zamanlarının arttığı; ayrıca pik morfolojisinde önemli bir fark olmadığı görülmüştür. Bu verilerden yararlanılarak, BUP ve HBUP'un plazmadaki analizi için hareketli fazı oluştururken fosfat tamponunun 20 mM yerine 10 mM'lık derişimde kullanılması düşünülmüştür. Böylece maddelerin alikonma zamanlarının ileriye kayması ve safsızlıktan uzaklaşması planlanmıştır. IS, HBUP ve BUP için sırasıyla 5.5, 9 ve 11 dakika olan alikonma zamanları uygun olmasına karşın, yalnızca plazma kromatogramlarında HBUP'dan hemen önce gelen ve ondan ayrılmamış olan büyük bir pik görülmektedir. Alikonma zamanlarını büyük ölçüde değiştirmeden, HBUP ve safsızlık ayrimını sağlayabilmek için, 10 mM olan 1-HSA derişimi 15 mM'a çıkarılmıştır. Bu derişimde bir düzelleme kaydedilmesine karşın, iyi bir ayırım sağlanamamıştır. Bunun üzerine 20 mM derişimde 1-HSA uygulanmış ve tüm pikler için iyi bir ayırım gerçekleştirilmiştir. Sonuç olarak, metanol-asetonitril-fosfat tamponu (10 mM, pH=3) (40:10:50, h/h/h) ve 20 mM 1-HSA içeren hareketli faz ile 1 mL.dk<sup>-1</sup> akış hızında, 254 ve 214 nm dalga boyları kullanılarak analizler yapılmış ve bu koşullarda IS olarak önceki analizlerde

olduğu gibi CBZ kullanılmıştır. 254 ve 214 nm dalga boylarında ayrı ayrı boş plazma örneğinin, BUP ve HBUP eklenmiş plazma örneğinin ve aynı derişimde hazırlanmış sulu ortamındaki standart BUP ve HBUP çözeltilerinin kromatogramları alınmış ve **Şekil 28-29**'da verilmiştir.



**Şekil 28.** 254 nm'de Kaydedilmiş (a) IS Eklenmiş Boş Plazma Kromatogramı (b) Standart BUP ( $1.79 \times 10^{-5}$  M) ve HBUP'un ( $6.10 \times 10^{-5}$  M) Kromatogramı (c) BUP ( $1.79 \times 10^{-5}$  M) ve HBUP ( $6.10 \times 10^{-5}$  M) Eklenmiş Plazma Kromatogramı



**Şekil 29.** 214 nm'de Kaydedilmiş (a) IS Eklenmiş Boş Plazma Kromatogramı (b) Standart BUP ( $1.79 \times 10^{-5}$  M) ve HBUP'un ( $6.10 \times 10^{-5}$  M) Kromatogramı (c) BUP ( $1.79 \times 10^{-5}$  M) ve HBUP ( $6.10 \times 10^{-5}$  M) Eklenmiş Plazma Kromatogramı

### **YPSK yönteminin validasyonu**

*Kesinlik ve geri kazanım oranı (Precision and Recovery)*

Yöntemin kesinliğinin incelenmesi amacıyla, hazırlanan ve plazmaya eklenmiş olan BUP'un  $1.43 \times 10^{-6}$ ,  $3.59 \times 10^{-6}$  ve  $1.79 \times 10^{-5}$  M derişimlerde, HBUP'un ise  $2.03 \times 10^{-6}$ ,  $4.88 \times 10^{-6}$  ve  $6.10 \times 10^{-5}$  M derişimlerde elde edilen alan oranları, yöntemin kesinliğinin gösterilmesi için istatistiksel olarak değerlendirilmiş ve sonuçlar, **Çizelge 24** ve **25**'de verilmiştir.

**Çizelge 24. Plazmaya Eklenmiş Olan BUP'un Gün İçi ve Günler Arası Tekrar Edilebilirlik Sonuçları**

$1.43 \times 10^{-6}$ M	Gün İçi Ortalama Kesinlik			Günler Arası Kesinlik
	I. Gün (n=6)	II. Gün (n=6)	III. Gün (n=6)	
OAO	0.1518	0.1477	0.1360	0.1474
SS	0.003	0.003	0.002	0.005
% BSS	1.74	1.90	1.40	3.26
SH	0.001	0.001	0.001	0.001

$3.59 \times 10^{-6}$ M	Gün İçi Ortalama Kesinlik			Günler Arası Kesinlik
	I. Gün (n=6)	II. Gün (n=6)	III. Gün (n=6)	
OAO	0.3223	0.3295	0.3278	0.3266
SS	0.003	0.006	0.006	0.006
% BSS	1.01	1.82	1.92	1.82
SH	0.001	0.002	0.002	0.001

$1.79 \times 10^{-5}$ M	Gün İçi Ortalama Kesinlik			Günler Arası Kesinlik
	I. Gün (n=6)	II. Gün (n=6)	III. Gün (n=6)	
OAO	1.589	1.592	1.510	1.577
SS	0.015	0.012	0.015	0.031
% BSS	0.97	0.77	1.01	1.99
SH	0.006	0.005	0.006	0.008

**Çizelge 25. Plazmaya Eklenmiş Olan HBUP'un Gün İçi ve Günler Arası Tekrar Edilebilirlik Sonuçları**

	2.03x10 <sup>-6</sup> M	Gün İçi Ortalama Kesinlik			Günler Arası Kesinlik
		I. Gün (n=6)	II. Gün (n=6)	III. Gün (n=6)	
OAO	0.046	0.045	0.045	0.045	
SS	0.001	0.001	0.001	0.001	
% BSS	2.15	2.61	1.67	1.92	
SH	0.0004	0.0005	0.0003	0.0002	
	4.88x10 <sup>-6</sup> M	Gün İçi Ortalama Kesinlik			Günler Arası Kesinlik
		I. Gün (n=6)	II. Gün (n=6)	III. Gün (n=6)	
OAO	0.1075	0.1048	0.1120	0.1074	
SS	0.002	0.002	0.002	0.003	
% BSS	2.10	2.04	1.60	2.86	
SH	0.001	0.001	0.001	0.001	
	6.10x10 <sup>-5</sup> M	Gün İçi Ortalama Kesinlik			Günler Arası Kesinlik
		I. Gün (n=6)	II. Gün (n=6)	III. Gün (n=6)	
OAO	1.068	1.014	1.033	1.042	
SS	0.020	0.018	0.012	0.020	
% BSS	1.84	1.80	1.22	1.90	
SH	0.008	0.007	0.005	0.005	

Kesinlik sonuçlarına göre, tümü % 3'den küçük olacak şekilde BSS değerleri ile yüksek düzeyde tekrar edilebilirlik elde edilmiştir.

Elde edilen sonuçlar, aynı derişimde hazırlanmış sulu ortamda standart BUP ve HBUP çözeltilerinin sonuçları ile karşılaştırılarak, geri kazanım oranları belirlenmiştir. Sonuçlar, **Çizelge 26 ve 27**'de verilmektedir.

**Çizelge 26. BUP'un Plazmada Kesinliği ve Geri Kazanım Oranı (gün=3, n=6)**

Derişim (M)		Geri Kazanım (%)	BSS (%)
	Eklenen      Bulunan (ortalama ± SS)		
Gün İçi	1.43x10 <sup>-6</sup>	1.17x10 <sup>-6</sup> ± 1.63x10 <sup>-8</sup>	81.88
	3.59x10 <sup>-6</sup>	2.65x10 <sup>-6</sup> ± 5.10x10 <sup>-8</sup>	73.79
	1.79x10 <sup>-5</sup>	1.45x10 <sup>-5</sup> ± 1.12x10 <sup>-7</sup>	81.10
Günler Arası	1.43x10 <sup>-6</sup>	1.16x10 <sup>-6</sup> ± 2.21x10 <sup>-8</sup>	81.42
	3.59x10 <sup>-6</sup>	2.97x10 <sup>-6</sup> ± 5.40x10 <sup>-8</sup>	82.74
	1.79x10 <sup>-5</sup>	1.46x10 <sup>-5</sup> ± 1.47x10 <sup>-7</sup>	81.79

**Çizelge 27. HBUP'un Plazmada Kesinliği ve Geri Kazanım Oranı (gün=3, n=6)**

Derişim (M)		Geri Kazanım (%)	BSS (%)
	Eklenen      Bulunan (ortalama ± SS)		
Gün İçi	2.03x10 <sup>-6</sup>	1.74x10 <sup>-6</sup> ± 2.90x10 <sup>-8</sup>	85.82
	4.88x10 <sup>-6</sup>	4.50x10 <sup>-6</sup> ± 7.19x10 <sup>-8</sup>	92.26
	6.10x10 <sup>-5</sup>	5.40x10 <sup>-5</sup> ± 6.57x10 <sup>-7</sup>	88.53
Günler Arası	2.03x10 <sup>-6</sup>	1.69x10 <sup>-6</sup> ± 4.39x10 <sup>-8</sup>	83.02
	4.88x10 <sup>-6</sup>	4.49x10 <sup>-6</sup> ± 9.43x10 <sup>-8</sup>	92.01
	6.10x10 <sup>-5</sup>	5.24x10 <sup>-5</sup> ± 9.66x10 <sup>-7</sup>	85.90

Çizelge 26 ve 27'de görüldüğü gibi BUP için ortalama olarak % 80, HBUP için ise % 90 dolayında oldukça yüksek geri kazanım elde edilmiştir.

#### *Doğrusallık (Linearity)*

Öncelikle plazma analizleri ile aynı prosedür kullanılarak, sulu ortamda hazırlanmış standart BUP ve HBUP çözeltilerinin artan derişimlerine karşılık gelen pik alan oranları (BUP'un veya HBUP'un pik alanı/IS'nin pik alanı) araştırılmış ve doğrusallık sonuçları Çizelge 28 ve 29'da belirtilmiştir.

**Çizelge 28.  $4.48 \times 10^{-7}$ - $1.79 \times 10^{-5}$  M Derişim Aralığında Standart BUP'un 254 nm'deki Doğrusallığı**

	Gün İçi			Günler Arası
	1. Gün (n=6)	2. Gün (n=6)	3. Gün (n=6)	Tüm Günler (n=18)
Eğim, a	140500	99830	144000	143500
Kesim, b	-0.020	-0.020	-0.067	-0.063
Korelasyon Katsayısı, r	0.9996	0.9995	0.9998	0.9984
Eğimin Standart Hatası	1325	1083	940.1	1546
Kesimin Standart Hatası	0.011	0.009	0.012	0.015

**Çizelge 29.  $1.02 \times 10^{-6}$ - $6.09 \times 10^{-5}$  M Derişim Aralığında Standart HBUP'un 214 nm'deki Doğrusallığı**

	Gün İçi			Günler Arası
	1. Gün (n=6)	2. Gün (n=6)	3. Gün (n=6)	Tüm Günler (n=18)
Eğim, a	29180	26970	36560	29740
Kesim, b	-0.006	-0.049	-0.050	-0.022
Korelasyon Katsayısı, r	0.9998	0.9990	0.9996	0.9981
Eğimin Standart Hatası	187.8	426.4	368.2	376.6
Kesimin Standart Hatası	0.003	0.011	0.011	0.008

Çizelge 28 ve 29'da görüldüğü gibi, belirtilen derişim aralıklarında sulu ortamda hazırlanmış BUP ve HBUP çözeltileri için yüksek korelasyon katsayılarına sahip, doğrusal eşitlikler elde edilmiştir.

Daha sonra, birbirini takip eden 3 günde, plazmaya eklenmiş olan BUP ve HBUP çözeltilerinin pik sinyalleri kaydedilerek, artan derişimler ile karşılık gelen pik alan oranları değerleri arasındaki ilişki istatistiksel olarak değerlendirilmiş ve elde edilen sonuçlar, Çizelge 30 ve 31'de verilmiştir.

**Çizelge 30.  $8.97 \times 10^{-7}$ - $1.79 \times 10^{-5}$  M Derişim Aralığında Plazmaya Eklenmiş Olan BUP'un 254 nm'deki Doğrusallığı**

	Gün İçi			Günler Arası
	1. Gün (n=6)	2. Gün (n=6)	3. Gün (n=6)	Tüm Günler (n=18)
Eğim, a	106100	101200	96290	104900
Kesim, b	-0.004	-0.008	-0.043	-0.030
Korelasyon Katsayısı, r	0.9993	0.9982	0.9991	0.9981
Eğimin Standart Hatası	1386	2121	1432	1255
Kesimin Standart Hatası	0.014	0.018	0.010	0.010

**Çizelge 31.  $2.03 \times 10^{-6}$ - $5.49 \times 10^{-5}$  M Derişim Aralığında Plazmaya Eklenmiş Olan HBUP'un 214 nm'deki Doğrusallığı**

	Gün İçi			Günler Arası
	1. Gün (n=6)	2. Gün (n=6)	3. Gün (n=6)	Tüm Günler (n=18)
Eğim, a	28910	20720	20160	20400
Kesim, b	-0.009	-0.010	-0.003	0.002
Korelasyon Katsayısı, r	0.9998	0.9998	0.9986	0.9983
Eğimin Standart Hatası	207.8	144.3	380.4	226.8
Kesimin Standart Hatası	0.006	0.005	0.009	0.006

#### *Saptama sınırı ve tayin alt sınırı (LOD and LOQ)*

BUP'un plazmada YPSK yöntemiyle LOD ve LOQ değerleri, sırasıyla  $9.09 \times 10^{-8}$  M ve  $2.76 \times 10^{-7}$  M olarak hesaplanmıştır. HBUP'un LOD ve LOQ değerleri ise,  $4.68 \times 10^{-7}$  M ve  $1.42 \times 10^{-6}$  M olarak bulunmuştur.

## **SONUÇ ve ÖNERİLER**

Bupropion hidroklorür (BUP), fenilaminoketon grubu atipik bir antidepressan ajandır. BUP'un sürekli salım formülasyonu (Zyban®), FDA tarafından 1997 yılında kabul edilmiş olmasına karşın, BUP tayinini içeren çalışma sayısı fazla değildir ve literatürde BUP'un farmasötik formlarındaki miktar tayini konusunda çalışma bulunmamaktadır.

Bu çalışmada öncelikle, BUP'un farmasötik tabletlerindeki tayini için potansiyometri, kondüktometri ve spektrofotometri gibi basit, güvenilir, pahalı çözümü ve ekipman gerektirmeyen dolayısıyla analiz maliyeti düşük olan, iyi bilinen ve sıkılıkla her laboratuvara kullanılan klasik analiz yöntemleri geliştirilmiştir. Spektrofotometrik yöntemler iki tane olup, biri UV-spektrofotometri diğer ise ikinci türev spektrofotometri yöntemidir. Belirtilen yöntemler bilindiği gibi seçici yöntemler olmayıp, bu yöntemlerle maddelerin ayrimı mümkün değildir. Diğer yandan, spektrofotometrik yöntemler, potansiyometri ve kondüktometri yöntemleri ile karşılaşıldığında önemli üstünlükler sahiptir. Örneğin spektrofotometrik bir analiz yaparken  $10^{-5}$  M'lık derişim düzeyinde ve 1 mL'lik hacimde çözelti kullanılmaktadır. Potansiyometrik ve kondüktometrik yöntemlerde ise, her analiz için bir tablet ağırlığına eşdeğer miktarda standart madde gerekmekte ve daha az standart madde kullanıldığında uygun potansiyometrik ve kondüktometrik eğriler elde edilememektedir. Aşırı miktarda standart BUP kullanımından kaynaklanan yüksek analiz maliyetini önlemek için, potansiyometri ve kondüktometri yöntemlerinde validasyon yapılmamış ve spektrofotometrik yöntemler, validasyon yapılmış daha güvenilir ve daha duyarlı yöntemler olarak kabul edilmiştir. Diğer yandan, potansiyometri ve kondüktometri yöntemlerinde spektrofotometrik yöntemlerin aksine, bulanık çözeltilerle çalışılabildeği için tablet çözeltilerini süzmeye gerek duyulmamakta ve bu durum zamandan kazanç sağlamaktadır.

Daha sonra, etkin maddenin kararlılığının araştırıldığı ve yöntemin BUP tabletlerine uygulandığı, önceden bahsedilmiş olan yöntemler gibi basit, güvenilir, analiz maliyeti düşük aynı zamanda seçici ve spektrofotometrik yöntemlerden daha duyarlı bir İTK yöntemi geliştirilmiştir. USP 29, (2006) BUP monografında bulunan, BUP safsızlığı m-klorobenzoik asit için kullanılmış olan İTK yöntemi, BUP tayini için uygulanmış ve yöntemin uygun olmadığı ve bu amaçla kullanılamayacağı gösterilmiştir. Bu yönden yapılan çalışma orjinallik özelliğini taşımaktadır. İTK yönteminin YPSK yöntemi ile karşılaşıldığında en büyük üstünlüğü, numunenin doğrudan uygulanabilmesi ve saflaştırma basamaklarına gerek duyulmamasıdır. Ayrıca çok az miktarda hareketli faz yardımıyla, çok sayıda numunenin analizi aynı anda yapılabilmektedir (Agrawal ve ark., 2003; Kaul ve ark., 2004; Motwani ve ark., 2006; Venkatachalam ve Chatterjee, 2007). Örneğin, YPSK yöntemi ile çalışırken tek bir analiz için yaklaşık 30-40 dakika harcanmakta bu da 30-40 mL hareketli faz harcanmasına karşılık gelmektedir. İTK yönteminde ise 20 mL hareketli faz kullanılarak, tek bir plak üzerine 20 uygulama yapılabilir. Ayrıca, İTK yönteminde YPSK yönteminin aksine, kolonun yıkanması ve şartlandırılması aşamalarına gerek yoktur. Bu durum, zamandan önemli bir kazanç sağlamaktadır. Belirtilmiş olan üstünlüklerine karşın, duyarlılık YPSK yöntemindeki kadar yüksek değildir. Ayrıca, uygulama ve tarama cihaz tarafından yapılmasına karşın, maddenin hareketli faz yardımıyla plak üzerinde

yürütülmesi aşamasının dışında analizci tarafından yapılıyor olması ve kromatografi basamaklarının arka arkaya analizci tarafından takip edilmesi, analizci kaynaklı hatalara sebep olabilmektedir. Yüksek duyarlılık ve otomasyona sahip YPSK yönteminde ise bu durum söz konusu değildir. Geliştirilmiş olan İTK yöntemi, BUP'un plazmadaki tayinine de uygulanmış ve kesinlik, doğrusallık, geri kazanım, saptama sınırı ve tayin alt sınırını kapsayan validasyon parametreleri plazmada gösterilmiştir. Ortalama olarak % 87 dolayında, oldukça yüksek bir geri kazanım ve düşük bağıl standart sapma değerleri ile yüksek düzeyde kesinlik elde edilmiştir, fakat BUP ve HBUP'un birlikte tayinini sağlamak için gerekli duyarlılık sağlanamamıştır.

İTK yönteminden sonra literatürdeki bir çalışmadan yola çıkarak ve BUP'un zayıf bazik yapısını da göz önünde bulundurarak, BUP'un farmasötik tabletlerinde tayini için bir YPSK yöntemi geliştirilmiştir (Ciolino ve ark., 1999). Yöntemin optimizasyon aşamasında her parametre ayrı ayrı ele alınmış ve parametrelerdeki değişikliklerin BUP pikinin teorik tabaka sayısı ve alikonma zamanı üzerine etkisi grafiklerle açıklanmıştır. Bu optimizasyon çalışmalarından, plazmadaki tayin sürecinde de büyük ölçüde yararlanılmıştır. Yöntem; İTK yöntemi ile tablet analizinde olduğu gibi kesinlik, doğrusallık, saptama sınırı ve tayin alt sınırı, doğruluk, özgünlük, sağlamlık ve tutarlılık yönünden tam olarak valide edildikten sonra, farmasötik tablet analizine uygulanmıştır.

Önceden debynildiği gibi, literatürdeki BUP'un plazmada tayinini içeren çalışmalar az sayıdadır ve birkaç SK-KS yöntemi ile olmak üzere, YPSK yöntemi ile gerçekleştirilmiştir. Farmasötik tablet analizi için geliştirilmiş olan YPSK yöntemi, plazmadaki analizler için yeniden düzenlenmiştir. Bu yöntem, farklı analitik kolon ( $C_8$ ) ve hareketli faz içermesi ayrıca tek aşamalı protein çöktürme basamağı ve sulu fazın uçurulması amacıyla liyofilizasyon işleminin uygulanması yönünden literatürdeki diğer yöntemlerden farklıdır ve orjinallik taşımaktadır (Cooper ve ark., 1984; Suckow ve ark., 1986; Suckow ve ark., 1997; Zhang ve ark., 2003; Borges ve ark., 2004; Lobo ve ark., 2005). Böylece numune hazırlama basamağı daha kısa ve kolay hale getirilmiş, BUP'un ve ana metaboliti olan HBUP'un yüksek duyarlılıkla birlikte tayini sağlanmıştır. Validasyon parametreleri incelenmiş ve BUP için ortalama olarak % 80; HBUP için ise % 90 dolayında geri kazanım elde edilmiştir. Bu değerler, Lobo ve ark., (2005)ının yaptığı YPSK çalışmasında BUP ve HBUP için verilen % 62.9 ve % 62.3 değerlerine göre oldukça yüksek, Cooper ve ark., (1984)ının geliştirdiği YPSK yöntemiyle BUP ve HBUP için verilen % 82 ve % 95 değerleri ile karşılaştırılabilir düzeydedir. Zhang ve ark., (2003)ının yaptığı çalışmada ise plazmadan BUP geri kazanımı % 87.3 olarak bulunmuş, fakat bu çalışma ile HBUP tayini gerçekleştirilmemiştir.

Geliştirilmiş olan YPSK yöntemi ile BUP'un tabletlerindeki analizi için hazırlanan standart çözeltilerde, BUP için  $4 \text{ ng.mL}^{-1}$  ve  $12 \text{ ng.mL}^{-1}$ 'lik saptama sınırı ve tayin alt sınırı elde edilmiştir. Yöntemin plazmadaki saptama sınırı ve tayin alt sınırı ise sırasıyla BUP için  $25$  ve  $76 \text{ ng.mL}^{-1}$ ; HBUP için  $120$  ve  $362 \text{ ng.mL}^{-1}$  olarak bulunmuştur. BUP'un plazmadaki analizleri için literatürde verilen YPSK çalışmalarının  $1\text{-}5 \text{ ng.mL}^{-1}$  düzeyindeki; SK/KS/KS çalışmalarının ise  $0.25\text{-}1.25 \text{ ng.mL}^{-1}$  düzeyindeki saptama sınırlarına ulaşlamamış, ancak standart çözeltilerle çalışıldığından YPSK çalışmalarının duyarlılığına ulaşmak mümkün

olmuştur (Cooper ve ark., 1984; Hsyu ve ark., 1997; Stewart ve ark., 2001; Zhang ve ark., 2003; Borges ve ark., 2004; Lobož ve ark., 2005). Plazmada HBUP için bulunan saptama sınırı, Lobož ve ark., (2005)ının geliştirdiği YPSK yöntemiyle HBUP için verilen  $10 \text{ ng.mL}^{-1}$ 'lik saptama sınırı değerine göre yüksek iken, Cooper ve ark., (1984)ının çalışmasındaki  $100 \text{ ng.mL}^{-1}$ 'lik saptama sınırı ile karşılaştırılabilir niteliktedir. Munro ve Walker; (2001) in geliştirdikleri şiral ayırma yönteminde, BUP için  $0.13 \text{ } \mu\text{g.mL}^{-1}$  ve  $0.27 \text{ } \mu\text{g.mL}^{-1}$  olarak verilen saptama sınırı ve tayin alt sınırı değerleri, mevcut YPSK yöntemine göre oldukça yüksek düzeydedir.

Rutin analizlerde en önemli parametrelerden biri de analiz süresidir. Analiz süresinin kısalığı, hem zamanдан kazanç sağlamakta hem de analiz maliyetini düşürmektedir. Geliştirilmiş olan YPSK yöntemi ile tabletlerdeki analizler 8 dakikadan önce tamamlanmakta, plazma analizlerinde ise IS, HBUP ve BUP piklerinin ayrimı sadece 13 dakika sürmektedir. Bu süreler, literatürdeki YPSK yöntemlerinin 20 ve 25 dakikalık analiz sürelerine göre oldukça kısadır. Dolayısıyla, geliştirilmiş olan YPSK yöntemi analiz süresi bakımından sözü edilen yöntemlere üstünlük taşımaktadır (Cooper ve ark., 1984; Lobož ve ark., 2005).

Ayrıca geliştirilmiş olan yöntemlerin tümü, tablet içeriği bakımından birbiri ile istatistiksel olarak karşılaştırılmıştır. Wellbutrin® tablet içeriği için potansiyometrik, kondüktometrik ve spektrofotometrik yöntemler arasında yapılan ANOVA testi sonucu ( $F_{4,23}=1.902$ ,  $p<0.05$ ) ve Zyban® tablet içeriği için İTK ve YPSK yöntemleri arasında yapılan Wilcoxon testi sonucu ( $P_H=0.5625 > P=0.05$ ) farklı yöntemlerle elde edilen sonuçlar arasında istatistiksel bir fark bulunmadığı görülmüştür.

Sonuç olarak, geliştirilmiş olan potansiyometrik, kondüktometrik ve spektrofotometrik yöntemler rutin farmasötik analizlerde; YPSK başta olmak üzere İTK ve YPSK yöntemleri ise hem rutin farmasötik analizlerde hem de biyoeşdeğerlik ve biyoyararlanım çalışmalarında başarıyla kullanılabilecek niteliktedir.

## KAYNAKLAR

Agrawal, H., Kaul, N., Paradkar, A.R., Mahadik, K.R., Stability-indicating HPTLC determination of clopidogrel bisulphate as bulk drug and in pharmaceutical dosage form, *Talanta*, 61, 581-589 (2003).

Ascher, J.A., Cole, J.O., Colin, J.N., Feighner, J.P., Ferris, R.M., Fibiger, H.C., Golden, R.N., Martin, P., Potter, W.Z., Richelson, E., Sulser, F., Bupropion: a review of its mechanism of antidepressant activity, *J. Clin. Psychiatry*, 56 (9), 395-401 (1995).

Başçı, N.E., Temizer, A., Bozkurt, A., Isimer, A., Optimization of mobile phase in the separation of β-blockers by HPLC, *J. Pharm. Biomed. Anal.*, 18, 745-750 (1998).

Borges, V., Yang, E., Dunn, J., Henion, J., High-throughput liquid chromatography-tandem mass spectrometry determination of bupropion and its metabolites in human, mouse and rat plasma using a monolithic column, *J. Chromatogr. B*, 804, 277-287 (2004).

Bökesoy, T.A., Çakıcı, İ., Melli, M., Farmakoloji Ders Kitabı, Gazi Kitabevi Tic.Ltd.Şti., Ankara, 228-315, 2000.

Ciolino, L.A., Turner, J.A., McCauley, H.A., Smallwood, A.W., Yi, T.Y., Optimization study for the reversed-phase ion-pair liquid chromatographic determination of nicotine in commercial tobacco products, *J. Chromatogr. A*, 852, 451-463 (1999).

Cooper, T.B., Suckow, R.F., Glassman, A., Determination of bupropion and its major basic metabolites in plasma by liquid chromatography with dual-wavelength ultraviolet detection, *J. Pharm. Sci.*, 73 (8), 1104-1107 (1984).

Dejaegher, B., Vander Heyden, Y., Ruggedness and robustness testing, *J. Chromatogr. A*, 1158, 138-157 (2007).

Gazzara, R.A., Andersen, S.L., The effects of bupropion *in vivo* in the neostriatum of 5-day-old and adult rats, *Dev. Brain Res.*, 100, 139-142 (1997).

George, T.P., O'Malley, S.S., Current pharmacological treatments for nicotine dependence, Trends Pharmacol. Sci., 25 (1), 42-48 (2004).

Hsyu, P.H., Singh, A., Giangiari, T.D., Dunn, J.A., Ascher, J.A., Johnston, J.A., Pharmacokinetics of bupropion and its metabolites in cigarette smokers versus nonsmokers, J. Clin. Pharmacol., 37, 737-743 (1997).

**http-1** Zyban Drug Description, [www.rxlist.com/cgi/generic3/bupropion](http://www.rxlist.com/cgi/generic3/bupropion) (21.07.2008).

**http-2** Temel Mikrobiyolojik Analizler, <http://www.mikrobiyoloji.org/> (25.07.2008).

**http-3** Liquid Reagents <http://www.sigmadrich.com/catalog/search/Product> (25.07.2008).

ICH Steering Committee, Validation of Analytical Procedures: Text and Methodology, Q2(R1). Harmonized Tripartite Guideline (2005).

Johnston, J.A., Ascher, J., Leadbetter, R., Schmith, V.D., Patel, D.K., Durcan, M., Bentley, B., Pharmacokinetic optimisation of sustained-release bupropion for smoking cessation, Drugs, 62 (2), 11-24 (2002).

Kaul, N., Agrawal, H., Paradkar, A.R., Mahadik, K.R., Stability indicating high-performance thin-layer chromatographic determination of nelfinavir mesylate as bulk drug and in pharmaceutical dosage form, Anal. Chim. Acta, 502, 31-38 (2004).

Kayaalp, S.O., Rasyonel Tedavi Yönünden Tibbi Farmakoloji, Hacettepe-Taş Kitapçılık Ltd.Şti., Ankara, 1130-1220, 2000.

Kusaka, A., Kitazumi, K., Nakayama, K., Effects of bupropion on extracellular dopamine concentrations in rat medial prefrontal cortex and nucleus accumbens studied by in vivo microdialysis, Eur. Neuropsychopharmacol., 6, 244 (2006).

Laizure, S.C., DeVane, C.L., Stability of bupropion and its major metabolites in human plasma, Ther. Drug Monit., 7 (4), 447-450 (1985).

Laizure, S.C., Devane, C.L., Stewart, J.T., Domisse, C.S., Lai, A.A., Pharmacokinetics of bupropion and its major basic metabolites in normal subjects after a single dose, Clin. Pharmacol. Ther., 38, 586-589 (1985).

Lindsay, S., High Performance Liquid Chromatography, John Wiley& Sons Ltd., Londra, 118-124, 1992.

Loboz, K.K., Gross, A.S., Ray, J., McLachlan, A.J., HPLC assay for bupropion and its major metabolites in human plasma, J. Chromatogr. B, 823 (2), 115-121 (2005).

Motwani, S.K., Khar, R.K., Ahmad, F.J., Chopra, S., Kohli, K., Talegaonkar, S., Iqbal, Z., Stability indicating high-performance thin-layer chromatographic determination of gatifloxacin as bulk drug and from polymeric nanoparticles, Anal. Chim. Acta, 576, 253-260 (2006).

Munro, J.S., Walker, T.A., Bupropion hydrochloride: the development of a chiral separation using an ovomucoid column, J. Chromatogr. A, 913, 275-282 (2001).

Shabir, G.A., Validation of high-performance liquid chromatography methods for pharmaceutical analysis: Understanding the differences and similarities between validation requirements of the US Food and Drug Administration, the US Pharmacopeia and the International Conference on Harmonization, J. Chromatogr. A, 987, 57-66 (2003).

Shah, V.P., Midha K.K., Findlay J.W.A., Hill H.M., Hulse J.D., McGilveray I.J., Mckay G., Miller K.J., Patnaik R.N., Powell M.L., Tonelli A., Viswanathan C.T., Yacobi, A., Bioanalytical Method Validation-A Revisit with a Decade of Progress, Pharm. Res. 17, 1551-1557 (2000).

Stewart, J.J., Berkel, H.J., Parish, R.C., Simar, M.R., Syed, A., Bocchini, J.A., Wilson, J.T., Manno, J.E., Single-dose pharmacokinetics of bupropion in adolescents: effects of smoking status and gender, J. Clin. Pharmacol., 41, 770-778 (2001).

Suckow, R.F., Smith, T.M., Perumal, A.S., Cooper, T.B., Pharmacokinetics of bupropion and metabolites in plasma and brain of rats, mice and guinea pigs, Drug Metab. Dispos., 14 (6), 692-697 (1986).

Suckow, R.F., Zhang, M.F., Cooper, T.B., Enantiomeric determination of the phenylmorpholinol metabolite of bupropion in human plasma using coupled achiral-chiral liquid chromatography, *Biomed. Chromatogr.*, 11, 174-179 (1997).

Tatar, S., Sağlık, S., Comparison of UV and second derivative spectrophotometric and LC methods for the determination of valsartan in pharmaceutical formulation, *J. Pharm. Biomed. Anal.*, 30, 371-375 (2002).

The United States Pharmacopeia XXIX, Marck Printing Co., Easton, 2006, s: 320-324.

Venkatachalam, A., Chatterjee, V.S., Stability-indicating high performance thin layer chromatography determination of Paroxetine hydrochloride in bulk drug and pharmaceutical formulations, *Anal. Chim. Acta*, 598, 312-317 (2007)

Wells, D.A., High Throughput Bioanalytical Sample Preparation Methods and Automation Strategies, Elsevier B.V., Amsterdam, 199-255, 2003.

Willner, P., Dopamine and depression: a review of recent evidence. I. empirical studies, *Brain Res. Rev.*, 6, 211-224 (1983).

Xi-Ming Li, S., Perry, K.W., Wong, D.T., Influence of fluoxetine on the ability of bupropion to modulate extracellular dopamine and norepinephrine concentrations in three mesocorticolimbic areas of rats, *Neuropharmacology*, 42, 181-190 (2002).

Yardımcı, C., Özaltın, N., Gürlek, A., Simultaneous determination of rosiglitazone and metformin in plasma by gradient liquid chromatography with UV detection, *Talanta*, 72, 1416-1422 (2007).

Zhang, D., Yuan, B., Qiao, M., Li, F., HPLC determination and pharmacokinetics of sustained-release bupropion tablets in dogs, *J. Pharm. Biomed. Anal.*, 33, 287-293 (2003).

